

HUNGARIAN GEOPHYSICAL INSTITUTE 'LORAND EÖTVÖS'  
MAGYAR ÁLLAMI EÖTVÖS LORÁND GEOFIZIKAI INTÉZET  
ВЕНГЕРСКИЙ ГЕОФИЗИЧЕСКИЙ ИНСТИТУТ ИМ Л. ЭТВЕША

**GEOPHYSICAL TRANSACTIONS**  
**GEOFIZIKAI KÖZLEMÉNYEK**  
**ГЕОФИЗИЧЕСКИЙ БЮЛЛЕТЕНЬ**

26

BUDAPEST, 1980

Felelős szerkesztő  
Managing Editor  
Ответственный редактор  
MÜLLER Pál

Szerkesztő bizottság  
Editorial Board  
Редакционная коллегия

ÁDÁM Oszkár, JÁMBOR Áron, MOLNÁR Károly, STEGENA Lajos,  
SZABADVÁRY László, TAKÁCS Ernő, VERŐ József

Szerkesztőség  
Editorial Staff  
Редакция

Szerkesztő  
Editor  
Редактор  
SZ. KILÉNYI Éva

Társ szerkesztő  
Associate Editor  
Сопредактор  
ACZÉL Etelka

Grafikai szerkesztő  
Technical Editor  
Технический редактор  
NÉMETH Lajos

ETO/UDC 550.3(061.6) (439 Budapest) (058)  
HU ISSN 0016—7177



80.5938 Egyetemi Nyomda, Budapest — 1980  
Felelős vezető: SÜMEGHI ZOLTÁN igazgató

## CONTENTS

<i>Balla, Z.</i> : Neogene volcanites in the geodynamic reconstruction of the Carpathian region .....	5
<i>Korvin, G.</i> : Effect of Random Porosity on Elastic Wave Attenuation .....	43
<i>Balla, Z. – Márton, E.</i> : Magnetostratigraphy of the Börzsöny and Dunazug Mountains .....	69
<i>Andrássy, L.</i> : Approximate Graphical and Numerical Determination of Densities Corrected for Borehole Diameter .....	79

## TARTALOM

<i>Balla Zoltán</i> : A neogén vulkanitok jelentősége és problematikája a Kárpáti régió geodinamikai rekonstrukciójában .....	34
<i>Korvin Gábor</i> : A véletlen porozitás hatása a rugalmas hullámok elnyelődésére .....	56
<i>Balla Zoltán – Mártonné Szalay Emő</i> : A Börzsöny- és a Dunazug-hegység magnitosztratigráfiája .....	57
<i>Andrássy László</i> : Közelítő grafikus és matematikai megoldás a térfogatsúly-értékek fúrólyukban történő közvetlen meghatározására, a fúrólyukhatás figyelembevételével .....	88

## СОДЕРЖАНИЕ

3. <i>Балла</i> : Проблематика и значение неогеновых вулканитов для геодинамических реконструкций в Карпатском регионе .....	41
Г. <i>Корвин</i> : Влияние случайной пористости на поглощение упругих волн .....	56
3. <i>Балла – Э. Мартон</i> : Магнитостратиграфия Бёржёнских и Дуназугских гор .....	77
Л. <i>Андраши</i> : Приближённое графическое и математическое решение для определения значений объёмного веса с учётом влияния скважины ...	88



## NEOGENE VOLCANITES IN THE GEODYNAMIC RECONSTRUCTION OF THE CARPATHIAN REGION

Z. BALLA\*

### I. Introduction

Neogene volcanites of the Carpathian region are generally classified as being either in the calc-alkaline (andesite, dacite, rhyolite) or in the alkaline-basaltic series. Plate-tectonic oriented interpretations are usually based on an idea of long standing, according to which the calc-alkaline volcanism of the Carpathian region is *analogous to that of the recent island arcs*.

Two variations of this conception have been proposed.

1. The standpoint represented first of all by Roumanian and Italian geologists [BLEAHU et al. 1973; BOCCALETI et al. 1973a, 1973b; RĂDULESCU and SĂNDULESCU 1973] has the following characteristic features:

1.1. Practically all volcanites form a uniform arc extending from Central Slovakia through North Hungary, East Slovakia, the Soviet Transcarpathians and North Roumania as far as the Harghita Mountains (Fig. 1.).

1.2. This arc lies on the inner side of the Carpathian fold system and is related to the same subduction processes which brought into being the Carpathians.

1.3. This subduction consumed the oceanic or suboceanic crust of the basin where the flysch of the Outer Carpathians had been accumulated.

1.4. The alkaline-basaltic volcanism spatially follows the calc-alkaline one, it is related to the inner side of the arc and can be considered analogous to the magmatism with regard to the spreading of the interarc basins.

2. According to the Soviet school the above statements hold only for the Vihorlat-Gutai and Călimani-Harghita mountain chains whereas older (Miocene) volcanites are related to other processes [NAUMENKO and GONCHARUK 1969; GOFSHTEIN 1975], namely to subduction within the Carpathians [DANILOVICH 1975]. This opinion is shared by SZÁDECZKY-KARDOSS [1971] who was the first to give an outline sketch of the Tertiary subduction belts and the related volcano chains [SZÁDECZKY-KARDOSS 1975], (Fig. 2).

There are also other interpretations of the Carpathian neogene volcanism, based on plate tectonics. The possible connection with mantle diapir was first suggested by SZÁDECZKY-KARDOSS (1967). The mantle diapir model was elaborated in more detail by STEGENA et al. (1975) who, in their main text, left open the question whether the calc-alkaline volcanism was linked with mantle diapir or with subduction. However, the figure which illustrated their statement (Fig. 3) should be considered as a definite standpoint. The probable connec-

\* Hungarian Geophysical Institute "Lorand Eötvös", Budapest  
Manuscript received: 15. 9. 1979.

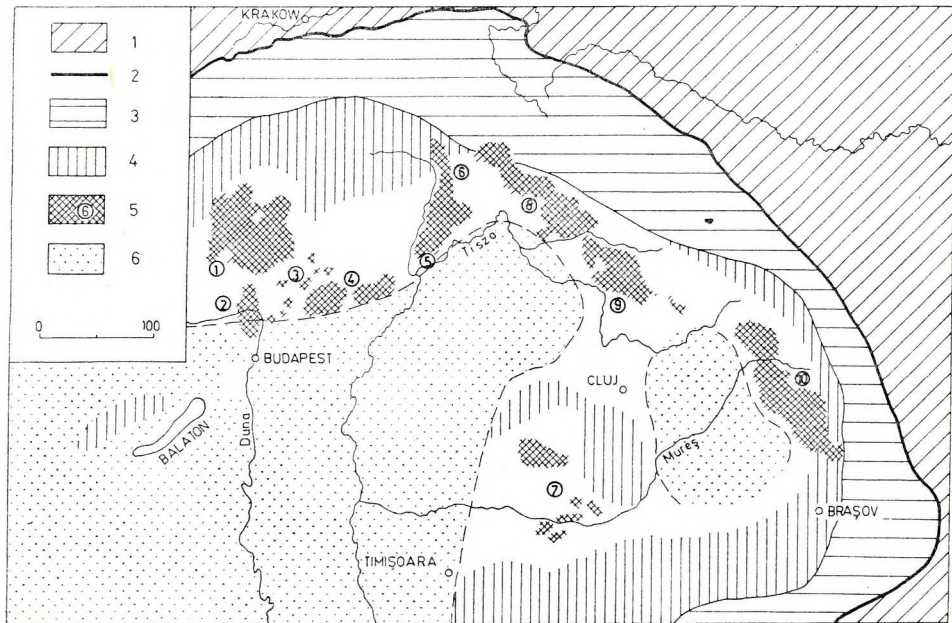


Fig. 1. Arrangement of the Neogene calc-alkaline volcanites of the Carpathian region: the "arc" variant [BLEAHU et al. 1973, Fig. 1]

1 — Polish, Russian, Moesian Platforms; 2 — outer boundary of the Carpathian fold system; 3 — folded arc of the Outer Carpathians; 4 — outcrops of Mesozoic and older formations inside the Carpathians; 5 — calc-alkaline volcanites; numbers on the map: ① — Central Slovakia, ② — Börzsöny—Dunazug, ③ — Cserhát, ④ — Mátra and the Bükk foothills; ⑤ — Tokaj Mts., ⑥ — Prešov range, ⑦ — Apuseni Mts., ⑧ — Vihorlat—Soviet Transcarpathians, ⑨ — Oas—Gutai Mts., ⑩ — Călimani—Harghita mountain chain; 6 — inner basins (Pannonian, Transylvanian).

Note: deleted — alkaline basalts; altered — title of the map and parts of the legend

1. ábra. A Kárpáti régió neogén mészalkáli vulkanitjainak elrendeződése: „iv” variáns [BLEAHU et al. 1973, fig. 1]

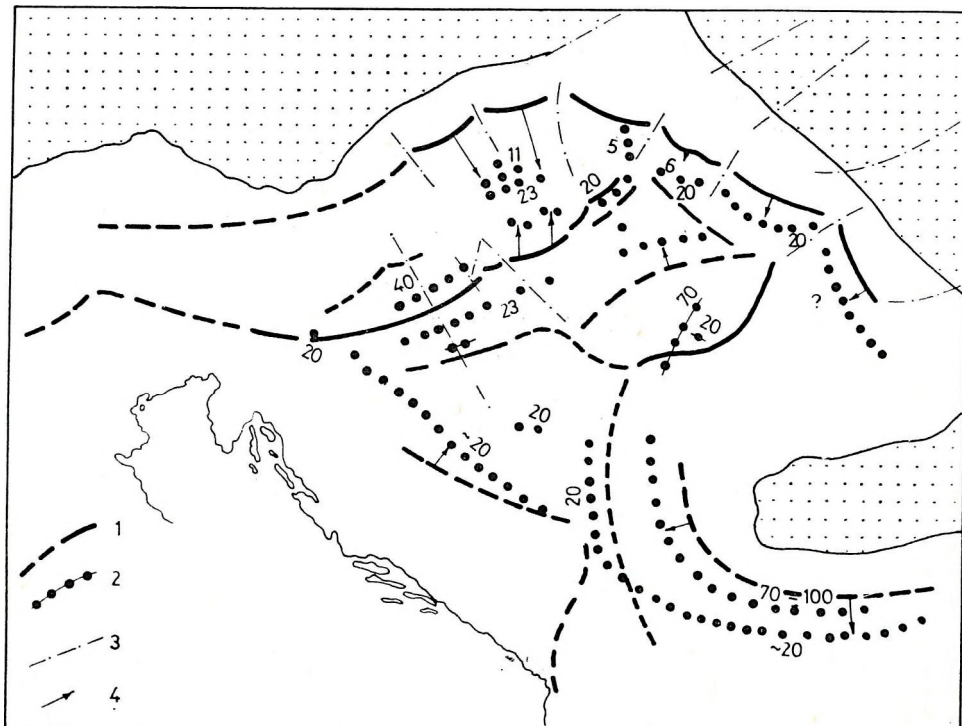
1 — Lengyel tábla, Orosz tábla, Moesiai tábla; 2 — a Kárpátok gyűrt rendszerének külső határa; 3 — a Külső Kárpátok gyűrt íve; 4 — mezozoos és idősebb képződmények kibuvásai a belső területeken; 5 — mészalkáli vulkanitok; számok a térképen: ① — Közép-Szlovákia; ② — Börzsöny—Dunazug; ③ — Cserhát; ④ — Mátra és Bükkalja; ⑤ — Tokaji hegység; ⑥ — Eperjesi vonulat; ⑦ — Erdélyi-középhegység; ⑧ — Vihorlát—Kárpátontúli Ukrajna; ⑨ — Avas—Gutin-hegység; ⑩ — Kelemen—Hargita hegylánc; 6 — belső medencék (Pannón, Erdélyi)

Megjegyzés: elhagyva — alkáli bazaltok; megváltoztatva — a térkép elnevezése és a jelmagyarázat egyes szövegrészei

Фиг. 1. Распределение известково-щелочных вулканитов неогена в Карпатском регионе: вариант „дуга“ [BLEAHU et al. 1973, fig. 1]

1 — Польская плита, Русская платформа, Мизийская плита; 2 — внешняя граница складчатой системы Карпат; 3 — складчатая дуга Внешних Карпат; 4 — выходы мезозойских и более древних образований во внутренних областях; 5 — известково-щелочные вулканиты; цифры на карте: ① — Средняя Словакия, ② — Бережньи—Дуназуг, ③ — Черхат, ④ — Матра и Бюккалья, ⑤ — Токайские горы, ⑥ — Прешовская гряда, ⑦ — горы Апусени, ⑧ — Вихорлат — Закарпатская Украина, ⑨ — горы Оаш—Гутай, ⑩ — цепь Кэлиманни—Харгита; 6 — внутренние впадины (Паннонская и Трансильванская)

Примечание: опущены щелочные базальты, изменены: название карты и некоторые из текстов условных обозначений



*Fig. 2. Neo-Alpine subduction zones of the Carpathian—Balkan—Dinaric region [SZÁDECZKY-KARDOSS 1975, Fig. 4]*

1 — subduction zones (sutures), 2 — volcanic arcs (numbers: ages, in million years), 3 — transverse (transform ?) faults, 4 — correlation

*2. ábra. Neoalpi szubdukciós övek a Kárpát—Balkán—Dinári területen [SZÁDECZKY-KARDOSS 1975, 4. ábra]*

1 — szubdukciós övek (varratok); 2 — vulkáni ívek (számok: koruk, millió évben); 3 — transzverzális (transzform ?) törések; 4 — korreláció

*Фиг. 2. Неоальпийские зоны субдукции Карпатско—Балканско—Динарской области [SZÁDECZKY-KARDOSS 1975, фиг. 4]*

1 — зоны субдукции (сutures); 2 — вулканические пояса (цифры: их возраст в млн. лет); 3 — сдвиговые (трансформные?) нарушения; 4 — корреляция

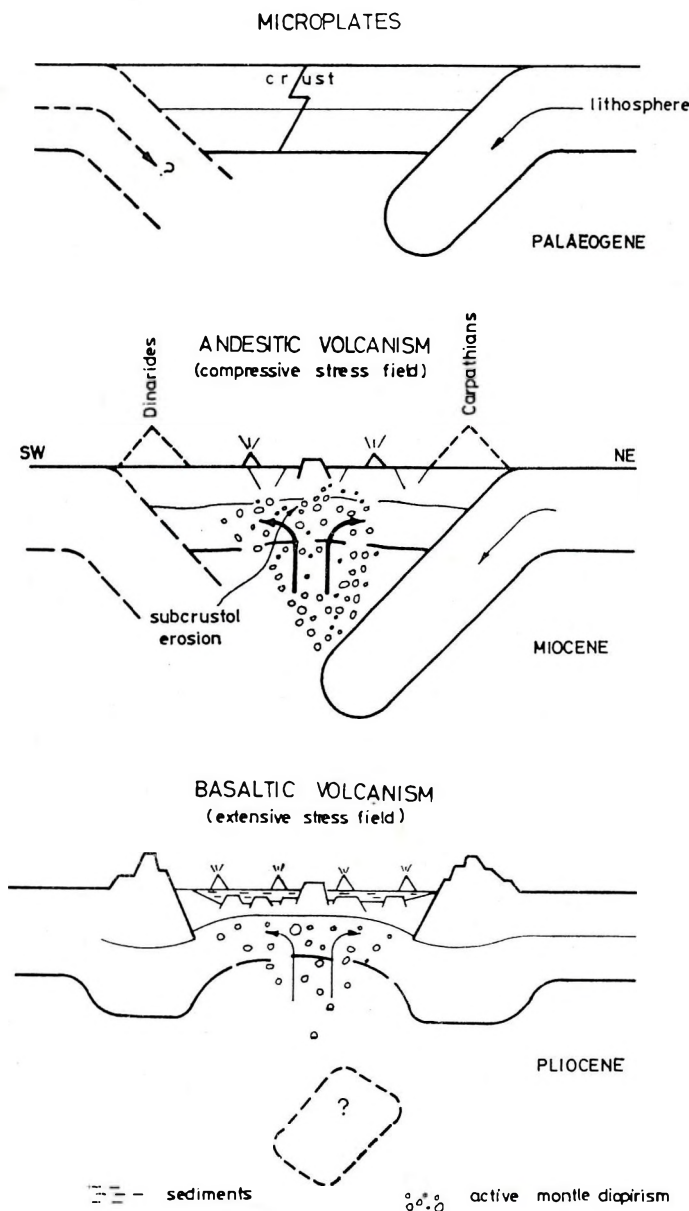
tion between the calc-alkaline magmatism and mantle diapir was stressed by ROZLOŽNIK [1976, 1979]; a detailed petrogenetic model can be found in LEXA-KONEČNÝ [1974].

The hypothesis has the following characteristic features:

2.1. The calc-alkaline volcanites are clustered in an area bounded by the arc of the Carpathian fold system (Fig. 4).

2.2. This area shows no obvious connection with the tectonics of the Carpathian mountain system, its origin is only indirectly related — through the mantle diapir — to the subduction which had taken place along the Carpathians (Fig. 3).

2.3. The character of the flysch-basin of the Outer Carpathians is of no significance from the viewpoint of neogene volcanism.



*Fig. 3. Neogene volcanism and evolution of mantle diapir [STEGENA et al. 1975, Fig. 10]*  
Note: altered — title

*3. ábra. Neogén vulkanizmus a köpenydiapir fejlődésével kapcsolatban [STEGENA et al. 1975. fig. 10]  
Megjegyzés: megváltoztatva — az elnevezés*

*Фиг. 3. Неогеновый вулканизм в связи с развитием мантийного диапира  
[STEGENA et al. 1975,fig. 10]  
Примечание: изменено название*

2.4. The alkaline-basaltic volcanism temporally follows the calc-alkaline one. This is due to the fact that, at the boundary of the Miocene and Pliocene, in the Carpathian region the general compression was succeeded by a general tension with the simultaneous formation of an interarc basin. It should be noted that up to now only a single analogy of the calc-alkaline magmatism has been pointed out, viz. the Basin and Range Province in the western USA [STEGENA et al. 1975]; some authors do not bother to cite any analogies at all [LEXA-KONEČNÝ 1974].

The above-sketched conceptions have some important *common features*:

1. They acknowledge the petrochemical similarity of the calc-alkaline volcanites with those of the island arcs and, further, some kind of connection with subduction processes;
2. They relate alkaline basalts to the formation of the interarc Pannonian basin.

The *main differences* between the opinions favouring the island arc analogy, and the connection with mantle diapir are:

- a) where supporters of the analogy with island arcs recognize an arc, or arcs, believers in mantle diapir see an area;
- b) at those places where the first school assumes a *spatial* transition between calc-alkaline and alkaline-basaltic magmatism, the other opinion claims a *temporal* succession.

It can thus be seen that the difference of opinion is rooted, basically, in the different ideas about the *space-time laws of volcanism*.

Let us now compare the information upon which the researchers base their respective conclusions:

1. All conclusions are based on a practically identical set of data, a very slight particularization being given to personally studied objects.

2. The "arc or area" dispute has many facets. The first group of island-arc analogists fail to notice the volcanism of the covered regions, like that of the Great Hungarian Plain (Fig. 1). The second group, and those advocating the connection with mantle diapir, pay due attention to this fact but whereas the first group is inclined to see an arc (arcs) at these places, the second considers them as proof for a uniform area (Fig. 4). Supporters of the mantle diapir connection ignore the fact that part of the Carpathian volcanites lies in definite chains (Vihorlat–Gutai, Călimani–Harghita, Prešov–Tokaj).

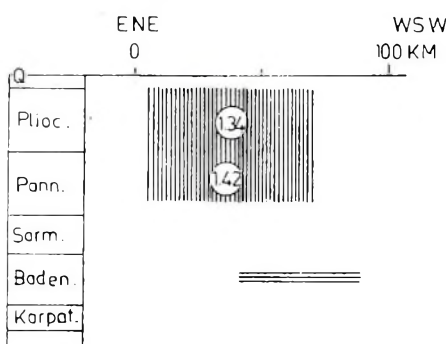
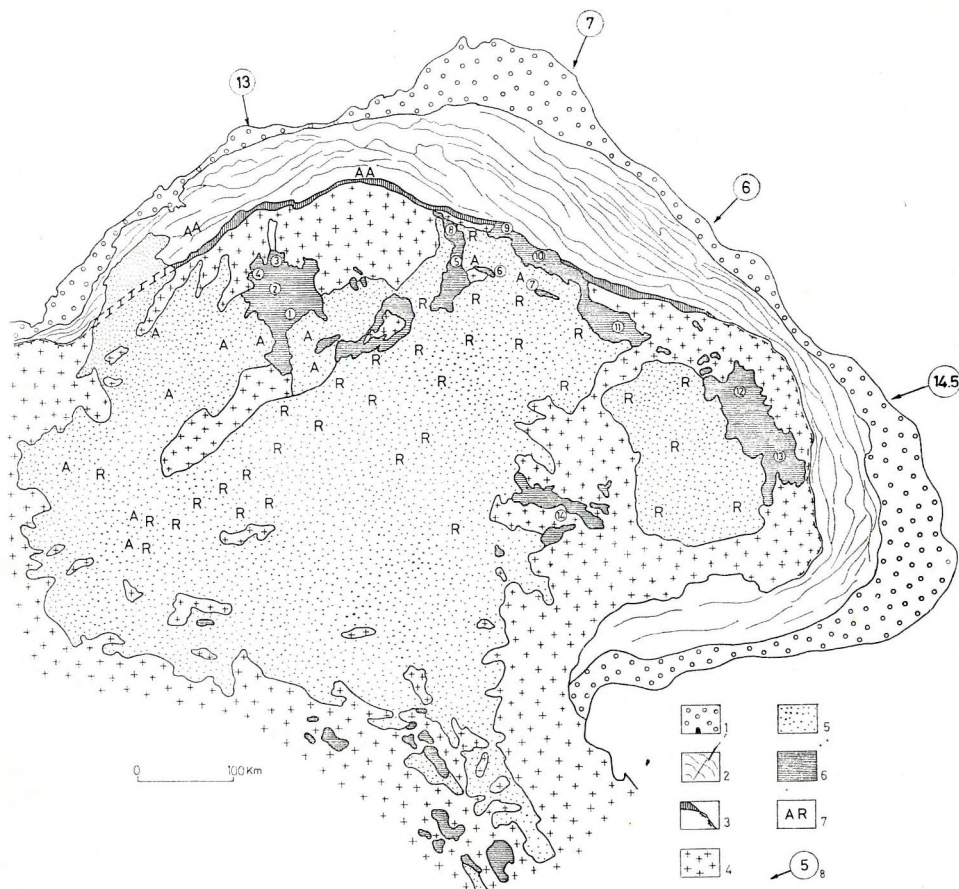
3. As for the connection between calc-alkaline and alkaline-basaltic volcanism, their spatial succession would follow first of all from the young age of the calc-alkaline volcanites of the Călimani–Harghita mountain chain (Roumania); these are of practically the same age as the majority of alkaline basalts of the Pannonian basin. On the other hand, the temporal succession is backed up by Slovakian and Hungarian data, according to which all calc-alkaline volcanites are older than the alkaline basalts.

All in all, the Neogene volcanism of the Carpathian region shows a definitely *two-fold character*, at least in two important aspects:

1. The calc-alkaline volcanism appears partly areally, partly chain-like;
2. The calc-alkaline volcanism is partly succeeded temporally by the alkaline-basaltic; at different parts of the region, however, both of them appear simultaneously.

## II. General Laws of Neogene Magmatism

It is impossible to clear up the basic laws of Neogene magmatism without taking into account its twofold character. To do this, we have to reject the concept of a spatially-temporally uniform calc-alkaline volcanism in favour of following up the ideas of the second group of researchers, stressing the island-arc analogy [NAUMENKO–GONCHARUK 1969;



1 2 3

*Fig. 4. Arrangement of the Neogene calc-alkaline volcanites of the Carpathian region: the “area” variant [LEXA-KONEČNÝ 1974, Fig. 1]*

1 — Carpathian foredeep; 2 — Outer Carpathian flisch zone with reversed faults; 3 — Klippen Belt and structural equivalents; 4 — inner structural units of the Alps, Dinarides and Carpathians (Mesozoic and older formations); 5 — sediments of the Inner Carpathian basins; 6 — Neogene volcanites, mainly andesite; 7 — andesite and rhyolite (out of scale, covered with younger sediments); 8 — approximate position of the profiles os space—time—composition diagrams with Fig. numbers. Numbers on the map: ① — South Slovakia; ② — Štiavnicka Mts.; ③ — Kremnica Mts.; ④ — Vtačník Mts., ⑤ — Milic Mountain Group; ⑥ — Zemplínski Ostrom; ⑦ — Beregovo Hills; ⑧ — Prešov range; ⑨ — Vihorlat; ⑩ — Gutin range; ⑪ — Gutai Mts.; ⑫ — Călimani Mts.; ⑬ — Harghita; ⑭ — Apuseni Mts.

Note: deleted — alkaline basalts; altered — title of map and parts of legend

*4. ábra. A Kárpáti régió neogén mészalkalí vulkanitjainak elrendeződése: „areál” variáns [LEXA-KONEČNÝ 1974, fig. 1]*

1 — Kárpáti előmélység; 2 — Külső-Kárpátok flisjével feltolódási vonalakkal; 3 — Szirtöv és szerkezeti analógjai; 4 — az Alpok, Dinaridák, Kárpátok belső részeinek szerkezeti egységei (mezozóos és idősebb képződmények); 5 — a belső-kárpáti medencék üledékei; 6 — neogén vulkanitok, főleg andezit; 7 — andezit és riolit (nem mérethűen és fiatallabban üledékkel fedve); 8 — a tér—idő—összetétel diagramok szelvényeinek közelítő helyzete a jelen munkában szereplő ábrák sorszámaival. Számok a térképen: ① — Dél-Szlovákia; ② — Selmeci-hegység; ③ — Körmöci-hegység; ④ — Vtačník-hegység; ⑤ — Milic-hegycsoport; ⑥ — Zempléni szigethegység; ⑦ — Beregszászi dombság; ⑧ — Eperjesi vonulat; ⑨ — Vihorlát; ⑩ — Gutin-vonulat; ⑪ — Gutin-hegység; ⑫ — Kelemen havasok; ⑬ — Hargita; ⑭ — Erdélyi-középhegység

Megjegyzés: elhagyva — alkáli bazaltok; megváltoztatva — a térkép elnevezése és a jelmagyarázat egyes szövegrészei

*Фиг. 4. Распределение известково-щелочных вулканитов неогена в Карпатском регионе: вариант „ареал“ [LEXA-KONEČNÝ 1974, fig. 1]*

1 — Предкарпатский прогиб; 2 — флишевая зона Внешних Карпат с линиями надвигов; 3 — Утесовая зона и ее структурные аналогии; 4 — структурные единицы внутренних частей Альп, Динарид и Карпат (мезозойские и более древние образования); 5 — отложения внутрикарпатских впадин; 6 — неогеновые вулканиты, в основном андезиты; 7 — андезиты и риолиты вне масштаба или перекрытые более молодыми отложениями; 8 — примерное положение профилей диаграмм пространство—время—состав с номером соответствующей фиг. в настоящей работе

Примечания: 1. Опущены щелочные базальты, изменены: название карты и некоторые из текстов условных обозначений  
2. Цифры на карте (в кружках): см. английский текст

*Fig. 5. Space—time—composition diagram for the calc-alkaline volcanites of the Călimani-Harghita mountain chain [LEXA and KONEČNÝ 1974, Fig. 5]*

1 — andesite; 2 — rhyolite; 3 — K<sub>2</sub>O content computed for 55% SiO<sub>2</sub> (weight percent)

Note: altered — title; deleted — left-hand-side of the Figure (Apuseni Mts., cf. Fig. 14); orientation as in Fig. 4

*5. ábra. Tér—idő—összetétel diagram a Kelemen—Hargita hegylánc mészalkalí vulkanitjaira [LEXA-KONEČNÝ 1974, fig. 5]*

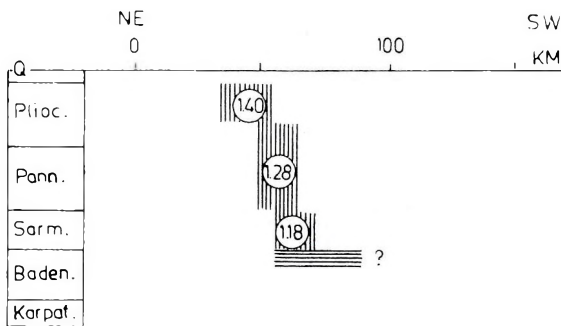
1 — andezit; 2 — riolit; 3 — 55% SiO<sub>2</sub>-re számított K<sub>2</sub>O tartalom (súly-%)

Megjegyzés: megváltoztatva — az elnevezés; elhagyva — az ábra jobb oldala (Erdélyi középhegység — ld. a 14. ábrán); kiegészítve — tájolás a 4. ábrának megfelelően

*Фиг. 5. Диаграмма пространство—время—состав для известково-щелочных вулканитов цепи Климань—Харгита [LEXA-KONEČNÝ 1974, fig. 5.]*

1 — андезиты; 2 — риолиты; 3 — расчетное содержание K<sub>2</sub>O (%) при 55% SiO<sub>2</sub>

Примечание: изменено название, опущена правая часть фиг. (горы Апусени — см. фиг. 14); дополнительно введено: обозначение стран света согласно фиг. 4.



*Fig. 6. Space—time—composition diagram for the calc-alkaline volcanites of the Gutai Mts. [LEXA and KONEČNÝ 1974, Fig. 4]*

Legend as in Fig. 5

Note: altered—title; orientation as in Fig. 4

*6. ábra. Tér—idő—összetétel diagram a Gutor-hegység mészalkáli vulkanitjaira [LEXA—KONEČNÝ 1974, fig. 4]  
Jelmagyarázat mint az 5. ábrán*

Megjegyzés: megváltoztatva — az elnevezés; kiegészítve — tájolás a 4. ábrának megfelelően

*Фиг. 6. Диаграмма пространство—время—состав для известково-щелочных вулканитов Гутайских гор [LEXA—KONEЧNÝ 1974, fig. 4]*

Условные обозначения см. на фиг. 5

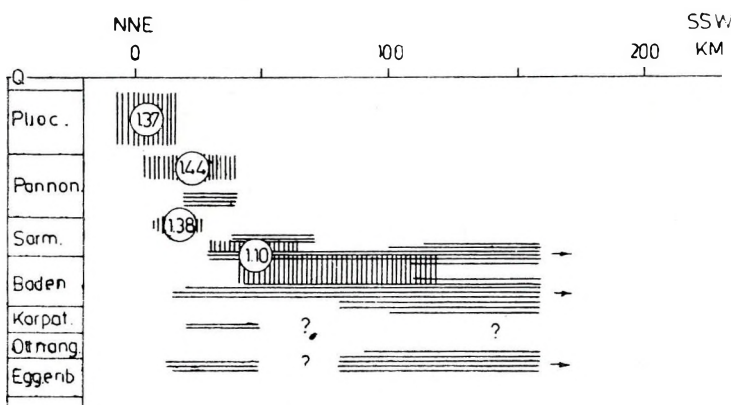
Примечание: изменено название; дополнительно введено: обозначение стран света согласно фиг. 4

SZÁDECZKY-KARDOSS 1971, 1975; DANILOVICH 1974, 1975, 1976; GOFSHTEIN 1975; DOLENKO and DANILOVICH 1975]. Indeed, whereas volcano chains show a clear-cut correlation with the Carpathian mountain system, the other volcanoes within the Carpathian arc are independent. This suggests that the range of calc-alkaline volcanites should be divided into two main elements: the East-Carpathian volcanic belt, and the Inner-Carpathian volcanic area [BALLA et al. 1977<sup>a</sup>]. According to stratigraphic data, volcanites of the belt are mostly Pliocene—Pleistocene, those of the area Miocene, i.e. their age is different.

### *The East-Carpathian Volcanic Belt*

The idea of the island-arc analogy has been derived from data of the East-Carpathian volcanic belt. Thus, *the various arguments brought up against this analogy* [LEXA—KONEČNÝ 1974], should also be checked by means of these data:

1. The Carpathian volcanism appears in a discontinuous and irregular form — this, obviously, does not apply to the practically continuous volcano-chains of Vihorlat—Gutai and Călimani—Harghita.
2. The volcanites do not show any compositional change perpendicularly to the strike



*Fig. 7. Space—time—composition diagram for the calc-alkaline volcanites of East Slovakia, Ukraina and North Hungary [LEXA and KONEČNÝ 1974, Fig. 3]*

Legend as in Fig. 5

Note: altered — title; orientation as in Fig. 4

*7. ábra. Tér—idő—összetétel diagram Kelet-Szlovákia, Ukrajna és Észak-Magyarország mészkálí vulkanitjaira [LEXA—KONEČNÝ 1974, fig. 3]*

Jelmagyarázat mint az 5. ábrán

Megjegyzés: megváltoztatva — az elnevezés; kiegészítve — tájolás a 4. ábrának megfelelően

*Фиг. 7. Диаграмма пространство—время—состав для известково-щелочных вулканитов Восточной Словакии, Украины и Северной Венгрии [LEXA—KONEČNÝ 1974, fig. 3]*

Условные обозначения см. на фиг. 5

Примечание: изменено название; дополнительно введено: обозначение стран света согласно фиг. 4

of the earlier Benioff zone – the volcanic belt is rather narrow, no such change should have been anticipated.

3. Stratigraphically upwards the potassium content generally decreases for the same silica-concentration, as against the observable increase in the island arcs – as a matter of fact, for the Călimani–Harghita mountain range even the authors of this counter-argument failed to show this by their data (Fig. 5); for the Gutai Mts. their data show a definite increase (Fig. 6); as regards East Slovakia, the Soviet Transcarpathians and North Hungary (Fig. 7) their evidence is not too convincing since data for the arc and for the area are not unambiguous.

4. The volcanism and the active subduction are separated by a time span of some 15–20 million years, whereas on the island arcs they are simultaneous – this argument assumes that the latest subduction had been completed by the beginning of the Miocene. Let us recall, however, the according to supporters of the island-arc analogy, at the southern termination of the East Carpathians the subduction process is active even now; without the refutation of this opinion the counter-argument cannot be accepted.

5. The volcanism migrates – in time – towards the superficial emergence of the Benioff-zone, while in the island arcs this process is reversed – the argument is based on the assumed uniformity of the whole volcanic process, i.e. on an hypotheses lacking any ground!

Thus, the argumentation against the analogy of the East Carpathian volcanic belt with the island arcs has been proved null and void. At the same time, *the reasoning in favour of this analogy* [NAUMENKO-GONCHARUK 1969, DRUMIA 1973, BLEAHU et al. 1973, GOFSHTEIN 1975] has retained its validity: the East Carpathian volcanites are analogous as regards composition to those of the island arcs; also, in the cross-section of the East Carpathian structural complex, one recognizes analogues of characteristic features of island arcs, such as

- horizontal part of the subducted plate (Russian Platform);
- trench (Carpathian foredeep);
- amagmatic elevation (East Carpathian fold system);
- inner volcanic arc (East Carpathian volcanic belt); and
- interarc basin (Transylvanian and Pannonian).

In view of this we feel justified in considering the East Carpathian volcanic belt as analogous to the island arcs.

From the above facts two very important conclusions follow [cf. ROMAN 1970, 1971, BLEAHU et al. 1973, HERZ-SAVU 1974]:

1. Along the Carpathians, or at least along their eastern segment, the subduction had not been completed during the Early Miocene, but continued during the entire Pliocene and Pleistocene; at the southernmost parts this process is active even now. This subduction reached the surface on the axis of the Carpathian foredeep rather than at the Klippen belt or its structural equivalents (Fig. 8).

2. The subduction used up the oceanic or suboceanic crust of the basin where the Outer-Carpathian flysch had been accumulated.

### *Alkaline Basalts of the Carpathian Region*

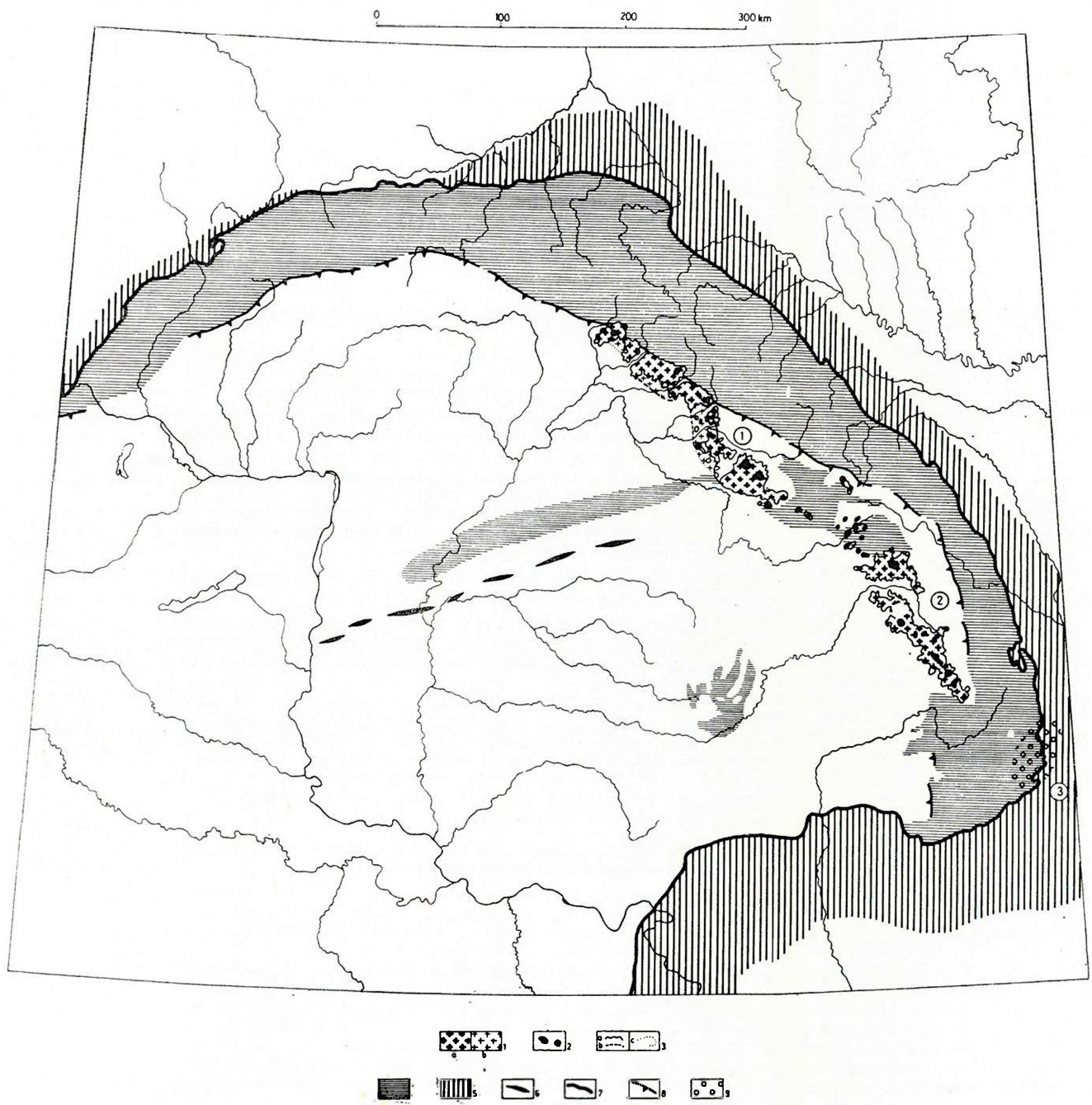
On the whole, one would be inclined to state that the alkaline-basaltic volcanism is linked with the Pannonian basin (Fig. 9). Really, this latter shows a number of striking similarities with interarc basins [BLEAHU et al. 1973, BOCCALETI et al. 1973b, 1976, STEGENA et al. 1975, HORVÁTH et al. 1975], which naturally suggests a possible analogy with the magmatism for such basins. We should not forget, however, various other possibilities, viz. that alkaline basalts can also occur [ZONENSHAIN et al. 1976]:

- a) at the back of the island arcs, with lateral transitions toward calc-alkaline volcanites;
- b) independently of island arcs, on the initial rupture areas of the continental lithosphere, or in the vicinity of "hot spots".

It is thus apparent that four kinds of geodynamic conditions should be taken into account, as factors controlling the presence and position of alkaline basalts:

- an island arc or its analogue;
- interarc basin;
- continental accretion lithosphere plate margin;
- hot spot.

Although none of these can be excluded in advance, it follows from the previous discussion that only the last two deserve consideration. Basalts, like in the Pannonian basin, and of the same age, also occur outside Alpine Europe (Fig. 10). Similarities have recently been reported [EMBEY-ISZTIN 1978] between the alkaline basalts of the Balaton-Highland



*Fig. 8. Arrangement of the Pliocene calc-alkaline volcanites in the Carpathian region: East Carpathian volcanic belt*

Sources: BALLA et al. 1977<sup>a</sup>, Carte géologique... 1967, Carte tectonique... 1964, Geologická mapa ČSSR 1967, Geomagnetic map of Hungary 1966, GIUSCA et al. 1973, MERLICH—SPITKOVSKAYA 1974, MIKHAYLOVA et al. 1974, RĂDULESCU et al. 1973, Tectonic map... 1973

1 — mainly andesitic, andesito-basaltic volcanoes: a — on the surface, b — covered; 2 — volcanic centres (on the surface); 3 — contours of volcanoes: a — from geologic mapping, b — from borehole data, c — assumed; 4 — flysch on the surface and in the basement of the Great Hungarian Plain; 5 — Carpathian foredeep; 6 — ophiolite outcrops in the basement of the Great Hungarian Plain (axes of magnetic anomalies checked by drillings — Central Hungarian Ophiolite belt); 7 — contour of the Carpathian fold system; 8 — Klippen belt and structural equivalents; 9 — Vrancea seismic zone. Numbers on the map: ① — Vihorlat—Gutai mountain chain; ② — Călimani—Harghita mountain chain; ③ — Vrancea belt

*8. ábra. A pliocén korú mészalkáli vulkánok elrendeződése a Kárpáti régióban: Keletkárpáti vulkáni öv*

A térkép az alábbi anyagok felhasználásával készült: BALLA et al. 1977<sup>a</sup>, Carte géologique... 1967, Carte tectonique... 1964, Geologická mapa ČSSR 1967, Geomagnetic map of Hungary 1966, GIUSCA et al. 1973, MERLICH—SPITKOVSKAYA 1974, MIKHAYLOVA et al. 1974, RĂDULESCU et al. 1973, Tectonic map... 1973.

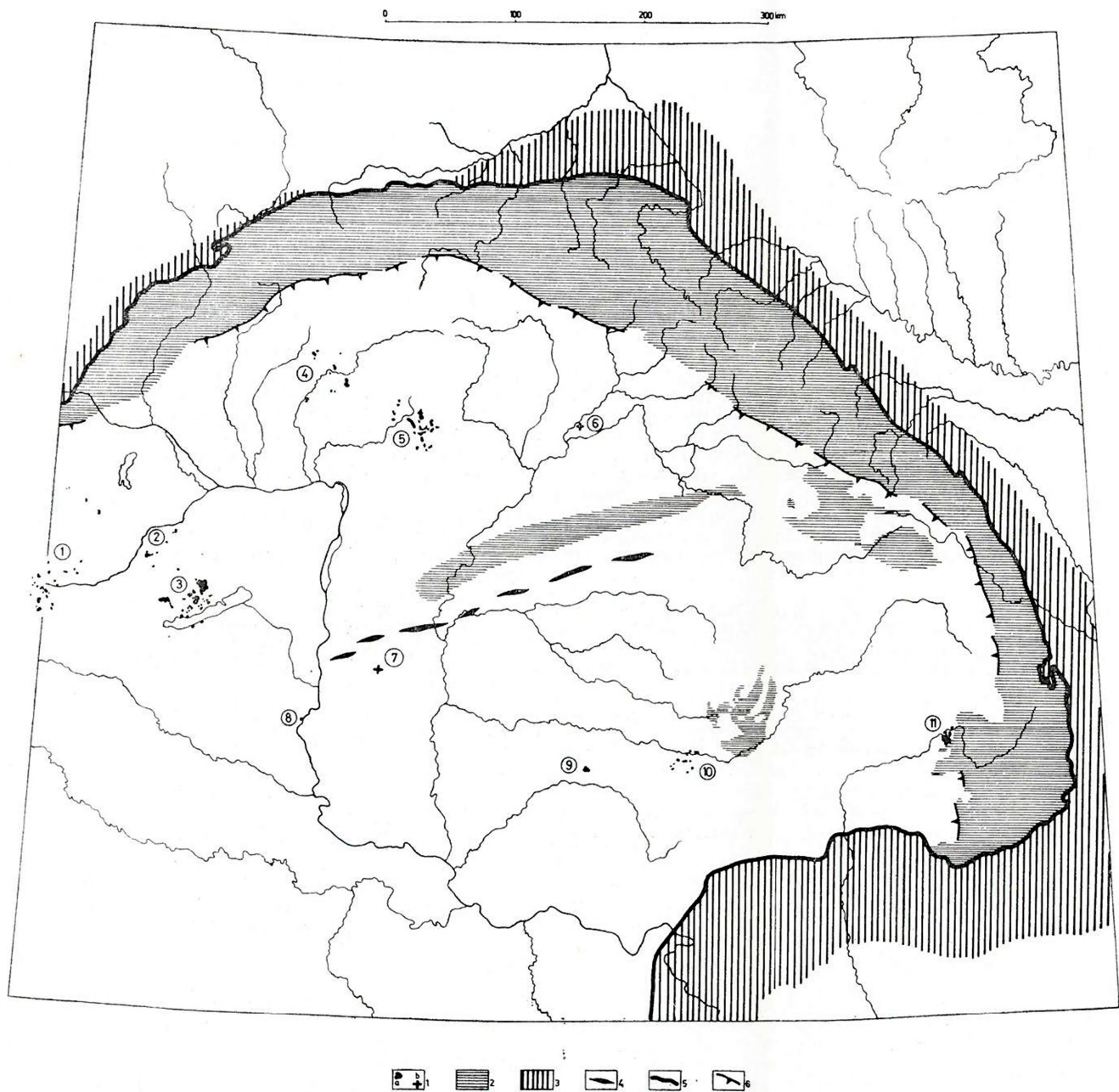
1 — javarészt andezites—andezito-bazaltos vulkánok: a — felszínen, b — eltemetve; 2 — vulkáni centrumok (felszínen); 3 — vulkánok kontúrjai: a — földtani térképezés alapján, b — mélysúrás alapján, c — feltételezett; 4 — flis a felszínen és a Nagyalföld aljzatában; 5 — Kárpáti előméléség; 6 — ophiolitkibúvások a Nagyalföld aljzatában (furásokkal ellenőrzött mágneses anomáliai tengely-vonalai — Középmagyarországi Ophiolit-öv); 7 — a Kárpáti gyűrt rendszer kontúrja; 8 — Szirtőv és szerkezeti ekvivalensei; 9 — Vrancea szeizmikus öv. Számok a térképen: ① — Vihorlát—Gutin hegylánc; ② — Kelemen—Hargita hegylánc; ③ — Vrancea-öv

*Фиг. 8. Размещение известково-щелочных вулканов плиоценового возраста в Карпатском регионе: Восточнокарпатский вулканический пояс*

Карта составлена с использованием следующих материалов: BALLA et al. 1977<sup>a</sup>, MERLICH—SPITKOVSKAYA 1974, MIKHAYLOVA et al. 1974, Carte géologique... 1967, Carte tectonique... 1964, Geologická mapa ČSSR... 1967, Giusca et al. 1973, Geomagnetic map of Hungary... 1966, RĂDULESCU et al. 1973, Tectonic map... 1973.

1 — вулканы преимущественно андезитовые до андезито-базальтовых: а — на поверхности, б — погребенные; 2 — вулканические центры (на поверхности); 3 — контуры вулканов: а — по данным геологической съемки, б — по данным бурения, с — предполагаемые; 4 — флиш на поверхности и в фундаменте Большой Венгерской впадины; 5 — Предкарпатский прогиб; 6 — выходы оphiолитов в фундаменте Большой Венгерской впадины (оси магнитных аномалий, заверенных бурением — Средневенгерский Офиолитовый пояс); 7 — контур Карпатской складчатой системы; 8 — Утесовая зона и ее структурные эквиваленты; 9 — сейсмофокальная зона

Цифры на карте: ① — цепь Вихорлат—Гутый; ② — цепь Кэлиманы—Харгита; ③ — зона Бранча



*Fig. 9. Arrangement of the alkaline basalts in the Carpathian region*

Sources: Carte géologique... 1967, Carte tectonique... 1964, CIOFLICA et al. 1973, CSEREPESNÉ 1978, Geologická mapa ČSSR 1967, Geological map of Hungary 1956, GYARMATI 1977, IANOVICI et al. 1976, KONEČNÝ et al. 1975, RĂDULESCU et al. 1973, Tectonic map... 1973, VICZIÁN 1965

1 — alkaline basalts: a — on the surface, b — in boreholes; 2 — flysch on the surface and in the basement of the Great Hungarian Plain; 3 — Carpathian foredeep; 4 — ophiolite outcrops in the basement of the Great Hungarian Plain (axes of magnetic anomalies checked by drillings — Central Hungarian Ophiolite belt); 5 — contour of the Carpathian fold system; 6 — Klippen Belt and structural equivalents

Numbers on the map: ① — Styria; ② — the Little Hungarian Plain; ③ — Balaton Highlands; ④ — Štiavnica Mts., ⑤ — Filakovo—Salgótarján; ⑥ — Sárospatak—10 (GYARMATI 1977); ⑦ — Kiskunhalas—W—3 (CSEREPESNÉ 1978) ⑧ — Bár (VICZIÁN 1865); ⑨ — Lukarc; ⑩ — Poiana Rusca Mts., ⑪ — Perșani Mts.

*9. ábra. Alkáli-bazaltok elrendeződése a Kárpáti régióban*

A térkép az alábbi anyagok felhasználásával készült: Carte géologique... 1967, Carte tectonique... 1964, CIOFLICA et al. 1973, CSEREPESNÉ 1978, Geologická mapa ČSSR 1967, Geological map of Hungary 1956, GYARMATI 1977, IANOVICI et al. 1976, KONEČNÝ et al. 1975, RADULESCU et al. 1973, Tectonic map... 1973, VICZIÁN 1965.

1 — alkáli-bazaltok: a — felszínen, b — mélyfúrásban; 2 — flis a felszínen és a Nagyalföld aljzatában; 3 — Kárpáti előmélység; 4 — ophiolitkibúvások a Nagyalföld aljzatában (fúrásokkal ellenőrzött mágneses anomáliák tengelyvonalaiból — Középmagyarországi Ophiolit-öv); 5 — a Kárpáti gyűrt rendszer kontúrja; 6 — Szirtöv és szerkezeti ekvivalensei

Számok a térképen: ① — Stájerország, ② — Kisalföld; ③ — Balatonfelvidék; ④ — Selmeci-hegység; ⑤ — Fülek—Salgótarján; ⑥ — Sárospatak—10 (GYARMATI 1977), ⑦ — Kiskunhalas—Ny—3 (CSEREPESNÉ 1978), ⑧ — Bár (VICZIÁN 1965), ⑨ — Lukácskő, ⑩ — Ruszka-havasok, ⑪ — Persányi hegység

*Фиг. 9. Размещение щелочных базальтоидов в Карпатском регионе. Кarta составлена с использованием следующих материалов: Carte géologique... 1967, Carte tectonique ... 1964, CIOFLICA et al. 1973, CSEREPESNÉ 1978, Geologická mapa ČSSR... 1967, Gyarmati 1977, IANOVICI et al. 1976, KONEČNÝ et al. 1975, Geological map of Hungary... 1956, RĂDULESCU et al. 1973, Tectonic map... 1974, VICZIÁN 1965.*

1 — щелочные базальтоиды: а — на поверхности, б — в скважине; 2 — флиш на поверхности и в фундаменте Большой Венгерской впадины; 3 — Предкарпатский прогиб; 4 — выходы оphiолитов в фундаменте Большой Венгерской впадины (оси магнитных аномалий, заверенных бурением — Средневенгерский Офиолитовый пояс); 5 — контур Карпатской складчатой системы; 6 — Утесовая зона и ее структурные эквиваленты

Цифры на карте: ① — Штирия; ② — Малая Венгерская впадина; ③ — Прибалатонье; ④ — Штиавницкие горы; ⑤ — Филаково—Шалготарьян; ⑥ — Шарошпатак—10 [GYARMATI 1977]; ⑦ — Кишкунхалаш-Запад-3 [CSEREPESNÉ 1978]; ⑧ — Бар (VICZIÁN 1965); ⑨ — Лукарец; ⑩ — Пояна Руска; ⑪ — Першаньские горы

and of Central France, so without a comprehensive analysis we cannot be sure that the alkali-ne basalts are genetically related to the Pannonian basin.

Of course different basalts could have been connected with different processes, i.e. strictly speaking we cannot form any sound judgement about the geodynamic position of the alkaline basalts of the Carpathian region without detailed petrochemical and geochemical analyses.

### *The Inner Carpathian Volcanic Area*

Supporters of the island-arc analogy did not take into account the volcanism of the Great Hungarian Plain, it also escaped their attention that outside the East Carpathian volcanic belt the distribution of volcanoes and the composition and age of volcanites undergo a change. Consequently, their arguments about the connection of this volcanism with the subduction zone do not seem too convincing. This, of course, does not imply that we could automatically reject the analogy with island-arc complexes. Let us examine the *arguments against this analogy* [LEXA-KONEČNÝ 1974], in connection with the Inner-Carpathian volcanic area.

1. The spatial discontinuity of volcanism – as a matter of fact there are quite a few discontinuous island arcs, such as the Calabrian and Hellenic, not that far from the Carpathians (Fig. 11, Fig. 12).

2. Lack of compositional changes perpendicularly to the arc – this counter-argument presupposes a single subduction zone, the possibility of several zones is ignored.

3. Decreased potassium content stratigraphically upwards – the only clear enough evidence stems from Central Slovakia (Fig. 13), in the Apuseni Mts. (Fig. 14) the picture is reversed, no proper data are shown for East Slovakia, the Soviet Transcarpathians and Hungary. Thus, the observed phenomenon is by no means general.

4. The 5–10 million year time span between subduction and volcanism – this relates to the subduction in the Klippen belt which – as we have already demonstrated for the case of the East Carpathian volcanic belt – is only one of the possibilities.

5. The centrifugal migration of volcanism – in the materials presented for the Inner-Carpathian volcanic region this can only be observed in the almost north-south oriented zone across northern Hungary and Central Slovakia (Fig. 13). The phenomenon contradicts the subduction along the Carpathians but not subduction in general.

Thus, the counter-arguments do not disprove the connection between Miocene calc-alkaline volcanites and subduction processes. From the *actualistic point of view*, the disputed concept would imply that the Inner Carpathian volcanic area is the single known spot on the Earth where calc-alkaline, basically rather acidic magmatism, would be only indirectly connected with subduction processes and belts, and where it would have been due to mantle diapir. In this respect, no comparison can be based on the Western part of the USA, where the volcanites are of basaltic, rather than andesitic, composition (Fig. 15).

Summarizing, we think Miocene calc-alkaline volcanites of the Inner Carpathian area are directly connected with subduction processes, the only question is where these processes occurred. Miocene volcanism is related to a zone of WSW–ENE-strike concordant with the Pre-Neogene formations [WEIN 1969, 1973, KÖRÖSSY 1970, BALLA et al. 1977a] and almost perpendicular to the East Carpathian volcanic belt (Fig. 16). Along the rather abrupt southern margin of this zone lies the flysch-belt of the Great Hungarian Plain [KÖRÖSSY 1959; SZEPESHÁZY 1973], further southwards the Central Hungarian ophiolite belt [SZEPESHÁZY 1977].

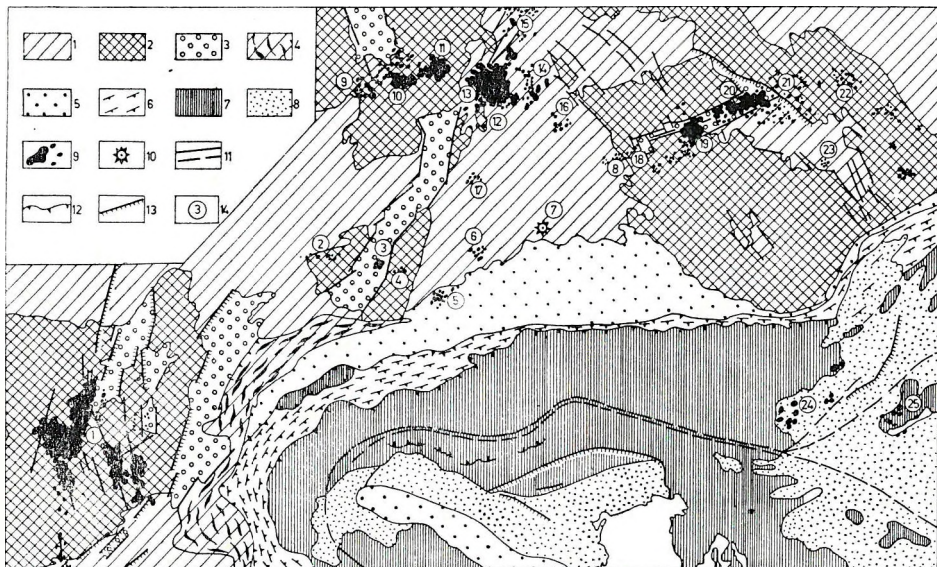


Fig. 10. Alkaline basaltic rocks in Transalpine Europe [MILANOVSKIY—KORONOVSKIY 1973, Fig. 16]

- 1 — Epipaleozoic platform;
- 2 — parts of this platform subjected to domic or block uplift in the Cenozoic;
- 3 — unconform Cenozoic grabens and depressions;
- 4 — platform parts subjected to Alpine folding;
- 5 — Alpine foredeeps;
- 6 — outer (northern) zone of the Alps and the Carpathian flysch belt;
- 7 — Mesozoic and older formations of the Alps, Carpathians and Dinarides;
- 8 — intermountain basins;
- 9 — alkaline basaltic rocks;
- 10 — Quaternary volcanoes;
- 11 — large-scale faults;
- 12 — frontal faces of charriages and nappes;
- 13 — faults;
- 14 — volcanic units (ages indicated in text)

Numbers on the map: ① — Central France (Oligocene—Quaternary, maximum in Pliocene); ②—⑧ — South Rhenish area (Miocene); ⑨ — Vosges, ⑩ — Kaiserstuhl (L.—M. Miocene), ⑪ — Schwarzwald, ⑫ — Hegau (U. Miocene), ⑬ — Ugach (U. Miocene); ⑭ — Nordlingen (U. Miocene), ⑮ — Fichtelgebirge (Miocene); ⑯—⑰ — North Rhenish area (Oligocene — Holocene, maximum in U. Oligocene-Miocene), ⑱ — Eifel (up to Holocene), ⑲ — Laacher (till Holocene), ⑳ — Siebengebirge (Oligocene — L. Miocene), ㉑ — Westerwald (Oligocene — L. Miocene), ㉒ — Vogelsberg, ㉓ — Röhn (Oligocene — L. Miocene), ㉔ — Hessen, ㉕ — Odenthal (Oligocene — L. Miocene), ㉖ — Katzenbuckel (L. Eocene); ㉗—㉙ — Bohemian—Silesian area (three phases: U. Oligocene — L. Miocene, M. Miocene — L. Pliocene, U. Pliocene — Quaternary, maximum in L. Miocene), ㉚ — Cheb, ㉛ — Doušovské Hory (L. Miocene), ㉜ — České Středohoří, ㉝ — Lausitz (U. Oligocene — L. Miocene), ㉞ — Silesia (U. Oligocene — L. Miocene), ㉟ — Nízký Jeseník (U. Pliocene — L. Pleistocene); ㉟—㉛ — Alpine area: ㉟ — Styria (two phases: U. Oligocene — L. Miocene and M. Pliocene), ㉛ — Balaton Highlands (U. Pliocene — Pleistocene)

Note: altered — title, simplified — the geographical background

10. ábra. Alkáli bazaltoidok az Alpokon kívüli Európában [MILANOVSKIY-KORONOVSKIY 1973, fig. 16]

- 1 — epipaleozoos tábla;
- 2 — a kainozoikumban boltozatos vagy tömbös kiemelkedést szennedett részei;
- 3 — rátelepült kainozoos grábénék és süllyedékek;
- 4 — alpi gyűrődést szennedett tábla-részek;
- 5 — alpi előmélységek;
- 6 — az Alpok külső (északi) öve és a Kárpáti Flisöv;
- 7 — az Alpok és Dinaridák mezozoos és idősebb képződményei;
- 8 — hegyközti medencék;
- 9 — alkáli bazaltoidok;
- 10 — negyedidőszaki vulkán;
- 11 — nagyméretű törések;
- 12 — rátolódások és takarók frontális részei;
- 13 — vetődések;
- 14 — vulkáni területek és körzetek (koruk a szöveg alapján)

Számok a térképen: ① — Közép-Franciaországi terület (oligocén—negyedkor, maximum a pliocénben); ②—⑧ — Dél-rajnai terület (miocén): ② — Vogézek, ③ — Kaiserstuhl (a—k. miocén), ④ — Schwarzwald, ⑤ — Hegau (f. miocén), ⑥ — Ugach (f. miocén), ⑦ — Nordlingen (f. miocén), ⑧ — Fichtelgebirge (miocén); ⑨—⑯ — Észak-Rajnai terület (oligocén-holocén, maximum a f. oligocénben — miocénben); ⑨ — Eifel (holocénig), ⑩ — Laacher (holocénig), ⑪ — Siebengebirge (oligocén — a.miocén), ⑫ — Westerwald (oligocén — a. miocén), ⑬ — Vogelsberg, ⑭ — Röhn (oligocén — a. miocén), ⑮ — Hessen, ⑯ — Odenwald (oligocén — a. miocén), ⑰ — Katzenbuckel (a. eocén); ⑯—㉓ — Cseh-Szléziai terület (hárrom fazis: f. oligocén — a. miocén, k. miocén — a. pliocén, f. pliocén — negyedkor, maximum az a. miocénben); ⑯ — Cheb, ⑯ — Dourovské Hory (a. miocén), ㉐ — České Středohoří, ㉑ — Lausitz (f. oligocén — a. miocén), ㉒ — Szilézia (f. oligocén — a. miocén), ㉓ — Nízký Jeseník (f. pliocén — a. pleisztocén); ㉔—㉕ — alpi terület: ㉔ — Stájerország (két fazis: f. oligocén — a. miocén és k. pliocén), ㉕ — Balatonfelvidék (f. pliocén — pleisztocén)

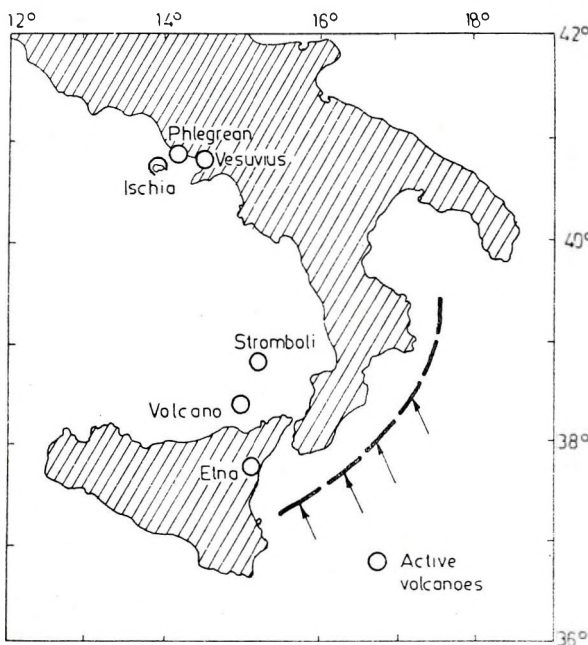
Megjegyzés: megváltoztatva — az elnevezés; egyszerűsítése — az alap tartalma

Фиг. 10. Щелочные базальтоиды в кайнозое внеальпийской Европы [MILANOVSKIY-KORONOVSKIY 1973, фиг. 16 на стр. 208]

- 1 — эпипалеозойская платформа;
- 2 — ее участки, испытавшие в позднем кайнозое сводовые или глыбовые поднятия;
- 3 — наложенные кайнозойские грабены и впадины;
- 4 — участки платформы, испытавшие альпийскую складчатость;
- 5 — альпийские краевые прогибы;
- 6 — внешние (северные) зоны Альп и флишевая зона Карпат;
- 7 — мезозойские и более древние комплексы Альп, Карпат и Динарид;
- 8 — межгорные впадины;
- 9 — щелочные базальтоиды;
- 10 — четвертичный вулкан;
- 11 — крупные разломы;
- 12 — фронтальные зоны надвигов и покровов;
- 13 — сбросы;
- 14 — вулканические области и районы (возраст — по тексту):

① — Центрально-Французская область (олигоцен—антропоген, максимум в плиоцене);  
 ②—⑧ — Южно-Рейнская область (миоцен): ② — Вогезы, ③ — Кайзерштуль (н—ср. миоцен), ④ — Шварцвайд, ⑤ — Хегау (в. миоцен), ⑥ — Угах (в. миоцен), ⑦ — Нордлинген (в. миоцен), ⑧ — Фихтельгебирге (миоцен); ⑨—⑯ — Северо-Рейнская область (олигоцен—гоноцен, максимум в в. олигоцене—миоцене): ⑨ — Эйфель (до голоцен), ⑩ — Лаахер (до голоцен), ⑪ — Зибенгебирге (олигоцен—н. миоцен), ⑫ — Вестервальд (олигоцен—н. миоцен), ⑬ — Фогельсберг, ⑭ — Рён (олигоцен—н. миоцен), ⑮ — Гессен, ⑯ — Оденвальд (олигоцен—н. миоцен), ⑰ — Катценбуль (н. эоцен); ⑯—㉓ — Чешско-Силезская область (три фазы: в. олигоцен—н. миоцен, ср. миоцен—н. плиоцен, в. плиоцен—антропоген, максимум в н. миоцене): ⑯ — Хеб, ⑯ — Дуповские горы (н. миоцен), ㉐ — Чешское среднегорье, ㉑ — Лаузиц (в. олигоцен—н. миоцен), ㉒ — Силезия (в. олигоцен—н. миоцен), ㉓ — Низкий Есенник (в. плиоцен—н. плейстоцен); ㉔—㉕ — Альпийская область: ㉔ — Штирия (две фазы: в. олигоцен—н. миоцен и ср. плиоцен), ㉕ — Прибалатонье (в. плиоцен—плейстоцен)

Примечание: изменено название, упрощено содержание основы



*Fig. 11. Arrangement of the volcanoes of the Calabrian arc [NINKOVICH—HAYS 1972, Fig. 1]*  
Note: altered — title; deleted — earthquake epicentres

*11. ábra. A Kalábjai ív vulkánjainak elrendeződése [NINKOVICH—HAYS 1972, fig. 1]*

Meg egyézés: megváltoztatva — az elnevezés; elhagyva — a földrengés-epicentrumok

*Фиг. 11. Размещение вулканов Калабрийской дуги [NINKOVICH—HAYS 1972, fig. 1]*

Примечание: изменено название, опущены эпицентры землетрясений

This remarkable complex (ophiolites, flysch, calc-alkaline volcanites) immediately suggests the proximity of *an ancient lithosphere plate boundary*. The existence of this boundary, or at least of one between the structural-formational belts is generally accepted [KÓRÖSSY 1963, 1964, 1965a, 1965b; BALOGH-KÓRÖSSY 1968; WEIN 1969, 1973, 1978a, 1978b; DANK-BODZAY 1971; Tectonics ... 1974; BODZAY 1975; SZEPESHÁZY 1977, 1979; VARGA 1978].

Under these conditions, the calc-alkaline volcanism along this boundary should be considered as evidence for the subduction of the plate lying towards the south. As in the case of the East Carpathian volcanic belt, prior to the subduction there existed a *basin with oceanic or suboceanic crust*, where flysch had been accumulated. Since the flysch of the Great Hungarian Plain and of the Outer Carpathians have about the same age, they probably originated from different parts of the same basin.

The basic aspects of Miocene volcanism of the Carpathian region can be explained in this way without any new petrogenetic or geodynamic model. Of course, a number of features have not been clarified as yet with proper thoroughness and accuracy, viz.

1. Explanation of the Miocene volcanism south of the Central Hungarian ophiolite-belt. From among these objects the Apuseni Mts. is the most widely studied. Further south, along the Mureş river lies a similar ensemble of ophiolite and flysch belts. Similarly to the previous case, these volcanites are probably related to their own subduction zone, between the Transylvanian and South Carpathian microplates. A similar situation is expected for the mostly covered, less studied Miocene volcanites of northern Yugoslavia.

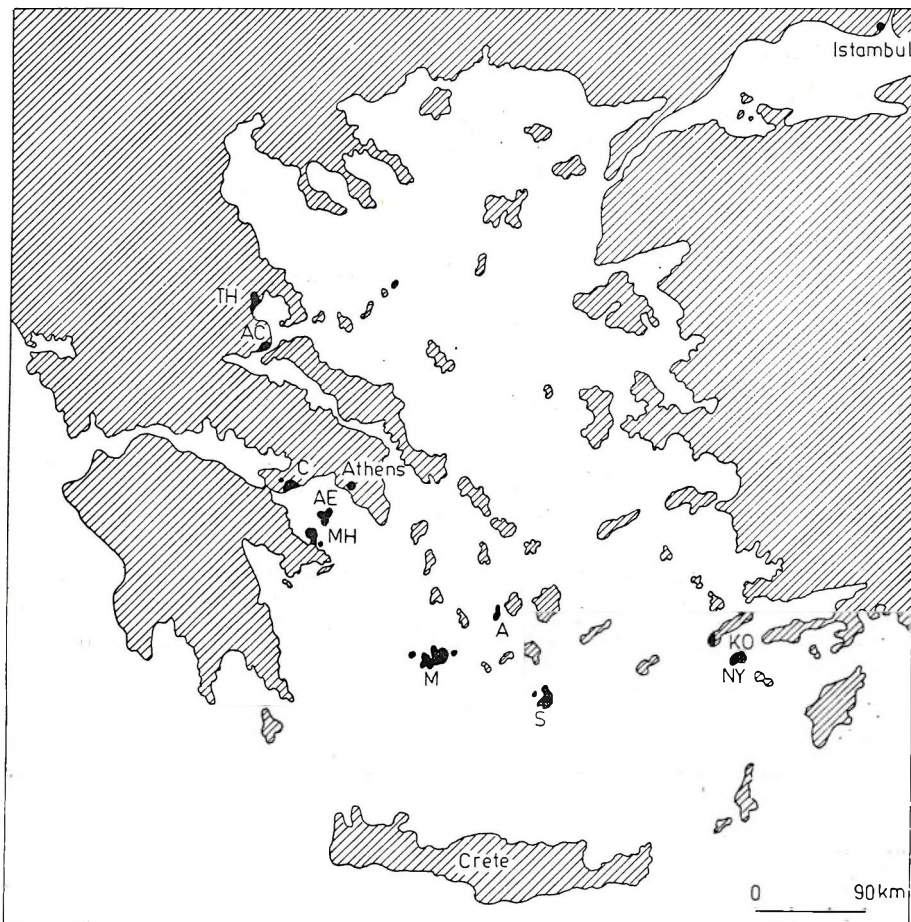


Fig. 12. Arrangement of the volcanoes of the Hellenic arc [FYTIKAS et al. 1976, Fig. 1]

Legend: C — Crommyonia, AE — Aegina, MH — Methana, M — Milos, S — Santorini  
NY — Nisyros, TH — Thebe, AC — Achilleion, A — Antiparos, KO — Kos

Note: Altered — title; simplified — the geographical background

12. ábra. A Hellén ív vulkánjainak elrendeződése [FYTIKAS et al. 1976, fig. 1]

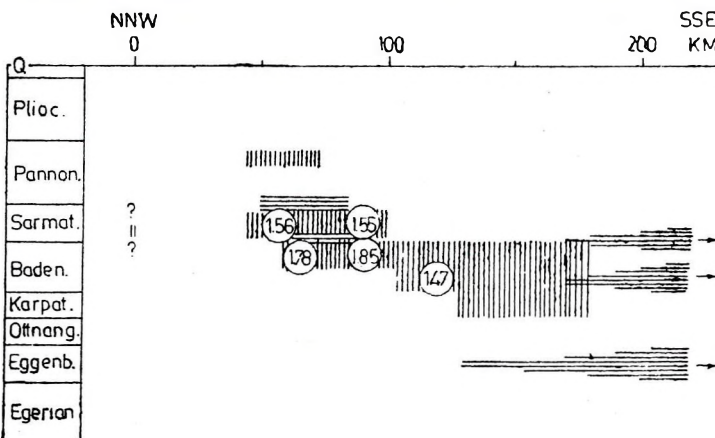
Térképi jelölések: C — Crommyonia, AE — Aegina, MH — Methana, M — Milos, S — Santorini, NY — Nisyros, TH — Thebe, AC — Achilleion, A — Antiparos, KO — Kos

Megjegyzés: megváltoztatva — az elnevezés; egyszerűsítve — az alap tartalma

Фиг. 12. Размещение вулканов Эллинской дуги [FYTIKAS et al. 1976, fig. 1]

Обозначения на карте: С — Кроммийония, АЕ — Эгина, МН — Метана, М — Милос, С — Санторини, НЬ — Нисирос, ТН — Фивы, АС — Ахиллеон, А — Антипарос, КО — Кос

Примечание: изменено название, упрощено содержание основы



*Fig. 13.* Space—time—composition diagram for the calc-alkaline volcanites of Central Slovakia and North Hungary [LEXA—KONEČNÝ 1974, Fig. 2] Legend as in Fig. 5  
Note: altered — title; deleted — alkaline basalts; orientation as in Fig. 4

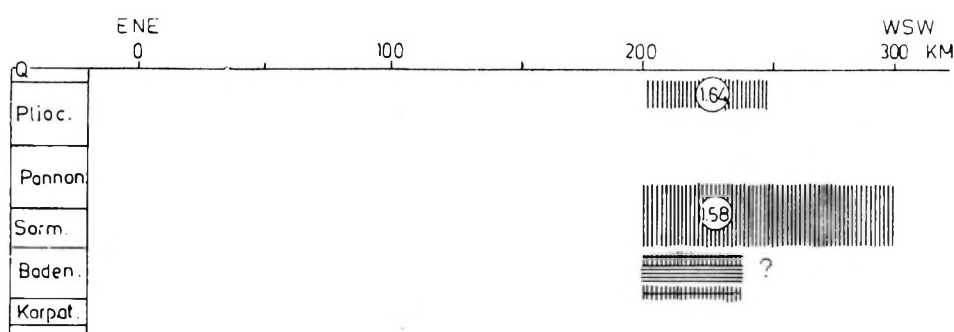
*13. ábra.* Tér—idő—összetétel diagram Közép-Szlovákia és Észak-Magyarország mészalkáli vulkanitjaira [LEXA—KONEČNÝ 1974, fig. 2] Jelmagyarázat mint az 5. ábrán

Megjegyzés: megváltoztatva — az elnevezés; elhagyva — az alkáli bazaltok; kiegészítve — tájolás a 4. ábrának megfelelően

*Фиг. 13.* Диаграмма пространство—время—состав для известково-щелочных вулканитов Средней Словакии и Северной Венгрии [LEXA—KONEČNÝ 1974, fig. 2]

Условные обозначения см. на фиг. 5

Примечание: изменено название, опущены щелочные базальты; дополнительно введено: обозначение стран света согласно фиг. 4



*Fig. 14.* Space—time—composition diagram for the calc-alkaline volcanites of the Apuseni Mts. (LEXA—KONEČNÝ 1974, Fig. 5) Legend as in Fig. 5

Note: altered — title, deleted — left-hand-side of the Figure (Călimani—Hargita mountain change, cf. Fig. 5); orientation as in Fig. 4

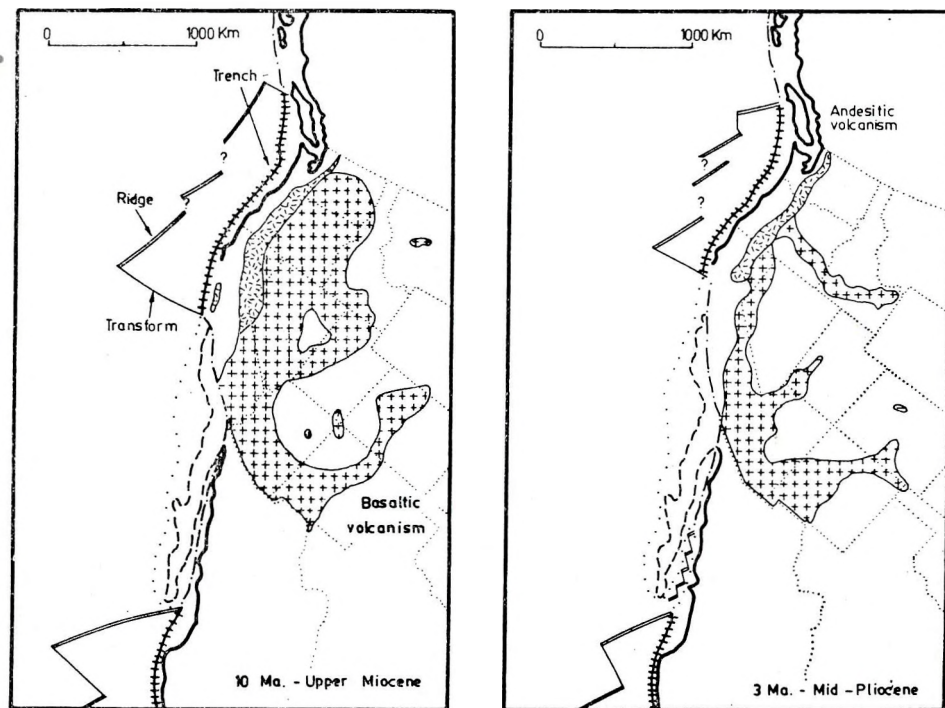
*14. ábra.* Tér—idő—összetétel diagram az Erdélyi-középhegység mészalkáli vulkanitjaira [LEXA—KONEČNÝ 1974, fig. 5]

Jelmagyarázat mint az 5. ábrán

Megjegyzés: megváltoztatva — az elnevezés; elhagyva — az ábra bal oldala (Kelemen—Hargita hegylánc, ld. az 5. ábrán); kiegészítve — tájolás a 4. ábránk megfelelően

*Фиг. 14.* Диаграмма пространство—время—состав для известково-щелочных вулканитов гор Апусени [LEXA—KONEČNÝ 1974, fig. 5] Условные обозначения см. на фиг. 5

Примечание: изменено название, опущена левая часть фиг. (цепь Кэлимани—Харгита, см. фиг. 5); дополнительно введено: обозначение стран света согласно фиг. 4



*Fig. 15. Arrangement of the Miocene and Pliocene volcanites in the western part of the USA [SMITH 1976, Fig. 3]*

Note: altered — title; oriented to geographical north

*15. ábra. Miocén és pliocén vulkanitok elrendeződése az USA nyugati részén [SMITH 1976, fig. 3]*

Megjegyzés: megváltoztatva — az elnevezés; az ábra beforgatva az égtájaknak megfelelő irányba

*Фиг. 15. Распределение миоценовых и плиоценовых вулканитов на западе США [SMITH 1976, Fig. 3]*

Примечание: изменены название и система пояснений к условным обозначениям, фиг. повернута в соответствии с ориентацией по странам света

2. The lack of potassium increase farther from the assumed subduction zone or, more generally, the absence of significant potassium-concentration differences between the volcanites of different territories [LEXA-KONEČNÝ 1974]. This question has not been thoroughly studied as yet because:

a) Part of the chemical analyses is obsolete and relates to a variageted set of haphazardly collected samples.

b) The distribution of analyses is disproportionate, certain mountains are represented by several hundred, others by a few data. Even for the main rhyolite zone of the Miocene volcanic material [PANTÓ 1962, SZÁDECZKY-KARDOSS et al. 1967] one can not collect more than a few tens of published analyses, reliable at least with regards to volatile-content.

c) Any attempt to merge the analyses of large territorial units such as Central Slovakia, North Hungary, the Tokaj-Prešov mountain range, the Zemplén Mts., Vihorlat, or the entire Soviet Transcarpathians, automatically excludes the possible changes within regions, whose size would otherwise allow potassium-zonation. Also, different massifs were possibly connected with different subduction zones. For example, a distinct, small-sized, volcanic arc such as the Tokaj-Prešov range could very well be related to an independent subduction zone.

3. It is unsettled why only certain kinds of andesite volcanoes appear on a given territorial unit, and different ones at other places. For example, the large stratovolcanoes in North Hungary and Central Slovakia, and the small ones in the Apuseni Mts. lie without a seeming pattern whereas in the Prešov range the volcanoes form a definite chain.

4. Explanation of the observable rhyolite-andesite ratio, i.e. why does the main rhyolite mass lie immediately along the subduction zone, andesite only farther away. In a general sense, the abundance of ignimbrite-like rhyolite is rather frequent above subduction zones – see such examples of younger volcanism as northern Chile, north Mexico and New Zealand. It should be noted that even for these regions the presence of rhyolite in certain sections and its absence in others is problematic [THORPE and FRANCIS 1977]. The very fact, however, that ignimbrite fields are directly connected with Benioff-zones is sufficient for an actualistic interpretation.

5. Possibility of large lateral displacements of the Miocene volcanites. This is indicated by the paleomagnetic data, which show different average declinations and inclinations between the Börzsöny, Cserhát, Mátra and Tokaj Mts. (Table I), and by the satellite imagery

*Table I*

Average declinations and inclinations for the North Hungarian Miocene volcanites (MÁRTON 1977, Table 1.)

MOUNTAINS	N	$\bar{D}_0$	$\bar{I}_0$	$\alpha^\circ$
Börzsöny	35	5	63	4
Cserhát	8	357	64	7
Mátra	12	351	53	5
Tokaj	16	332	71	6

N — number of data

$\bar{D}_0$  — average declination

$\bar{I}_0$  — average inclination

$\alpha^\circ$  — 95% confidence radius of the estimate of the average direction ( $\bar{D}^\circ$ ,  $\bar{I}^\circ$ )

suggesting a large-scale lateral displacement within the Mátra Mts. (Fig. 17). Further movements after the Miocene should have upset the relative position of the volcanoes or of their parts, and potassium zonation as well.

It can thus be seen that we anticipate a number of difficulties, but – as we have tried to illustrate above – none of them seems to be of conceptual character.

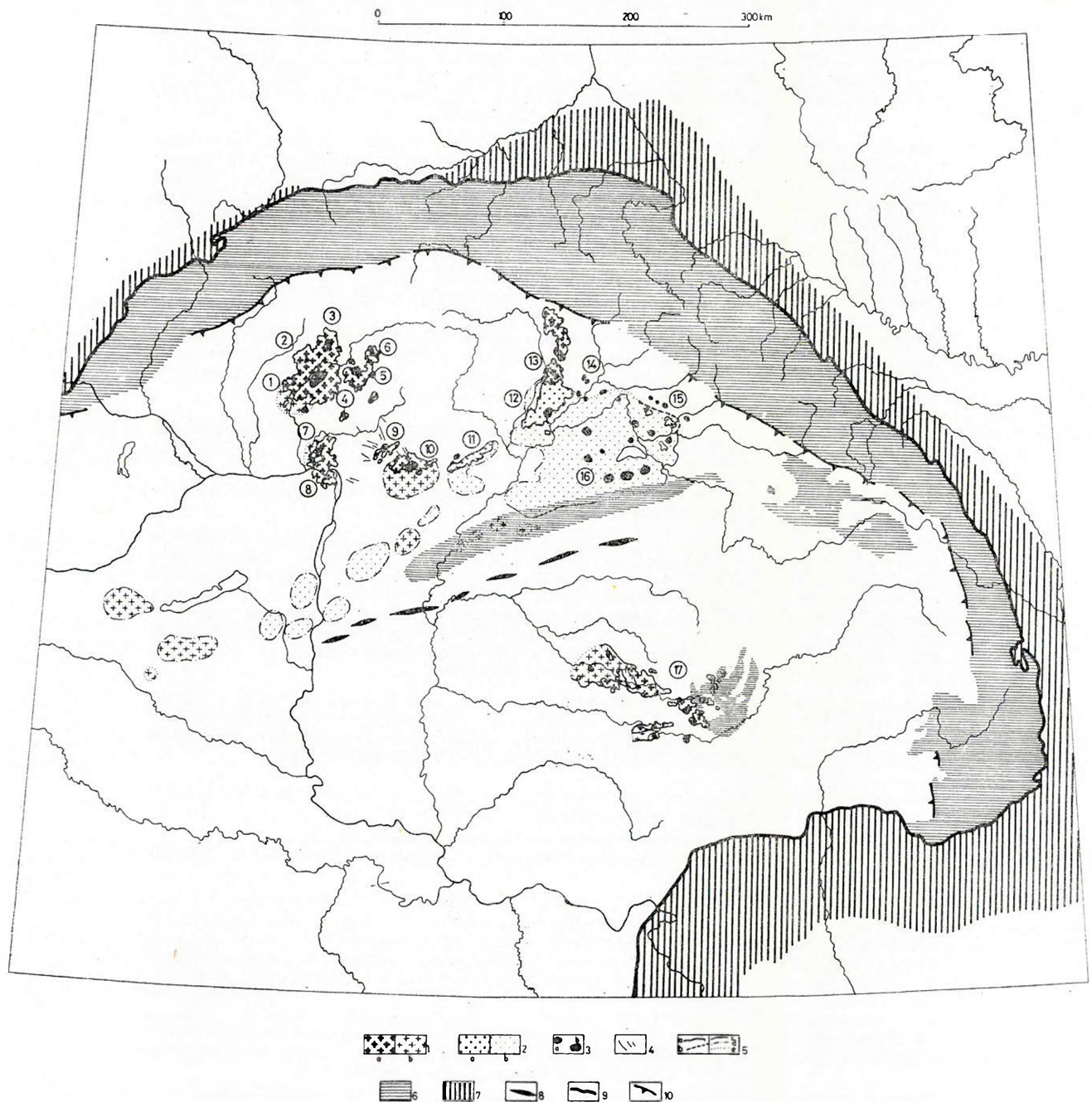


Fig. 16. Arrangement of the Miocene calc-alkaline volcanoes in the Carpathian region: Inner-Carpathian volcanic area

Sources: BALLA et al. 1977a, 1977b, BALOGH 1964, BALOGH—KÖRÖSSY 1968; BODOKY et al. 1977, Carte géologique... 1967; Carte tectonique... 1973; CIOFLICA et al. 1973, Geologická mapa ČSSR 1967. Geological map of Hungary 1956, Geomagnetic map of Hungary 1966, GYARMATI 1977, IANOVICI et al. 1976, A. JUHÁSZ 1964, 1971, JUHÁSZ—KÖVÁRY 1964, KISS 1951, KONEČNÝ et al. 1975, KÖRÖSSY 1956, 1963, 1964, 1965a, 1965b, 1970, MERLICH—SPITKOVSKAYA 1974, MIKHAYLOVA et al. 1974, PANTÓ 1962, SZEPESNÁZY 1973, 1977, 1979, SZÉKYNÉ FUX 1957, Tectonic map... 1973, VARGA et al. 1975, VÖLGyi 1959

Note: the sporadic data for SW-Hungary and North Yugoslavia were not taken into account  
 1 — mainly andesitic volcanoes: a — on the surface, b — covered; 2 — mainly rhyolitic volcanic areas: a — on the surface, b — covered; 3 — volcanic centres: a — on the surface, b — covered (according to geophysical data); 4 — andesite dikes (Cserhát—Mátra); 5 — contours of volcanoes and volcanic areas: a — from geological mapping, b — from borehole data, c — from complex geophysical data, d — based on magnetic anomalies, e — assumed; 6 — flysch on the surface and in the basement of the Great Hungarian Plain; 7 — Carpathian foredeep; 8 — Ophiolite outcrops in the basement of the Great Hungarian Plain (axes of magnetic anomalies checked by drillings — Central Hungarian Ophiolite belt); 9 — contour of the Carpathian fold system; 10 — Klippen belt and structural equivalents

Numbers on the map: ① — Pohronsky Inovec; ② — Vtačník; ③ — Kremnica volcano; ④ — Štiavnicka volcano; ⑤ — Javorie; ⑥ — Poľana; ⑦ — Börzsöny; ⑧ — Dunazug; ⑨ — Cserhát; ⑩ — Mátra; ⑪ — Bükk foothills; ⑫ — Tokaj Mts.; ⑬ — Prešov range; ⑭ — Zemplín; ⑮ — Beregovo Hills; ⑯ — The Nyír—Hajdú district; ⑰ — Apuseni Mts.

16. ábra. A miocén korú mészalkáli vulkánok elrendeződése a Kárpáti régióban: Belsőkárpáti vulkáni terület

Megjegyzés: 1. A térkép forrásait lásd az angol szövegben  
 2. Nem lettek figyelembe véve a Délnyugat-Magyarországra és Észak-Jugoszláviára vonatkozó szörványos adatok

1 — javarésszt andezites vulkánok: a — felszínen, b — eltemetve; 2 — javarésszt riolitos vulkáni területek: a — felszínen, b — eltemetve; 3 — vulkáni centrumok: a — felszínen, b — eltemetve (geofizikai adatok alapján kijelölve); 4 — andezittelérek (Cserhát—Mátra); 5 — vulkánok és vulkáni területek kontúrai: a — földtani térképezés alapján, b — mélyfúrás alapján, c — komplex geofizika alapján, d — mágneses anomáliák alapján, e — feltételezett; 6 — flis a felszínen és a Nagyalföld aljzatában; 7 — Kárpáti előméllység; 8 — ophiolitkibúvások a Nagyalföld aljzatában (fúrásokkal ellenőrzött mágneses anomáliák tengelyvonalai — Közép-magyarországi ophiolit-öv); 9 — a Kárpáti gyűrt rendszer körvonala; 10 — Szirtők és szerkezeti ekvivalensei

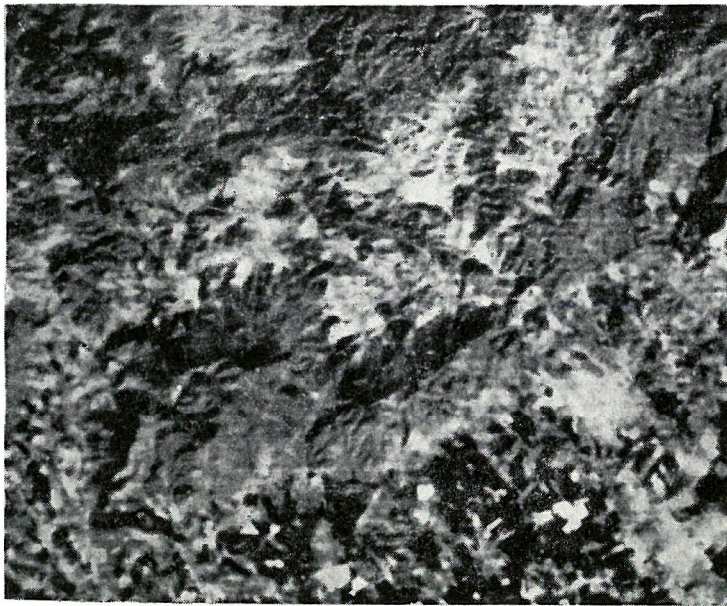
Számok a térképen: ① — Pohronsky Inovec; ② — Vtačník; ③ — Kormöci vulkán; ④ — Selmeci vulkán; ⑤ — Jávoros; ⑥ — Polyan; ⑦ — Börzsöny; ⑧ — Dunazug; ⑨ — Cserhát; ⑩ — Mátra; ⑪ — Bükkalja; ⑫ — Tokaji hegység; ⑬ — Eperjesi vonulat; ⑭ — Zemplén; ⑮ — Beregszászi dombsádék; ⑯ — Nyírség—Hajdúság; ⑰ — Erdélyi-középhegység

Фиг. 16. Размещение известково-щелочных вулканов миоценового возраста в Карпатском регионе: Внутрикарпатский вулканический ареал

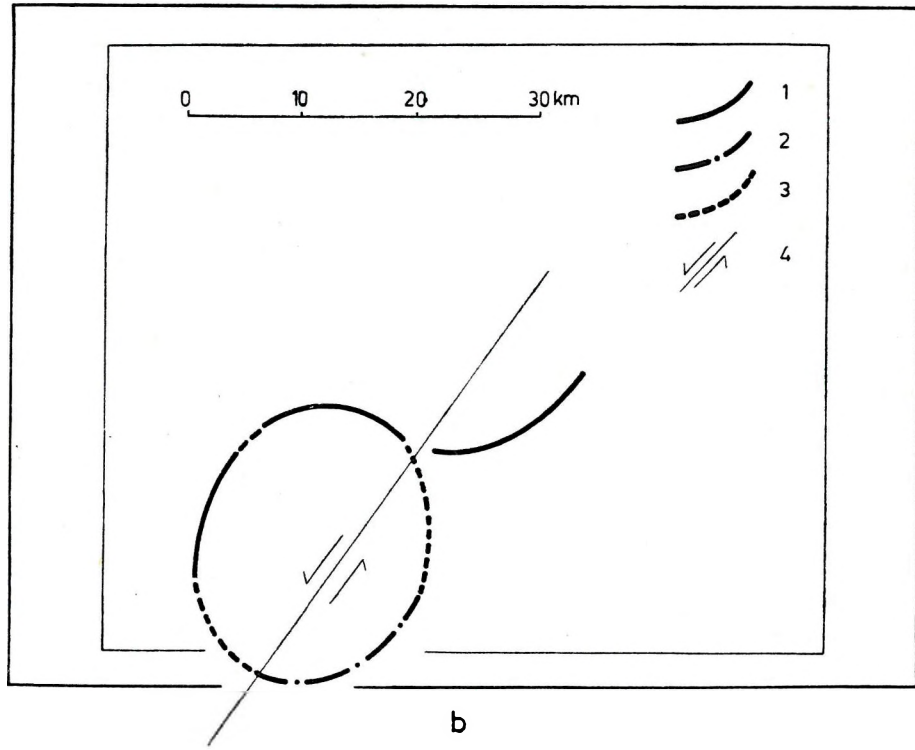
Примечание: 1. Источники составления карты — см. в английском тексте  
 2. Не учтены спорадические данные по Юго-западной Венгрии и по Северной Югославии

1 — вулканы преимущественно андезитовые: а — на поверхности, б — погребенные; 2 — вулканические области преимущественно риолитовые: а — на поверхности, б — погребенные; 3 — вулканические центры: а — на поверхности, б — погребенные (выделены по данным геофизики); 4 — дайки андезитов (Черхат—Матра); 5 — контуры вулканов и вулканических областей: а — по данным геологической съемки, б — по данным бурения, с — по комплексу геофизических данных, д — по магнитным аномалиям, е — предполагаемые; 6 — флиш на поверхности и в фундаменте Большой Венгерской впадины; 7 — Предкарпатский прогиб; 8 — выходы оphiolитов в фундаменте Большой Венгерской впадины (оси магнитных аномалий, заверенных бурением — Средневенгерский Офиолитовый пояс); 9 — контур Карпатской складчатой системы; 10 — Утесовая зона и ее структурные эквиваленты

Цифры на карте: ① — Похронски Иновец; ② — Втачник; ③ — Кремницкий вулкан; ④ — Штиавницкий вулкан; ⑤ — Яворие; ⑥ — Поляна; ⑦ — Бёржён; ⑧ — Дуназуг; ⑨ — Черхат; ⑩ — Матра; ⑪ — Бюккалья; ⑫ — Токайские горы; ⑬ — Прешовская гряда; ⑭ — Земплин; ⑮ — Береговское холмогорье; ⑯ — Ньиршег—Хайдушаг; ⑰ — горы Апусени



a



b



*Fig. 17.* Assumed wrench fault in the Miocene andesite volcano of the Mátra Mts.

a — details of the Landsat—100, E—1465—09015, MSS 457 (31.10.1973) satellite imagery;  
b — sketch of structural interpretation

1 — recent dividing ridge indicating the original volcanic ring structure; 2 — assumed original position of the dividing ridge of the Eastern Mátra Mts.; 3 — sections of the dividing ridge destroyed by erosion; 4 — assumed wrench fault (the so-called Darnó-line)

*17. ábra.* Feltételezett eltolódás a Mátra-hegység miocén korú andezitvulkánjában

a — Landsat—100, E—1465—09015, MSS 457 (1973. 10. 31.) ürfénykép részlete;

b — szerkezeti értelmezési vázlat

1 — az eredeti vulkáni gyűrűs szerkezetet jelző mai vízválasztó gerinc; 2 — a Keleti-Mátra vízválasztó gerincének feltételezett eredeti helyzete; 3 — a gyűrűs vízválasztó gerinc erózió által megsemmisített szakaszai; 4 — feltételezett eltolódás (az ún. Darnó-vonal)

*Фиг. 17.* Предполагаемый сдвиг в миоценовом андезитовом вулкане гор Матра

а — фрагмент космического снимка Landsat—100, E—1465—09015, MSS 457 (31. 10. 1973)

б — схема структурной интерпретации

Условные обозначения: 1 — современный водораздельный хребет, отмечающий первичную кольцеобразную вулканическую структуру; 2 — предполагаемое исходное положение водораздельного хребта Восточной Матры; 3 — отрезки кольцеобразного водораздельного хребта, уничтоженные эрозией; 4 — предполагаемый сдвиг (т. н. „линия Дарно“)

### III. Conclusions for the Evolution of the Carpathian Region

Neogene calc-alkaline volcanism proves that before the Miocene there existed a *basin of oceanic or suboceanic crust* capable of subduction, where a probably turbiditic sedimentation took place. The present-day structure of the Carpathian fold system still shows the contours of the northern and eastern margins of this basin. The western and the southern part probably dismembered into microplates – after which they significantly displaced, even rotated, with respect to each other – so that the boundary cannot be reconstructed without further studies.

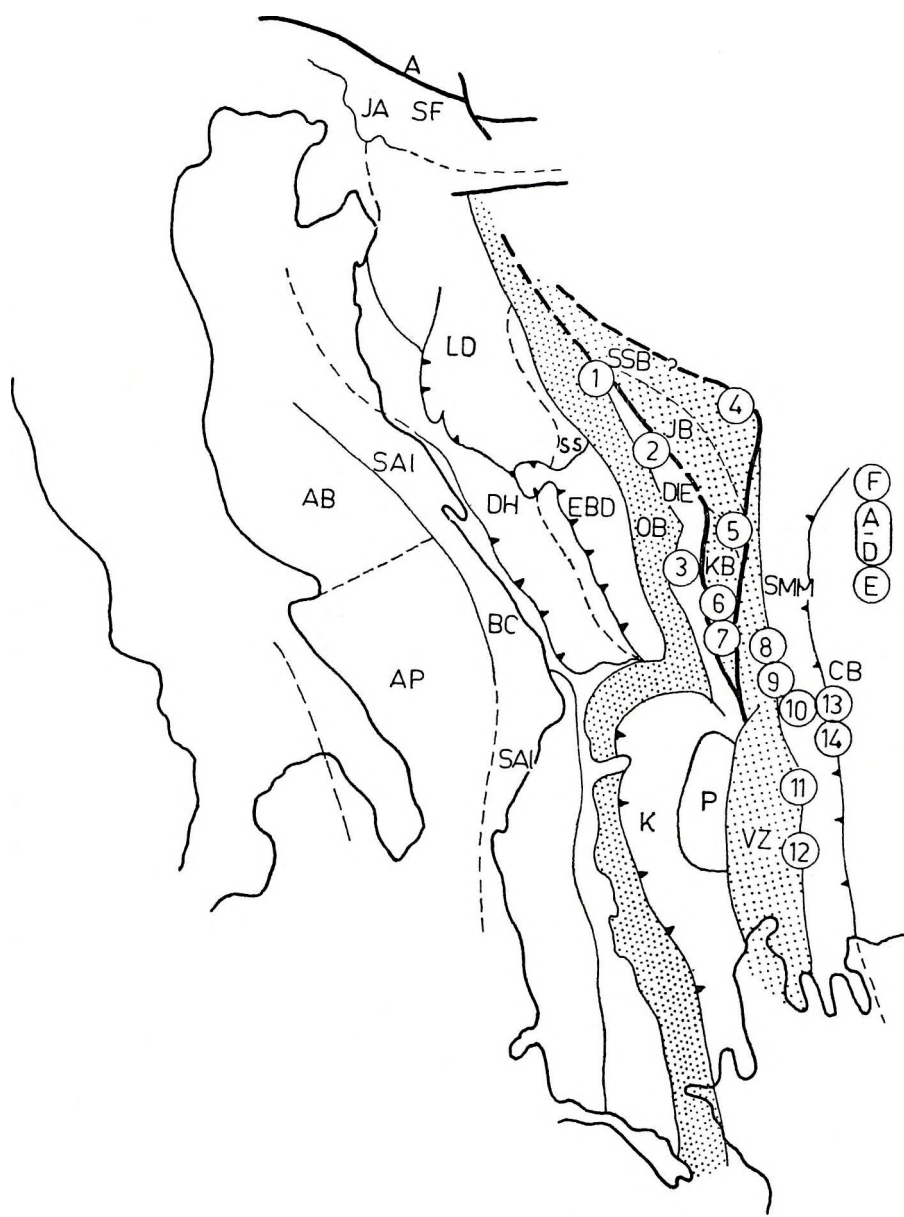
The *spatial possibilities* allowed by this Early Miocene paleogeographic picture naturally provoke some objections since at present the Dinarides, the Alps, the Bohemian Massif, the Polish and Russian Platform, the Dobrogea and the Moesian Platform constitute a *closed solid frame* enclosing mosaics of microplates of continental crust. We think however that, for the Neogene, this rigid connection only holds between the Bohemian Massif, the Polish Platform, the Russian Platform and Dobrogea. Also, since the beginning of the Neogene the Alps most likely have not moved in the east–west direction with respect to the Bohemian Massif. On the other hand, the Dinarides and the Moesian Platform – or at least sections of their boundaries – are active even now, as evidenced by earthquakes. Most reconstructions accept that the Dinarides have moved to their present-day position from the south, the Moesian Platform from the east [DEWEY et al. 1973, CHANNELL–HORVÁTH 1976, VARGA 1978]. The only question being: *when did this happen?*

It should be recalled that the intensive Neogene calc-alkaline volcanism along the eastern boundary of the Dinarides shows a strong E–W-directed “space shortening” (Figs. 18, 19), whereas around the Aegean sea, the Lower Miocene calc-alkaline and Middle Miocene–Lower Pliocene alkaline–basaltic magmatism [FYTIKAS et al. 1976] prove a variable and vivid geodynamic activity in the region. In view of this, it is reasonable to assume that the southwestern and/or southern closure of the frame of the Carpathian region took place *in the Neogene, rather than before*. The reconstruction of this process will be the task of further studies. For the present purposes it suffices to note that no conceptual obstacles have remained with the spatial aspect, and that *any reconstruction of the ancient movements should proceed from the south*. As judged from the polarity of the Central Hungarian and the Mureş subduction zones, the microplates, constituting the recent Pannonian basin floor moved in this direction in the Miocene.

Geodynamic theories of the Carpathian region usually consider the well-known *disturbance at the Miocene–Pliocene boundary* as due to a change from compression to tension [even in most recent works, cf. STEGENA et al. 1975, CHANNELL–HORVÁTH 1976]. This interpretation forgets that while a Pliocene–Quaternary expansion is assumed for the Pannonian basin, a simultaneous compression (subduction) took place in the East Carpathians.

Keeping to the terminology and concepts of plate tectonics and considering the Pannonian basin as an *interarc*, it should be clear that – in a regional sense – one ought to speak about compression, while the so-called „general expansion” of the Pannonian basin is but a local phenomenon in the background of the subduction zone. So, in a regional sense, the above-mentioned disturbance does not indicate a change from compression to tension, but *rather the rotation of the compression* from a nearly north–south to a nearly east–west direction.

Roughly, this change should have taken place in the following steps. In the Miocene, the continental microplates which had been melted into the oceanic or suboceanic lithosphere intruded into the western part of the north-eastern basin. Until the original oceanic or sub-



*Fig. 18. General tectonic zoning of the Dinarides and adjacent areas, with the position of analysed volcanites [DIMITRIJEVIĆ 1974, Fig. 1]*

CB — Carpatho—Balkans; SMM — Serbo—Macedonian Massif; VZ — Vardar Zone (KB—Kopaonik block, JB—Jadar block, SSB—Slavonia—Srem block); P — Pelagonian Massif (K—Korab zone); *Dinarides*: DIE — Drina—Ivanjica element; OB — Ophiolite Belt; LD — Lika—Dinara block; EBD — East Bosnian—Durmitor block; DH — Dalmatian—Herzegovinian zone; BC — Budva—Cukali zone; SAI — South Adriatic—Ionian zone; JA—SF — Julian Alps and Sava folds; *Adriatic*: AP — Apulian platform; AB — Adriatic block; A — Alps.

Location and in parentheses the number of analyses: ① — Maglaj (1); ② — Srebrnica mine (5), ③ — Ivanjica area (7), ④ — Fruška Gora Mt. ⑤ — Borač—Kotlenik Mts. (49), ⑥ — Kopaonik Mt. (8), ⑦ — Karamanica—Kremić (6), ⑧ — Lece mine (14), ⑨ — Sjarina (2), ⑩ — Vranje area (1), ⑪ — Kratovo—Zletovo area (19), ⑫ — Kožuf Mt. (2), ⑬ — Mačkatica mine (3), ⑭ — Vlasotince—Romanovska (1)

A — Bor, first phase (23), B — Bor, second phase (12), C — Bor, third phase (7), D — Zaječar area (3), E — Knjaževac area (3), F — Kučevac area (1)

Note: map oriented to the geographical north

*18. ábra. Az analizált mészkálávi vulkanitok elrendeződése a Dinaridák általános tektonikai zonációjában [DIMITRIJEVIĆ 1974, fig. 1]*

Térképi jelölések: CB — Kárpátok—Balkán; SMM — Szerb—Macedon masszívum; VZ — Vardar-öv (KB — Kopaonik blokk, JB — Jadar blokk, SSB — Slavonia—Srem blokk); P — Pelagóniai masszívum (K — Korab-öv); *Dinaridák*: DIE — Drina—Ivanjica elem; OB — Ofiolit-öv; LD — Lika—Dinara blokk; EBD — Kelet-Bosznia—Durmitor blokk; DH — Dalmáciai—Hercegovinai öv; BC — Budva—Cukali öv; SAI — Dél-Adriai—Ióniai öv; JA—SF — Julai Alpok és Szávareddök; *Adria*: AP — Apuliai platform; AB — Adriai blokk; A — Alpok.

Elemzési pontok (zárójelben — az elemzések száma, db): ① — Maglaj (1), ② — Srebrnica bánya (5), ③ — Ivanjica környéke (7), ④ — Fruška Gora hegység (1), ⑤ — Borač—Kotlenik hegység (49), ⑥ — Kopaonik hegység (8), ⑦ — Karamanica—Kremić (6), ⑧ — Lece bánya (14), ⑨ — Sjarina (2), ⑩ — Vranje környéke (1), ⑪ — Kratovo—Zletovo környéke (19), ⑫ — Kožuf hegység (2), ⑬ — Mačkatica bánya (3), ⑭ — Vlasotince—Romanovska (1).

A — Bor, első fázis (23), B — Bor, második fázis (12), C — Bor, harmadik fázis (7), D — Zaječar környéke (3). E — Knjaževac környéke (3), F — Kučevac környéke (1)

Megjegyzés: az ábra beforgatva az égtájaknak megfelelő irányba

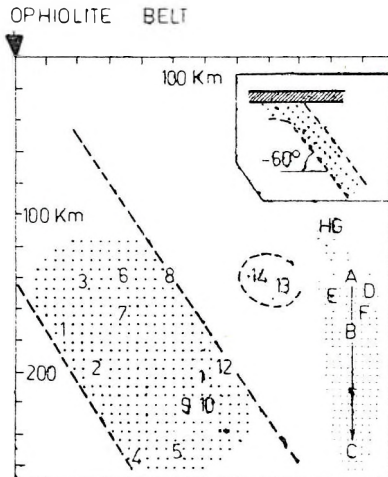
*Фиг. 18. Размещение анализированных известково-щелочных вулканитов в общей тектонической зональности Динарид [DIMITRIJEVIĆ 1974, fig. 1]*

СВ — Карпаты—Балкан; СММ — Сербско—Македонский массив; ВЗ — Вардарская зона (КВ — блок Копаоник, JB — блок Йадар, SSB — блок Славония—Срем); Р — Пелагонийский массив (К — зона Кораб); *Динариды*: DIE — элемент Дрина—Иваньица; ОВ — Офиолитовый пояс; LD — Блок Лика—Динара; EBD — Блок Восточная Босния — Дурмитор; SS — Сигмонаида Сараева; DH — Далматско—Герцеговинская зона; BC — Зона Будва—Цукали; SAI — Южноадриатическо—Ионическая зона; JA—SF — Юлийские Альпы и Савские складки; *Адриатика*: AP — Апулийская платформа; AB — Адриатический блок; А — Альпы

Пункты анализов (в скобке — количество анализов): ① — Маглай (1), ② — Рудник Сребрница (5), ③ — Район Иваньица (7), ④ — Горы Фрушка Гора (1), ⑤ — Горы Борач—Котленик (49), ⑥ — Горы Копаоник (8), ⑦ — Караманица—Кремич (6), ⑧ — рудник Лече (14), ⑨ — Съярина (2), ⑩ — район Вранье (1), ⑪ — район Кратово—Злетово (19), ⑫ — горы Којуф (2), ⑬ — рудник Маčкатаца (3), ⑭ — Власотинце—Романовска (1).

А — Бор, первая фаза (23), В — Бор, вторая фаза (12), С — Бор, третья фаза (7), D — район Заечар (3), Е — район Княжевац (3), F — район Кућево (1)

Примечание: фиг. повернута в соответствии с ориентацией по странам света



*Fig. 19.* Depths of magma chambers (computed by NINKOVICH and HAYS' (1972) (method) and their distances from the ophiolite belt [DIMITRIJEVIĆ 1974, Fig. 3]  
Numbers and letters refer to points of analyses, cf. Fig. 18.

Note: altered — title

*19. ábra.* A Belső Dináridák ofiolit-övével kapcsolatos szubdukciós öv összesítő szelvénye a neogén vulkanitok kiolvadási mélységei alapján [DIMITRIJEVIĆ 1974, fig. 3]

A sorszámok az elemzési pontokat jelzik (ld. a 18. ábrán). A kiolvadási mélységek meghatározása NINKOVICH—HAYS (1972) nyomán

Megjegyzés: megváltoztatva — az elnevezés

*Фиг. 19.* Сводный профиль древней зоны субдукции, связанный с Офиолитовым поясом Внутренних Динарид, по данным глубин выплавления неогеновых вулканитов [DIMITRIJEVIĆ 1974, fig. 3]

Номера обозначают пункты анализор (см. фиг. 18)

Глубины выплавления определялись по [NINKOVICH—HAYS 1972]

Примечание: изменено название

oceanic crust between the South Carpathians and the Tatra Mts. had been used up by subduction, a "space shortening" took place in this direction. The eastern part of the basin could have remained open only if at the beginning of the Miocene the Moesian Platform had protruded westwards with respect to the southwest margin of the Russian Platform, protecting the basin from a direct closure from the south. Under these circumstances, the changes of the deformation field around the Miocene–Pliocene boundary can very well be explained without any assumed influences from outside the Carpathians: when in the near N–S oriented section the continental microplates had got into contact with each other and with the solid frame (Bohemian Massif–Polish Platform) and gradually filled up the whole section, the same general movement diverted them east, towards the remaining parts of the basin.

*Details of the changes of the deformation field* can be illuminated by data of that territory where the Inner-Carpathian "area" directly meets the East-Carpathian volcanic belt (at the borderland of the Soviet Transcarpathians, Slovakia, Hungary and Roumania). In the Vihorlat–Gutai mountain range the formations of the "area" and the volcanic belt are superimposed without significant gap of time [MERLICH et al. 1974]. The intermediate strike of the Tokaj–Prešov arc suggests that the rearrangement of deformations continuously proceeded

in space, although the final position of the arc should have been affected by later displacements.

Further away, along the East Carpathians, three segments can be distinguished (Fig. 8): the Vihorlat–Gutăi volcanic chain, the Călimani–Harghita volcanic chain and the Vrancea seismic zone. According to radiological age determinations [MERLICH–SPITKOVSKAYA

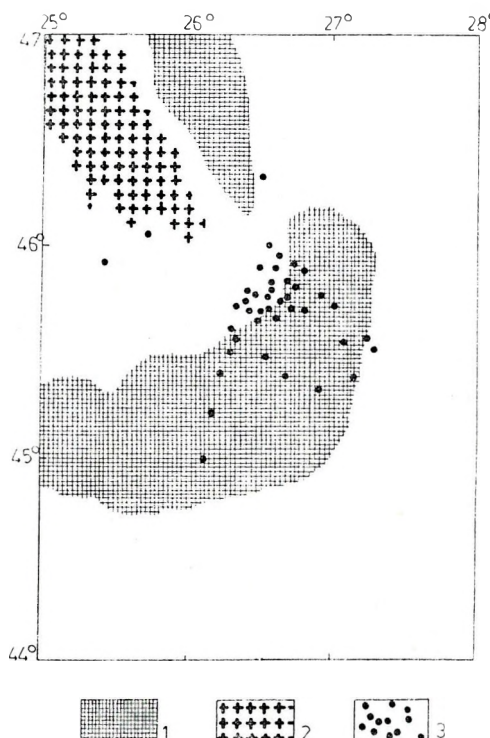


Fig. 20. Borderland of the southern termination of the Călimani–Harghita volcano chain and the Vrancea seismic zone [ROMAN 1970, Fig. 4]

1 — negative Bouguer anomaly; 2 — andesite; 3 — epicentres of 50–160 km deep earthquakes between 1928—1965.

Note: altered — title; omitted — division of basement with respect to age and contours of the seismoactive block

20. ábra. A Kelemen–Hargita vulkán-lánc déli elvégződése és a Vrancea szeizmikus öv határvonalé [ROMAN 1970, fig. 4]

1 — negatív Bouguer-anomália; 2 — andezit; 3 — 50–160 km mélységű 1928—1965. évi földrengések epicentrumai

Megjegyzés: megváltoztatva — az elnevezés; elhagyva — az aljzat kora szerinti területi felosztás és a szeizmoaktív blokk körfonala

Фиг. 20. Пограничная область между южной оконечностью вулканической цепи Кэлимани—Харгита и сейсмической областью Вранча [ROMAN 1970, fig. 4]

1 — отрицательные аномалии Буге; 2 — андезиты; 3 — эпицентры землетрясений 1928—1965 гг. с глубинами 50—160 км

Примечание: изменено название; опущены районирование по возрасту фундамента и контур сейсмоактивного блока

1974; MIKHAYLOVA et al. 1974] the first mountain chain is dated to the end of the Miocene – beginning of Pliocene; the second to the end of the Pliocene – beginning of the Pleistocene [RĂDULESCU et al. 1973]; the Vrancea zone is active even today, without volcanism [ROMAN 1970]. Consequently, subduction did not occur simultaneously in the three segments, but step-wise later and later from north-west to south-east. The northern boundary between the segments approximately coincides with the eastern continuation of the flysch belt of the Great Hungarian Plain, the southern boundary (Fig. 20) very likely with the continuation of the Mureş belt. As already seen, both of them indicate Miocene microplate boundaries. The fact that these boundaries separate segments of different age of the East Carpathian subduction zone suggests that *the corresponding microplates retained their independence during the Pliocene*. The general rejuvenation from north-west to south-east of the active plate boundaries is in accordance with the assumption that the basin with oceanic or suboceanic crust became closed under the screening effect of the southwards lying Moesian Platform.

#### IV. Methodological Conclusions

Any attempts to explain, within the framework of plate tectonics, the Neogene calc-alkaline volcanism of the Carpathian region, have faced *serious obstacles as to the spatial possibilities*: according to the classical view (Tectonics... 1974) the orogenesis of the Inner-Carpathians had already been completed by the beginning of the Oligocene (Fig. 21), leaving no place for further basins whose crust would probably have been subjected to subduction. Apparently, this opinion is supported by the reconstruction of the relative movements of the Eurasian and African lithosphere plates, which began their approach toward each other in the Eocene [PHILLIPS–FORSYTH 1972], or even the Upper Cretaceous [DEWEY et al. 1973].

We are thus faced with the following difficulty: if we do not want to reject plate tectonics, which alternative should be given preference:

- a) the prevalent *opinion* that the Carpathian region had already been filled up by pieces of lithosphere-plates at the beginning of Miocene; or
- b) the vast amount of *actual facts* for the whole Earth, which facts imply a direct, clear-cut spatial-temporal connection between calc-alkaline magmatism and subduction processes and belts.

Up to now all investigators have favoured the first solution, by elaborating (or supporting) *ad hoc* hypotheses about the direct connection of calc-alkaline magmatism with a particular mantle-diapir, analogous to that assumed beneath marginal seas [KARIG 1971]. We have chosen the second way, first of all because we are convinced that marginal seas and their continental analogues are characterized by a specific alkaline-basaltic-tholeitic, rather than calc-alkaline magmatism [LORDKIPANIDZE et al. 1979]; and, also, because we do not know of any exception under the rule that calc-alkaline magmatism always shows evident space-time connection with subduction belts and processes. Consequently, we adopted – as a general reconstruction idea – the approach that the calc-alkaline magnatism should be used for the *diagnosis of subduction belts of the same age* [ZONENSHAIN et al. 1976].

Following this path, we soon encountered a new, strikingly unexpected picture of Early Miocene paleogeography. This picture does not contradict the general opinion that the convergence of the Eurasian and African lithosphere-plates started in the Upper Cretaceous or the Eocene. As a matter of fact the convergence should not be assumed to be continuous in the same way as is, for example, the collision of the Indian and Eurasian plates in the present-

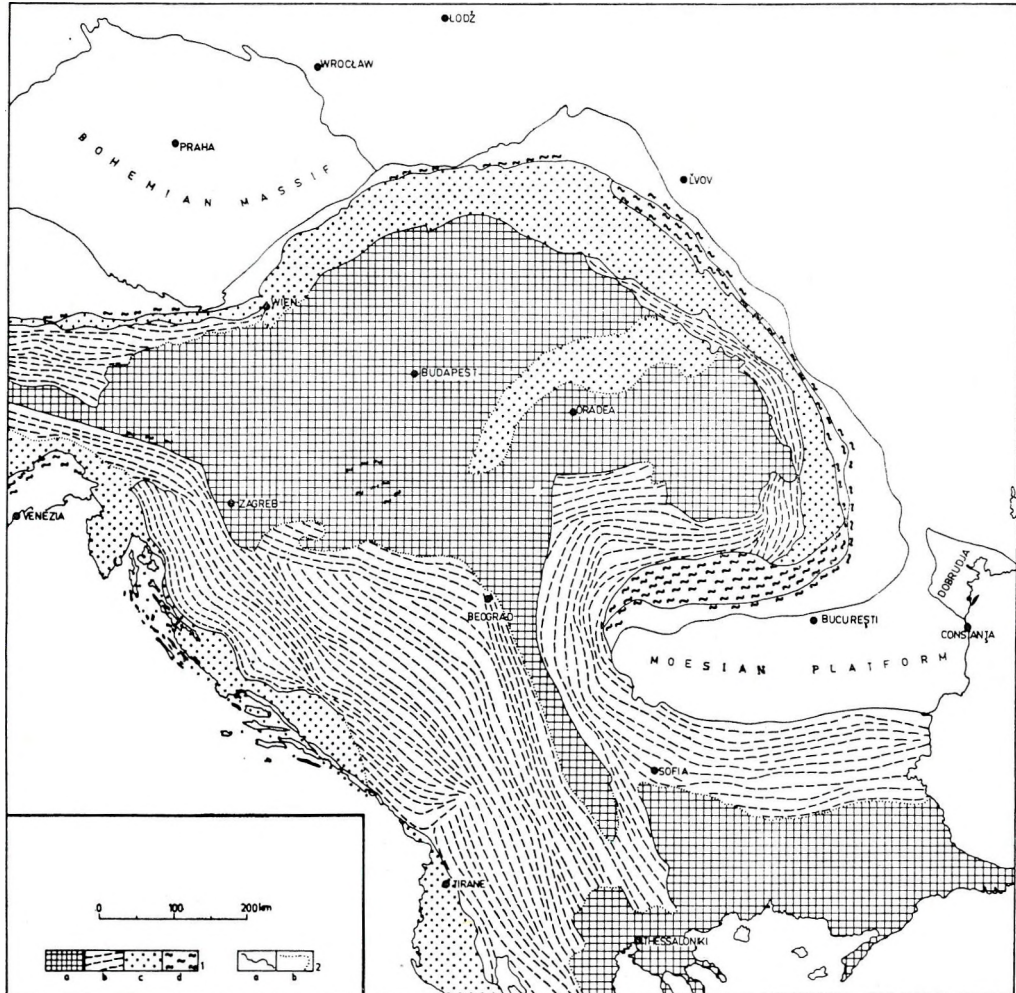


Fig. 21. Territorial division of the Carpatho—Balkan region with respect to age of the latest folding [Tectonics... 1974, Fig. 1]

1 — age of the latest folding: a — Cretaceous, b — Paleogene, c — early Miocene, d — late Neogene—Quaternary; 2 — boundary between regions and zones of different age of folding: a — certain, b — uncertain

Note: omitted — territorial division with respect to geotectonic units and to the intensity of folding, and the older foldings on the territories of younger ones

21. ábra. A Kárpát—Balkán régió területi felosztása az utolsó gyűrűdés kora szerint [Tectonics... 1974, fig. 1]

1 — az utolsó gyűrűdés kora: a — kréta, b — paleogén, c — korai neogén, d — késői neogén—kvarter; 2 — a különböző gyűrűdési korú területek és övek határa: a — biztos, b — bizonytalan

Megjegyzés: elhagyva — a tektonikai egységek és a gyűrűdés intenzitása szerinti területi felosztás, továbbá az idősebb gyűrűdések a fiatalabb gyűrűdések területein

Фиг. 21. Районирование Карпато—Балканского региона по возрасту последней складчатости [Tectonics... 1974, fig. 1]

1 — возраст последней складчатости: а — меловой, б — палеогеновый, в — ранненеогеновый, г — поздненеогеновый—антропогеновый; 2 — границы областей и зон с разным возрастом последней складчатости: а — достоверные, б — предполагаемые

Примечание: опущены: выделение тектонических единиц и районирование по интенсивности складчатости, а также более древняя складчатость в пределах района с молодой складчатостью

day Himalayas: there always used to be and there still exist basins of oceanic or suboceanic crust (Mediterraneum). It is also indisputable that during the Early Miocene the Dinardes – even together with the Adriatic and the Apennines – lay further away from the recent Alpine–Carpathian system, since south-westwards and south-eastwards from them there are still oceanic type basins (Tyrrhenian, Aegean) developed in the Miocene. The majority of recent geodynamic reconstructions of the Carpathian region proceed from older to younger formations, relying usually on Mesozoic data. During this, a legion of auxiliary assumptions have to be made so that practically no objectivity should be expected as regards details. No wonder that various reconstructions of the Mesozoic geodynamics are so different, even if based on the same set of data.

The strictly actualistic analysis of the Neogene Carpathian volcanism proves that the recent arrangement of the continental lithosphere elements had not been completed by the end of the Oligocene; this arrangement has continued – and the continental lithosphere elements have exhibited significant movement with respect to each other and to the Eurasian lithosphere plate – through the Miocene up to the present day. It should be realized, of course, that while we already see the outlines of a geodynamic reconstruction of the Pliocene, we have but the vaguest ideas about the Miocene. We think however, that no Early Miocene paleogeography can be elaborated without a sound understanding of the Miocene geodynamics. Until this we cannot hope to clarify the geodynamics and paleogeography of earlier eras.

It is expected that the recognition of the space–time distribution and compositional changes of Miocene volcanites would provide a clue for this quest. This is the main point in their investigation, and this is why we have to take every effort to solve at least the most important related problems.

#### Acknowledgement

The author would offer his sincere thanks to Dr. L. P. ZONENSHAIN ("P. Shirshov" Oceanological Institute, Moscow) who introduced him to the intricacies of geodynamic reconstructions, for his valuable consultations during the work leading to the present paper.

#### REFERENCES

- BALLA Z., ZELENKA T., BALÁZS E., 1977<sup>a</sup>: Arrangement of the Neogene volcanoes of the Carpathian region (in Russian with English abstract). *Acta Geol. Ac. Sci. Hung.*, Budapest, 21, 4, 487–398.
- BALLA Z., KORPÁS L., CSONGRÁDI J., 1977<sup>b</sup>: Evolution and age of the paleovolcanoes of the Bükk–Dunazug Mountains (in Russian with English abstract). *Acta Geol. Ac. Sci. Hung.*, Budapest, 21, 4, 399–407.
- BALOGH K., 1964: Die geologischen Bildungen des Bükk-Gebirges. *Magy. Áll. Földt. Int. Évk.*, Budapest, 48, 2, 555–705.
- BALOGH K., KÖRÖSSY L., 1968: Tektonische Karte Ungarns im Maßstabe 1:1 000 000. *Acta Geol. Ac. Sci. Hung.*, Budapest, 12, 1–4, 255–262.
- BLEAHU, M. D., BOCCALETI, M., MANETTI, P., PELETZ, S., 1973: Neogene Carpathian arc: a continental arc displaying the features of an "island arc". *Journ. Geophys. Res.*, Washington, 78, 23, 5025–5032.
- BOCCALETI, M., MANETTI, P., PECCERILLO, A., PELETZ, S., 1973<sup>a</sup>: Young volcanism in the Călimani–Harghita Mountains (East Carpathians): evidence of a paleoseismic zone. *Tectonophysics*, Amsterdam, 19, 4, 299–313.
- BOCCALETI, M., MANETTI, P., PELETZ, S., 1973<sup>b</sup>: Evolution of the Upper Cretaceous and Cenozoic magmatism in the Carpathian arc: geodynamic significance. *Mem. Soc. Geol. Ital.*, Roma, 12, 3, 267–278.

- BOCCALETTI, M., HORVÁTH F., LODDO, M., MONGELLI, F., STEGENA L., 1976: The Tyrrhenian and Pannonian basins: a comparison of two Mediterranean interarc basins. *Tectonophysics*, Amsterdam, 35, 1-3, 45-70.
- BODOKY T., JÁNVÁRY J., NEMESI L., POLCZ I., SZEIDOVITZ GY.-NÉ, 1977: Results of complex geological surveying in the Nyírség area, NE Great Hungarian Plain (in Hungarian with English abstract). *Ált. Földt. Szle*, Budapest, 10, 5-44.
- BODZAY I., 1975: A model of the geohistorical evolution of the Carpathian Basin. *Proc. Xth Congr. CBGA 1973, Sect. III. Tectonics, GÚDS Bratislava*, 46-58.
- Carte géologique de la République Socialiste de Roumanie, 1:1 000 000, 1967. Bucureşti.
- Carte tectonique internationale de l'Europe, 1:2 500 000, 1964. Moscou.
- CHANNELL, J. E. T., HORVÁTH F., 1976: The African/Adriatic promontory as a palaeogeographical premise for Alpine orogeny and plate movements in the Carpatho-Balkan region. *Tectonophysics*, Amsterdam, 35, 1-3, 71-102.
- CIOFLICA, G., SAVU, H., BORCOŞ, M., STEFAN, A., ISTARTE, G., 1973: Alpine volcanism and metallogenesis in the Apuseni Mountains. *Symp. Volc. Met.*, 1973, Guidebook ser. 13, Guide to Exc. 3 AB, Geol. Inst. Bucharest, p. 70.
- CSEREPESNÉ MESZÉNA B., 1978: On the Lower Pannonian basalts and Proterozoic migmatites uncovered by the hydrocarbon-exploratory borehole Kiskunhalas-Ny.-3 (in Hungarian with English abstract). *Földt. Közl.* Budapest, 108, 1, 53-64.
- DANILOVICH, L. G., 1974: O nekotorykh elementakh globalnoy tektoniki v evolutsii Karpatskoy geosinklinali (in Russian). *Geol. i Geohim. Gor. Iskop.*, Kiew, 40, 3-11.
- DANILOVICH, L. G., 1975: Magmatism Karpat i voprosy geodinamiki (in Russian). *Geol. i Geohim. Gor. Iskop.*, Kiew, 42, 3-13.
- DANILOVICH, L. G., 1976: O polozhenii zon subduktii v Ukrainskih Karpatah (in Russian). *Geol. i Geohim. Gor. Iskop.*, Kiew, 47, 53-58.
- DANK V., BODZAY I., 1971: Geohistorical background of the potential hydrocarbon resources of Hungary (in Hungarian with English abstract). *Magy. Tud. Akad. X. Oszt. Közl.* Budapest, 4, 2-4, 261-268.
- DEWEY, J. F., PITMAN III, W. C., RYAN, W. B. F., BONNIN, J., 1973: Plate tectonics and the evolution of the Alpine system. *Geol. Soc. Amer. Bull.*, New York, 84, 10, 3137-3180.
- DIMITRIJEVIĆ, M. D., 1974: Tectonics of the Dinarides: implications on Tertiary volcanism. *Acta Geol. Ac. Sci. Hung.*, Budapest, 18, 3-4, 457-464.
- DOLENKO, G. N., DANILOVICH, L. G., 1975: Novoe v uchenii o geosinklinaliia i ego prilozhenie k Ukrainskim Karpatam (in Russian). *Geol. Zhurnal*, Kiew, 35, 5, 3-9.
- DRUMIA, A. V., 1973: Geologicheskoe stroenie i seismichnost Vostochnogo Predkarpatia (in Russian). Avtoref. kand. diss., Kiew.
- EMBEY-ISZTIN A., 1978: On the petrology of spinell lherzolite nodules in basaltic rocks from Hungary and Auvergne, France. *Ann. Hist. Nat. Mus. Hung.*, Budapest, 70, 27-44.
- FYTIKAS, M., GIULLANI, O., INNOCENTI, F., MARINELLI, G., MAZZUOLI, R., 1976: Geochronological data on recent magmatism of the Aegean Sea. *Tectonophysics*, Amsterdam, 31, 1/2, T29-T34.
- Geological map of Hungary, 1:300,000, 1956. Budapest.
- Geomagnetic map of Hungary 1:500,000, 1966. Budapest.
- Geologická mapa ČSSR, 1:500,000, 1967. ÚÚG, Prague.
- Geologische Karte der Republik Österreich und seiner Nachbargebiete, 1:500,000, 1933. Wien.
- GIUSCA, D., BORCOŞ, M., LANG, G., STAN, N., 1973; Neogene volcanism and metallogenesis in the Gutai Mountains. *Symp. Volc. Met.* 1973, Guidebook ser. 11, Guide to Exc. 1 AB, Geol. Inst. Bucharest, p. 50.
- GOFSHTEIN, I. D., 1975: Karpaty kak ostrovnyaya duga (in Russian). *Geol. i Geohim. Gor. Iskop.*, Kiew, 42, 14-19.
- GYARMATI P., 1977: Intermediate volcanism in the Tokaj Mountains. *Magy. Áll. Földt. Int. Évk.*, Budapest, 58, 137-195.
- HERZ, N., SAVU, H., 1974: Plate tectonic history of Roumania. *Geol. Soc. Amer. Bull.*, New York, 85, 9, 1429-1440.
- HORVÁTH F., STEGENA L., GÉCZY B., 1975: Ensimatic and ensialic interarc basins: comments on "Neogene Carpathian arc: continental arc displaying the features of an island arc" by M. D. Bleahu, M. Boccaletti, P. Manetti and S. Peltz. *Journ. Geophys. Res.*, Washington, 80, 02, 281-283.
- IANOVICI, V., BORCOŞ, M., BLEAHU, M., PATRULIU, G., LUPU, M., DIMITRESCU, P., SAVU, H., 1976: Geology of the Apuseni Mountains (in Roumanian). Bucureşti, p. 631.
- JUHÁSZ Á., 1964: Beitrag zur Tiefengeologie des N-Teiles des Donau-Theiss Zwischenstromlandes (in Hungarian with German abstract). *Földt. Közl.*, Budapest, 94, 2, 184-193.

- JUHÁSZ Á., 1971: Tertiäre Vulkanite des Donau-Theiss Zwischenstromlandes (in Hungarian with German abstract). Földt. Közl. Budapest, 101, 1, 1–12.
- JUHÁSZ Á., KÓVÁRY J., 1964: Beitrag zur Tiefengeologie des Umgebung von Jászberény, Grosse Ungarische Tiefebene (in Hungarian with German abstract). Földtani Közl., Budapest, 94, 4, 459–464.
- KARIG, D., 1971: Origin and development of marginal basins in the Western Pacific. *Journ. Geophys. Res.*, Washington, 76, 11, 2542–2561.
- KISS J., 1951: On the question of the rhyolite in the Sárszentmiklós area, South of Budapest (in Hungarian with English abstract). Földt. Közl., Budapest, 81, 1–3, 81–86.
- KONEČNÝ, V., ŠEFARA, J., ZBOŘIL, L., 1975: Investigation of deep structures in the basement of Central Slovakian young volcanic region and their classification with respect to Neogene volcanism. *Proc. Xth Congr. CBGA 1973, Sect. III. Tectonics, GÚDŠ Bratislava*, 209–227.
- KÖRÖSSY L., 1956: Geological results of the petroleum prospecting activities on the Northern part of Tiszántúl (in Hungarian with English abstract). Földt. Közl., Budapest, 86, 4, 390–402.
- KÖRÖSSY L., 1959: The flysch-like formations of the Great Hungarian Basin (in Hungarian with English abstract). Földt. Közl., Budapest, 89, 2, 115–124.
- KÖRÖSSY L., 1963: Comparison between the geological structure of the basin regions of Hungary (in Hungarian with English abstract). Földt. Közl., Budapest, 93, 2, 153–172.
- KÖRÖSSY L., 1964: Tectonics of the basin areas of Hungary. *Acta Geol. Ac. Sci. Hung.*, Budapest, 8, 1–4, 377–394.
- KÖRÖSSY L., 1965<sup>a</sup>: Geologischer Bau des ungarischen Becken. Verhandl. Geol. Bundesanst., Wien, Sonderheft G, 36–51.
- KÖRÖSSY L., 1965<sup>b</sup>: Geologischer Bau des ungarischen Becken. *Zeitschr. Deutsch. Geol. Ges.*, Berlin-Hannover, 116, 2, 292–307.
- KÖRÖSSY L., 1970: Entwicklungsgeschichte der Neogene Becken in Ungarn. *Acta Geol. Ac. Sci. Hung.*, Budapest, 14, 1–4, 421–429.
- LEXA, J., KONEČNÝ, V., 1974: The Carpathian volcanic arc: a discussion. *Acta Geol. Ac. Sci. Hung.*, Budapest, 18, 3–4, 279–293.
- LORDKIPANIDZE, M. B., ZAKARIADZE, G. S., POPOLITOV, E. I., 1979: Volcanic evolution of the marginal and interarc basins. *Tectonophysics*, Amsterdam, 57, 1, 71–84.
- MÁRTON P., 1977: On the bases of paleomagnetic structural studies (in Hungarian with English abstract). *Magy. Geofiz.*, Budapest, 18, 5, 161–165.
- MERLICH, B. V., SPITKOVSKAYA, S. M., 1974: Glubinnye razlomy, neogenovyy magmatism i orudenie Zakarpatsia (in Russian). "Problemy tektoniki i magmatisma glubinnyh razlomov" tom 2, "Vyschha shkola", Lvov, p. 175.
- MIKHAYLOVA, N. P., GLEVASSKAYA, A. M., CYKORA, V. N., 1974; Paleomagnetism vulkanogennyh porod i rekonstruktsiya geomagnitnogo polia neogena (in Russian). "Naukova dumka", Kiew, p. 252.
- MILANOVSKIY, E. E., KORONOVSKIY, N. V., 1973: Orogennyy vulkanism i tektonika Alpiyskogo poyasa Evrazii (in Russian). "Nedra", Moscow, p. 279.
- NAUMENKO, V. V., GONCHARUK, A. F., 1969: K voprosu o polozenii generalnoy ploskosti skaly-vaniya v strukture Vostochnyy Karpat (in Russian). *Sow. Geol.*, Moscow, 12, 5, 26–34.
- NINKOVICH, D., HAYS, J. D., 1972: Mediterranean island arcs and origin of high potash volcanoes. *Earth Planet. Sci. Lett.*, Amsterdam, 16, 3, 331–345.
- PANTÓ G., 1962: The role of ignimbrites in the volcanism of Hungary. *Acta Geol. Ac. Sci. Hung.*, Budapest, 6, 3–4, 307–331.
- PHILLIPS, J. D., FORSYTH, D., 1972: Plate tectonics, paleomagnetism, and the opening of the Atlantic. *Geol. Soc. Amer. Bull.*, New York, 83, 6, 1579–1600.
- RĂDULESCU, D. P., PEŁTZ, S., STANCIU, C., 1973: Neogene volcanism in the East Carpathians (Călimani-Giurghiu-Harghita Mts). *Symp. Volc. Met. 1973, Guidebook ser. 12, Guide to Exc. 2 AB, Geol. Inst. Bucharest*, p. 69.
- RĂDULESCU, D. P., SĂNDULESCU, M., 1973: The plate-tectonic concept and the geological structure of the Carpathians. *Tectonophysics*, Amsterdam, 16, 3/4, 155–161.
- ROMAN, C., 1970: Seismicity in Roumania – evidence for the sinking lithosphere. *Nature*, London, 228, 5277, 1176–1178.
- ROMAN, C., 1971: Plate tectonics in the Carpathians – a case in development. *Observatoire Royal de Belgique, Bruxelles, Communications*, A – 13, sér. *Géophys.* 101, 37–40.
- ROZLOŽNIK, L., 1976: Position of the Alpine Metallogenesis in the western Carpathians in View of the Plate Tectonics (in Slovakian). "Československá geologia a globálna tektonika", Smolenice. Bratislava, 151–157.

- ROZLOŽNIK, L., 1979: West Carpathians and plate tectonics (in Hungarian with English abstract). Ált. Földt. Szle., Budapest, 12, 67–91.
- SMITH, A. G., 1976: Plate tectonics and orogeny: a review. *Tectonophysics*, Amsterdam, 33, 3/4, 215–286.
- STEGENA L., GÉCZY B., HORVÁTH F., 1975: Late Cenozoic evolution of the Pannonian basin. *Tectonophysics*, Amsterdam, 26, 1/2, 71–90.
- SZÁDECZKY-KARDOSS E., 1967: Considerations on the investigation of the deep structure and magmatotectonics of the Carpathian Basin system (in Hungarian). Magy. Tud. Akad. X. Oszt. Közl., Budapest, 1, 1–2, 41–65.
- SZÁDECZKY-KARDOSS E., 1971: Mechanism of the new global tectonics and its relations to the evolution of the Earth and life. Theses of the study introducing a discussion entitled "The Carpatho-Dinaride area from the point of view of the new global tectonics" (in Hungarian with English abstract). *Geonómia és Bányászat*, Budapest, 4, 1, 3–89.
- SZÁDECZKY-KARDOSS E., 1975: Jungalpine Subduktionslinien im KBD Gebiet. Proceedings of the Xth Congress of the CBGA, 1973, Section III. *Tectonics. Geol. Ústav D. Štúra*, Bratislava.
- SZÁDECZKY-KARDOSS E., PANTÓ Gy., PÓKA T., PANTÓ G., SZÉKY-FUX V., KISS J., KUBOVICS I., 1967: Die Neovulkanite Ungarns. *Acta Geol. Ac. Sci. Hung.*, Budapest, 11, 1–3, 161–180.
- SZEPESHÁZY K., 1973: Upper Cretaceous and Paleogene formations of the northern part of the Great Hungarian Plain (in Hungarian). Akad. Kiadó, Budapest, p. 96.
- SZEPESHÁZY K., 1977: Mesozoic igneous rocks of the Great Hungarian Plain (in Hungarian with English abstract). Földt. Közl., Budapest, 107, 3–4, 384–397.
- SZEPESHÁZY K., 1979: Structural and stratigraphic connections between the basement of the Great Hungarian Plain, East of River Tisza and the Apuseni Mountains in Western Transylvania (in Hungarian with English abstract). Ált. Földt. Szle., Budapest, 12, 121–198.
- SZÉKYNÉ FUX V., 1957: Daten zum Vulkanismus des Transdanubischen Becken (in Hungarian with German abstract). Földt. Közl., Budapest, 87, 1, 63–68.
- Tectonic map of the Carpathian–Balkan mountain system and adjacent areas, 1:1,000,000, 1973, CBGA Tect. Comiss., Prague; GÚDŠ Bratislava; UNESCO
- Tectonics of the Carpathian–Balkan regions (editor: M. MAHEL'), 1974. CBGA Comiss. for Tect., GÚDŠ Bratislava, p. 455.
- THORPE, R. S., FRANCIS, P. W., 1979: Variations in Andean andesite compositions and their petrogenetic significance. *Tectonophysics*, Amsterdam, 57, 1, 53–70.
- VARGA Gy., CSILLAGNÉ TEPLÁNSZKY E., FÉLEGYHÁZI Zs., 1975: Geology of the Mátra Mountains (in Hungarian with English abstract). Magy. Áll. Földt. Int. Evk., Budapest, 57, 1.
- VARGA, I., 1978: Paleoalpine geodynamics of the Western Carpathians. *Miner. Slov.*, Bratislava, 10, 5, 385–441.
- VICZIÁN I., 1965: Basalt aus Komitat Baranya (in Hungarian with German abstract). Földt. Közl., Budapest, 96, 4, 448–452.
- VÖLGYI L., 1959: Neue geologische Ergebnisse der Erdölforschung in der Grossen Ungarischen Tiefebene (in Hungarian with German abstract). Földt. Közl., Budapest, 89, 1, 37–51.
- WEIN Gy., 1969: Tectonic review of the Neogene-covered areas of Hungary. *Acta. Geol. Ac. Sci. Hung.*, Budapest, 13, 1–4, 399–436.
- WEIN Gy., 1973: Zur Kenntnis der tektonischen Strukturen im Untergrund des Neogens von Ungarn. *Jahrb. Geol. Bundesanst.*, Wien, 116, 85–101.
- WEIN Gy., 1978<sup>a</sup>: Alpine-type tectogenesis of the Carpathian Basin (in Hungarian with English abstract). Magy. Áll. Földt. Int. Évi jel. 1976. évről, 245–256.
- WEIN Gy., 1978<sup>b</sup>: Outlines of the development of the Carpathian Basin (in Hungarian with English abstract). Ált. Földt. Szle., Budapest, 11, 5–34.
- ZONENSHAIN, L. P., KUZMIN, M. I., MORALEV, V. M., 1976: Globalnaya tektonika, magmatism i metallogeniya. "Nedra", Moscow, p. 231.

## A NEOGÉN VULKANITOK JELENTŐSÉGE ÉS PROBLEMATIKÁJA A KÁRPÁTI RÉGIÓ GEODINAMIKA REKONSTRUKCIÓJÁBAN

### Bevezetés

A Kárpáti régió neogén vulkanitjait régóta két szériába sorolják, amelyek: a mészalkáli (andezit, dacit, riolit) és az alkáli-bazaltos vulkanitok. A lemeztektonikai elmélet alapján adott értelmezések túlnyomórészt abból a régóta megfogalmazott gondolatból indulnak ki, hogy a kárpáti régió mészalkáli vulkanizmusa a mai szigetivek vulkanizmusának analógja. E felfogásnak két fő típusát dolgozták ki:

1. Az elsőszorban román és olasz kutatók [BLEAHU et al. 1973, BOCCALETI et al. 1973<sup>a</sup>, 1973<sup>b</sup>, RĂDULESCU–SĂNDULESCU 1973] által képviselt álláspontra az alábbiak jellemzőek:

1.1. Gyakorlatilag valamennyi vulkanit egységes ívet képez, amely Közép-Szlovákiától Észak-Magyarországon, Kelet-Szlovákián, Szovjet Kárpátján és Észak-Romániai át egészen a Hargita-hegységig tart (1. ábra).

1.2. Ez az ív a Kárpáti gyűrt rendszer belső oldalán húzódik s ugyanazokkal a szubdukciós folyamatokkal kapcsolatos, amelyek eredménye maga a Kárpátok.

1.3. E szubdukció során annak a medencének az óceáni vagy szubóceáni kérge tűnt el, amelyben a Külső-Kárpátok flise felhalmozódott.

1.4. Az alkáli-bazalt vulkanizmus a mészalkáli téren váltja fel, az ív belső oldalához kötőve, s az ívközi medencék spreadingjével kapcsolatos magmatizmus analójának tekinthető.

2. A szovjet kutatók felfogása szerint az 1. pontban felsoroltak a Vihorlát—Gutin és a Kelemen—Hargita hegyláncokra érvényesek, az idősebb (miocén) vulkanitok már más folyamatokkal állnak kapcsolatban [NAUMENKO—GONCHARUK 1969, GOFSHEIN 1975], nevezetesen a Kárpátok ivén belül lejátszódott szubdukciójával [DANILOVICH 1974, 1975, 1976, DOLENKO—DANILOVICH 1975]. Ugyanezt az állásPontot képviseli SZÁDECZKY-KARDOSS E. [1971] is, aki elsőként adott vázlatos képet a tercier szubdukciós övekről és a velük kapcsolatos vulkán-sorokról [1975] (2. ábra).

A kárpáti neogén vulkanizmusnak ugyancsak lemeztektonikai alapon más értelmezése is létezik. Köpeny-diapirral való kapcsolat lehetőségét vetette fel korábban SZÁDECZKY-KARDOSS E. [1967]. A köpenydiapir modellt részletesebben STEGENA et al. [1975] dolgozták ki, szövegükben nyíltva hagyva azt a kérdést, hogy a mészalkáli vulkanizmus köpeny-diapirhoz vagy szubdukcióhoz kapcsolódik-e, de ezt a kijelentést olyan rajzzal (3. ábra) kísérve, amely állásfoglalásnak is tekinthető. A mészalkáli magmatizmusnak köpeny-diapirral fennálló kacsolatát valószínűsítette ROZOŽNIK [1976, 1979], LEXA—KONEČNÝ [1974] pedig részletes petrogenetikai modell kidolgozásával hangsúlyozta. E felfogásra az alábbi feltevések jellemzők:

2.1. A mészalkáli vulkanitok egy, a Kárpáti gyűrt rendszer ívével határolt areált képeznek (4. ábra).

2.2. Ez az areál nem mutat világos kapcsolatot a Kárpáti hegyrendszer tektonikájával, s képződése az utóbbit mentén lejátszódott szubdukciójával csak közvetett kapcsolatban áll, köpenydiapiron keresztül (3. ábra).

2.3. A Külső-Kárpátok flis-medencéjének jellege a neogén vulkanizmus szempontjából nem bír jelentőséggel.

2.4. Az alkáli-bazalt vulkanizmus időben váltja fel a mészalkálit, ami azzal kapcsolatos, hogy a miocén és pliocén határán a Kárpáti régióban az általános kompressziót általános tenzió váltja fel egy ívközi medence kialakulásának kezdetétől. Megjegyezzük, hogy a mészalkáli magmatizmus egyetlen analógiájának az USA nyugati részén levő Medencék és Hegyláncok Vidékét tekintik [STEGENA et al. 1975] vagy pedig analógiára egyáltalán nem hivatkoznak [LEXA—KONEČNÝ 1974].

A vázolt irányzatoknak néhány fontos közös vonásuk van:

1. Elismерik a mészalkáli vulkanitok petrokémiai hasonlóságát a szigetivekkel, továbbá valamilyen kapcsolatukat szubdukciós folyamatokkal.

2. Az alkáli bazaltokat az ívközi Pannon medence képződésével hozzák kapcsolatba.

A szigetiv-analógiát és a köpeny-diapirral való kapcsolatot hirdető felfogások között az alábbi fő különbségek vannak:

a) ott, ahol a szigetiv-komplexumokkal való analógia hívei ívet vagy íveket ismernek fel, a köpeny-diapir hívei areált látnak;

b) ott, ahol az első irányzat követői a mészalkáli magmatizmusnak alkáli-bazaltossal való felváltását *térbeli*nek vélik, a második irányzat követői *időbeli* váltást konstatálnak.

Így tehát a véleménykülönbségek lényege a *vulkanizmus tér—idő törvényszerűségeinek* eltérő felfogására vezethető vissza.

A különböző kutatók által felhasznált anyagok összevetéséből az alábbi következtetések vonhatók le:

1. minden kutató gyakorlatilag ugyanazon információkra támaszkodik; ezek nem sokkal bővebbek azon objektumok esetében, amelyek tanulmányozásában az egyes kutatók közvetlenül részt vettek.

2. Az „ív vagy *areál*?” kérdésnek több aspektusa van. A szigetiv-analógia híveinek első csoportja figyelmen kívül hagyja a fedett területek, elsősorban a Nagyalföld vulkánosságát (1. ábra). A szigetiv-analógia híveinek második csoportja és a köpeny-diapirral való kapcsolat híve ezeket az adatokat is figyelembe veszik, de még az elsők itt is íve(ke)t vélnek felismerni, az utóbbiak ezeket egységes *areál* (4. ábra) bizonyítékaként fogják fel. A köpeny-diapirral való kapcsolat hívei nem vesznek tudomást arról, hogy a Kárpáti vulkanitok egy része határozott sorokba (Vihorlát—Gutin, Kelemen—Hargita, Eperjes—Tokaj) rendeződik.

3. A mészalkáli és alkáli-bazaltos vulkanizmus viszonyának kérdésében a térbeli váltást elsősorban a Kelemen—Hargita hegylánc (Románia) mészalkáli vulkanitjainak fiatal korára alapozzák, amelyek gyakorlatilag egykorúak a Pannon medence alkáli bazaltjainak túlnyomó többségével. Az időbeli váltást szlovákiai és magyarországi adatokkal támasztják alá, ahol valamennyi mészalkáli vulkanit idősebb valamennyi alkáli bazaltnál.

Így tehát a Kárpáti régió neogén vulkanizmusa határozottan *kettőst jellegű* legalább két fontos vonatkozásban:

1. A mészalkáli vulkanizmus részben areálisan, részben határozott sorokban jelentkezik.

2. A mészalkáli vulkanizmust részben időben váltja fel az alkáli-bazaltos, részben azonban a kettő a régió különböző területein egyidőben jelentkezik.

## II. A neogén magmatizmus törvényszerűségei

A neogén magmatizmus főbb törvényszerűségeivel nemigen jöhetünk tisztába anélküli, hogy e kettősséget figyelembe vennének és megmagyaráznánk. Ennek kulcsául azt véljük, hogy elvetjük a mészalkáli vulkanizmus tér- és időbeli egységről kialakult felfogását és csatlakozunk a szigetiv-analógia hívei második csoportjának [NAUMENKO—GONCHARUK 1969; SZÁDECZKY-KARDOS 1971, 1975, DANILOVICH 1974, 1975, 1976, GOFSHTEIN 1975, DOLENKO—DANILOVICH 1975] véleményéhez. Valóban: a vulkán-láncok világos korrelációt mutatnak a Kárpáti hegységekkel, mint a többi vulkán nem áll vele kapcsolatban, bár teljes egészében az általa kepezett iven belül helyezkedik el. Így tehát a mészalkáli vulkanitok elterjedési területén két fő elemet kell kijelölünk: a Keletkárpáti vulkáni övet és a Belsőkárpáti vulkáni areált [BALLA et al. 1977a]. Rétegtani adatokhoz fordulva, konstatálhatjuk: az öv vulkanitai javarésti pliocén—pleisztocén korúak, miközött a miocénbe tartoznak, vagyis e képződmények különböző időben keletkeztek.

### *A Keletkárpáti vulkáni öv*

A szigetivékkal való analógiáról alkotott felfogás a Keletkárpáti vulkáni övre vonatkozó adatok alapján keletkezett. Ellenőrizzük vele kapcsolatban az ezen *analógia ellen felhozott* érveket [LEXA—KONEČNÝ 1974]:

1. A kárpáti vulkanizmus szaggatott és szabálytalan formában jelentkezik, a szigetivekétől eltérően: világos, hogy ez az érv nem vonatkozhat a Vihorlát—Gutin és a Kelemen—Hargita gyakorlatilag folyamatos vulkán-láncaira.

2. A vulkanitok semmiféle összetételebeli változást nem mutatnak a korábbi Benioff-öv csapására merőleges irányban: mivel a vulkáni öv szélessége kicsi, ilyen változást nemigen várhatunk.

3. Szelvénnyben szelfelé általános kálium-tartalom csökkenés figyelhető meg fixált kovasav-koncentráció mellett a szigetivekben megfigyelhető növekedés helyett: a Kelemen—Hargita hegylánc esetében ezt a csökkenést a szerzők saját adatai (5. ábra) sem igazolják, sőt a Gutin hegységen adatok szerint éppen hogy növekedés észlelhető (6. ábra), a Kelet-Szlovákiára, Szovjet Kárpátaljára és Eszak-Magyarországra vonatkozó adatok (7. ábra) pedig nem meggyőzők, mivel itt az ív és az areál adatai keverednek.

4. A vulkanizmust az aktív szubdukciótól 15—20 millió éves időintervallum választja el, míg a szigetiveken azok szigorúan egyidejűek: ez az érv arra a feltevésre alapozódik, hogy az utolsó szubdukción a miocén elejére befejeződött. A szigetiv-analógia hívei szerint azonban a Keleti Kárpátok déli végén a szubdukción ma is folyik; e felfogás címétől a nélkül az adott ellenvetés nem meggyőző.

5. A vulkanizmus időben a Benioff-öv felszínre-lépése felé migrál, míg a szigetivekben többnyire fordított jelenség figyelhető meg: ez az érv az egész vulkanizmus egységesessége van alapozva; amint feljebb rámutattunk, ez a feltevés nem állja meg a helyét, s így nem helytálló maga az érv sem.

Így tehát a Keletkárpáti vulkáni övnek szigetivekkel való analógiája ellen felhozott érvelés tárgyalannak bizonyult. Ugyanakkor az ezen analógia mellett felhozott érvek [NAUMENKO—GONCHARUK 1969, DRUMIA 1973, BLEAHU et al. 1973, GOFSHTEIN 1975] érvényben maradtak: összetételük tekintve a keletkárpáti vulkanitok a szigetiv-beliüknek analógjai, s a Keleti Kárpátok szerkezeti együttesének harántszelvénynében a szigetivekkel együttjáró jellemző elemek analógjai ismerhetők fel: az alátolódó lemez vízszintes része (Orosz tábla), mély árok (Kárpáti előméllységi), külső amagmatikus kiemelkedés (Keletkárpáti gyűrt rendszer), belső vulkáni iv (Keletkárpáti vulkáni öv) és ívközti medence (Erdélyi és Pannon). Ezért úgy vélik, a Keletkárpáti vulkáni öv teljes joggal tekinthető a szigetivek analógjának.

Mindebből két rendkívül fontos következtetés vonható le [ROMAN 1970, 1971; BLEAHU et al. 1973, BOCCALETI et al. 1973<sup>a</sup>, 1973<sup>b</sup>; RĂDULESCU—SĂNDULESCU 1973, HERZ—SAVU 1974]:

1. A szubdukción a Kárpátok mentén, de legalábbis keleti szegmensük mentén, nem a miocén elejére fejeződött be, hanem az egész pliocén és pleisztocén alatt folyt, a legdélebbi szakaszson napjainkig terjedő aktivitással. Eme szubdukción öv felszínre lépése nem a Szirtövre vagy annak szerkezeti ekvivalenseire esik, hanem a Kárpáti előméllység tengelyére (8. ábra).

2. A szubdukción során annak a medencének az óceáni vagy szuboceáni kérge nyelődött el, amelyben a külsökárpáti flis felhalmozódott.

#### A Kárpáti régió alkáli bazaltjai

Legnagyobb általánosságban úgy vélik, hogy az alkáli-bazaltos vulkanizmus a Pannon-medencéhez kötődik (9. ábra). Mivel ezen utóbbi valóban számos rokonvonást mutat az ívköziekkel [BLEAHU et al. 1973, BOCCALETI et al. 1973<sup>b</sup>, 1976, STEGENA et al. 1975, HORVÁTH et al. 1975], elsősorban az ilyen típusú medencék magmatizmusával való analógia vetődik fel. Azonban nem szabad megfeledkeznünk egyről, hogy alkáli bazaltok előfordulhatnak [ZONENSHAIN et al. 1976]:

- a) szigetivek hátulsó részén, laterális átmenetekkel mészalkáli vulkanitok felé;
- b) szigetiv-együttesekkel való bármilyen kapcsolat fennállása nélkül — a kontinentális litoszféra felszakadási területein vagy az ún. „forró pontok” környékén.

Így tehát négyféle geodinamikai környezettel kell számolnunk, amely meghatározhatja alkáli bazaltok megjelenését és elhelyezkedését; ezek a következők: szigetiv vagy analógia, ívközti medence, kontinenesen belüli akkréciós litoszféra-lemezszerzégi és forró pont. Eleve egyik sem zárátható ki, azonban az előadottak fényében csak az utóbbi kettőn érdemes megállunk. A Pannon-medencébeliekhez hasonló bazaltok, részben ugyanolyan korúak is, az alpi Európán kívül is előfordulnak (10. ábra). A legutóbbi adatok [EMBEY-ISZTIN 1978] szerint számos rokonvonás figyelhető meg a Balaton-felvidék és Közép-Franciaország alkáli bazatjai között, úgyhogy átfogó elemzés nélkül nem lehetünk biztosak abban, hogy az alkáli bazaltok kapcsolata a Pannon-medencével genetikai jellegű.

Nem zárátható ki annak lehetősége sem, hogy különböző bazaltok különböző folyamatokkal kapcsolatosak, ezért részletes petrokémiai és különösen geokémiai vizsgálatok lefolytatásáig szigorúan véve nincs alapunk arra, hogy a Kárpáti régió alkáli bazaltjainak geodinamikai helyzetét megitéljük.

#### Belsökárpáti vulkáni areál

Láttuk, hogy a szigetiv-analógia hívei nem vették tekintetbe a Nagyföld vulkanizmusát és nem fordítottak figyelmet arra, hogy a Keletkárpáti vulkáni övből kilépe megváltozik a vulkánok eloszlásának jellege, továbbá a vulkanitok összetétele és kora, ezért elgondolásuk eme vulkanizmusnak ugyanazon szubdukción övvel való kapcsolatáról valóban kevésbé meggyőzőnek látszik. Ez azonban nem kell, hogy azt jelentse: egyáltal elvethetjük a szigetiv-komplexumokkal való analógiát is. Ezért vizsgáljuk meg a Belsökárpáti vulkáni areál vonatkozásában az ezen analógia ellen felhozott érveket [LEXA—KONEČNÝ 1974]:

1. A vulkanizmus térbeli szaggatottsága: távolról sem minden szigetiv folyamatos; ahhoz, hogy erről meggyőződjünk, elegendő emlékezetünkbe idéznünk a Kárpátoktól nem is olyan messze eső Kalábriai (11. ábra) és Hellén (12. ábra) szigetivet a Földközi-tengerben.

2. Összetétel-változás hiánya az ívre merőlegesen: ezen ellenvetés során egyetlen szubdukciós övé létezésből indulnak ki és teljesen figyelmen kívül hagyják több ilyen övé létezésének lehetőségét.

3. A közétek káliumtartalmának csökkenése a szelvénnyel felfel haladva: elég világosan csak Közép-Szlovákiában figyelhető meg (13. ábra), míg például az Erdélyi-középhegységben a kép inkább fordított (14. ábra), s nincs bemutatva megfelelő anyag Kelet-Szlovákiára, Szovjet Kárpátjára és Magyarországra vonatkozóan; ezért általános törvényszerűségnak tekinteni az észlelt jelenséget nemigen lehetőséges.

4. A szubdukció és a vulkanizmus közötti 5—10 millió éves időkülönbség: ez a Szirtövbeli szubdukcióra vonatkozik, amely, amint azt már a Keletkárpáti vulkáni övé esetében is láttuk, nem az egyetlen lehetőség.

5. A vulkánosság centrifugális migrációja: az előadott anyagokban a Belsőkárpáti vulkáni területén csak az Észak-Magyarországon és Közép-Szlovákián áthúzódó közel észak-dél irányú sávban vehető észre (13. ábra), de nem általában, hanem csakis a Kárpáti hegymrendszer menti szubdukcióban ellentmondóan.

A felhözött ellenőrök tehát nem cáfolják a Kárpáti régió miocén korú mészalkáli vulkanitainak kapcsolatát szubdukciós folyamatokkal. Ha e kérdéshez *aktualisztikus alapon* állunk, meg kell jegyezniük: a Belsőkárpáti vulkáni területen ismereteink szerint az egész Földön egyetlen lenne, ahol mészalkáli, egészében véve meglehetősen savanyú magmatizmus nem közvetlen, hanem valamiféle közvetett kapcsolatban állna szubdukciós folyamatokkal és övekkel és ahol azt köpeny-diapir váltaná ki. Az USA nyugati része és tekintetben nem összehasonlítható alap, mivel a megfelelő vulkanitok ott nem andezites, hanem bazaltos összetételek (15. ábra).

Úgy vélik tehát, hogy a Belsőkárpáti területen miocén korú mészalkáli vulkanitai *szubdukciós folyamatokkal* álltak közvetlen kapcsolatban s hogy kérdéses csak az, hol jelentkeztek ezek a folyamatok. A rendelkezésre álló adatok alapján tisztázódott, hogy a miocén vulkanizmus egy NyDNy—KÉK csapású savhoz kötődik, amely a pre-neogen képződmények szerkezetével konkordáns [WEIN 1969, 1973, KÖRÖSSY 1970, BALLA et al. 1977<sup>a</sup>] és a Keletkárpáti vulkáni övre csaknem merőleges (16. ábra). Eme sáv meglehetősen éles déli szegélye mentén húzódik a Nagyalföld Flisöve [KÖRÖSSY 1959, SZEPESHÁZY 1973]. Tőle délre követhető a Középmagyarországi Ofiolit-öv [SZEPESHÁZY 1977].

Ez az együttes: ofiolitok, flis és mészalkáli vulkanitok — már önmagában véve is rendkívül figyelemreméltő s rögtön azzal a gondolatot indukálja, hogy valahol ott *ösi litoszféra-lemezhatár* húzódik. Ilyen határ, vagy legalábbis szerkezeti-formációs övek közötti határ létezhet gyakorlatilag minden kutató elfogadja (KÖRÖSSY 1963, 1964, 1965<sup>b</sup>, BALOGH—KÖRÖSSY 1968. WEIN 1969, 1973, 1978<sup>a</sup>, 1978<sup>b</sup>, DANK—BODZAY 1971, Tectonics... 1974, BODZAY 1975, SZEPESHÁZY 1977, 1979, VARGA 1978).

Ebben a helyzetben teljesen természetes feltételeznünk: az e határ mentén jelentkező mészalkáli vulkanizmus a délre eső lemez szubdukciójáról tanúskodik. A Keletkárpáti vulkáni övhöz hasonlóan itt is adódik a következetettség, hogy a szubdukció előtt *oceáni vagy szuboceáni kérgű medence* létezett, amelyben a flis felhalmozódott. Mivel a Nagyalföld flise gyakorlatilag egykorú Külső Kárpátokéval, igencsak valószínűnek tűnik, hogy ezek ugyanazon medence különböző részeiből keletkeztek.

Így tehát a Kárpáti régió miocén vulkanizmusa teljesen közönséges jelenségeknek tekinthető, amely nem igényli semmiféle különleges petrogenetikai vagy geodinamikai modell kidolgozását. Más kérdés, hogy távolról sem minden jellegzetessége világítható meg ma a kívánt részletességgel és pontossággal. Ezen a területen valóban van *egy sor nehézség*.

1. A Középmagyarországi Ofiolit-övtől délre eső területek miocén vulkánosságának magyarázata. Ezek közül az Apuseni-hegység a leginkább tanulmányozott. Tőle délre jön elő a Maros-menti ofiolit- és flis-öv, úgy hogy az együttes ugyanaz, mint az előző esetben; a következetettség csak ugyanaz lehet: ezek a vulkanitok saját szubdukciós övükkel kapcsolatosak, amely egészében véve az Erdélyi mikrolemezt válásztja el a Déli-Kárpátitól. A helyzet valószínűleg hasonló Észak-Jugoszlávia javarészt fedett és ezért gyengébben tanulmányozott miocén vulkanitainak esetében is.

2. A káliumtartalom emelkedésének hiánya a feltételezett szubdukciós övtől való távollodással és általában véve jelentősebb különbségek hiánya az egyes területek között a vulkanitok káliumkoncentrációiban [LEXA—KONEČNÝ 1974]. Véleményünk szerint e kérdés vizsgálata az alábbi okok miatt nem megfelelő szintű:

a) A vegyelemzések jelentős része meglehetősen régi, emellett változatos anyagon készült, amelyet gyakran minden céltudatosság nélkül gyűjtötték. Mind a minták, mind az elemzések reprezentativitása ezért igen alacsony.

b) Az elemzések megoszlása rendkívül egyenlőtlen: egyes területekről százával vannak, másokból csak néhány.

A fő riolit-törzsből, amelyben a miocénkori vulkáni anyag túlnyomó része tömörül [PANTÓ 1962, SZÁDECZKY-KARDOSS et al. 1967], egészében véve sem gyűjthető össze néhány szor tiznél több publikált elemzés, amely legalább az illőanyag-tartalom tekintetében elfogadható lenne.

c) Elemezések összevonása olyan területegységenként, amilyen Közép-Szlovákia, Észak-Magyarország vagy pedig az Eperjes-Tokaji hegylánc-Zempléni hegység—Vihorlát, vagy pedig egész Szovjet Kárpátalja, annyit jelent, hogy eleve feltételezzük bármilyen változás hiányát ezeken a területeken belül, amelyek méretei teljesen elegendők a kálium-zonáció megjelenéséhez. Ezzel együtt eleve elvetődik az a lehetőség, hogy különböző egységek különböző szubdukciós övekkel kapcsolatosak. Pedig az olyan határozott, bár kisméretű vulkáni ív, amilyen az Eperjes-Tokaji, nyugodtan kapcsolatban állhat önálló szubdukciós övvel.

3. Nincs elfogadható magyarázat arra, hogy konkrét területeken csak meghatározott típusú andezit-vulkánok jelennék meg, amelyek különböznek a más területen levőktől. Így pl. Észak-Magyarországon és Közép-Szlovákiaiban főleg nagyméretű sztratovulkánok vannak, az Erdélyi-középhegységben aprók, amelyek mindenkor esetben látható szabályszerűség nélkül helyezkednek el, még pl. az Eperjesi vonulatban határozott sort alkotnak.

4. A riolit és andezit megfigyelhető viszonyának magyarázata, vagyis annak, hogy a riolit főtömege közvetlenül a szubdukciós öv mentén helyezkedik el, még az andezit ezt váltva javarészét távolabb. Általánosságban véve ignimbrit-fácius riolit tömeges megjelenése szubdukciós övek felett nem is olyan ritka jelenség. A fiatalkorú vulkanizmus területeire példaként Észak-Chileit, Észak-Mexikót és Új-Zélandot említhetjük meg. Megjegyezzük, hogy ezeken a területeken is mind a mai napig megoldatlan az a kérdés, miért van egyes szakaszokon riolit, miközött más szakaszokon hiányzik [THORPE-FRANCIS 1979]. Számunkra azonban jelenleg elegendő az ignimbrit-mezők közvetlen kapcsolatának ténye Benioff-övekkel, ami az aktuálisztikus interpretáció alapját képezi.

5. A miocén vulkanitok egymáshoz viszonyítva jelentős vízszintes elmozdulásainak lehetősége. Egyebek közt erre mutatnak a mindenkor kisszámú paleomágneses vizsgálatok eredményei, amelyek az átlagos deklináció és inklináció tekintetében eltérést bizonyítanak a Börzsöny, Cserhát, Mátra és Tokaji hegység között (I. táblázat), valamint az úrfényképek értelmezési adatai, amelyek alapján a Mátrában belül nagyméretű vízszintes eltolódás törtézhető fel (17. ábra). A miocén utáni elmozdulások minden vulkánok vagy részeik egymáshoz viszonyított elhelyezkedését, mind a kálium-zonációt megbolygathatták.

Nehézség még valószínűleg sok lesz, azonban, amint azt a felsoroltak példáján igyekeztünk bemutatni, ezek nem elvi jellegűek, hanem csak olyanok, amelyekkel gyakorlatilag bármilyen földtani kérdés megoldása során szembekerülünk.

### III. Következtetések a Kárpáti régió fejlődéstörténetére

A neogén mészalkáli vulkanizmus arról tanúskodik, hogy a miocén előtt szubdukcióra képes óceáni vagy szuboceáni kérgű medence létezett; ebben valószínűleg turbidites szedimentáció folyt. E medence körülönbeli a mai szerkezetben csak északon és keleten sejthetők, a Kárpáti gyűrű rendszer lefuttatja alapján. A nyugati és déli határon fekvő területek valószínűleg mikrolemezekre töredéztek, amelyek jelenleg egymáshoz képest jelentősen elmozdult helyzetben vannak, esetleg el is fordulva, úgy hogy speciális vizsgálat nélkül a határ rekonstruálása elközpélhetetlen.

A koramiocén ősföldrajz ilyen képe nyilvánvaló ellenvetéseket vált ki a térbeli lehetőségek tekintetében, mivel a Dinaridák, az Alpok, a Cseh masszívum, a Lengyel és Orosz tábla, Dobrudzsa és a Moesiai tábla gyakorlatilag zárt merev keretet képez, amelyen belül ma, lehetőséges, hogy mozaikszerűen, de mindenkorban csak kontinentális kérgű, mikrolemezek vannak. Úgy tűnik azonban, hogy a neogénre vonatkozóan a kapcsolat merevsége csak a Cseh masszívum, a Lengyel tábla, az Orosz tábla és Dodrudzsa között kétségtelen; nincs látható okunk feltételezni azt sem, hogy a neogén eleje óta az Alpok kelet-nyugati irányban elmozdultak volna a Cseh masszívumhoz viszonyítva. Ami azonban a Dinaridákat és a Moesiai táblát illeti, legalábbis határaiaknak egyes szakaszai ma is aktivák, amit cífolhatatlanul bizonystanak a földrengések.

Azt, hogy a Dinaridák mai helyükét délről, a Moesiai tábla pedig keletről való mozgással fogalta el, gyakorlatilag valamennyi rekonstrukcióban elfogadják [DEWEY et al. 1973, CHANNELL-HORVÁTH 1976, VARGA 1978]. Az a kérdés, mikor történt ez. Úgy gondoljuk, hogy az intenzív neogén mészalkáli vulkanizmus a Dinaridák keleti határa mentén (18–19. ábra) erős kelet-nyugat irányú „terravidülés”-re mutat, az Égei tenger környékének alsó miocén mészalkáli és középső miocén–alsó pliocén alkáli-bazaltos magmatizmusa [FYTIKAS et al. 1976] pedig igen élénk és változékon geodinamikai aktivitásra mutatott.

Igy tehát minden alapunk megvan ahhoz, hogy feltételezzük: a Kárpáti régió keretének délnyugati és/vagy déli bezáródása nem a neogén előtt, hanem a neogénben ment végbe. E folyamat rekonstruk-

cíja további kutatások feladata. Számunkra jelenleg csak az fontos, hogy a térrrel nincs elvi jellegű nehézség és hogy a mozgások rekonstrukciójának útja éppen déli irányban nyílik meg, amerről — a Középmagyarországi és a Marosi szubdukciós öv polaritásából itélve — a Pannon medence jelenlegi aljzatát képező mikrolemezek a miocénben mozoghattak.

A Kárpáti régió geodinamikai állapotában a miocén és pliocén határára eső törést régóta jelzik, de annak értelmét még a legújabb munkákban [STEGENA et al. 1975, CHANNEL—HORVÁTH 1976] is ugyanabban lájták, mint korábban: kompresszió tenzióval való felváltásában. Pedig pliocén—negyedkorú tágulást csak a Pannon medencére tételeznék fel, elfejeztve, hogy ezzel egyidőben a Keleti Kárpátkörben kompresszió (szubdukció) van. S ha szigorúan tartjuk magunkat a lemeztektonikai elmélet fogalmainak értelméhez és a Pannon medencét ívközinek tekintjük, világosan kell látnunk: regionális értelemben változatlanul kompresszió uralkodik, s a Pannon medence úgynevezett általános extenziója csak helyi jelenség lehet a szubdukciós öv háttérében. Ezért az említett törést regionális vetületben nem kompresszióan extenzióba váltásaként, hanem a kompresszió irányának közel észak-déliből közel kelet—nyugatig alakulásaként értelmezhetjük.

Ez a változás nagy vonalakban a következőképpen folyhatott le: a miocénben az óceáni vagy szuboceáni kérűgű északkeleti medence nyugati részére óceáni vagy szuboceáni litoszférába forrott kontinentális mikrolemezek nyomultak. Mindaddig, amíg a Déli Kárpátkortól a Tátraig el nem tűnt a szubdukciós képes óceáni vagy szuboceáni kérereg „térrövidülés” játszódott le ebben az irányban. Ennek során a medence keleti része abban az esetben maradhatott nyitva, ha a Moesiai tábla már a miocén elején nyugat felé kiugrott az Orosz platform délnyugati széléhez képest, megvédve a déli felől közvetlen bezáródástól ezt a medencerészt. Ebben az esetben a deformációs tér megváltozásához a miocén—pliocén határ környékén nem szükséges semmiféle változás a Kárpáti régió kívül: amikor közel észak-déli szelvényben a kontinentális mikrolemezek érintkezésbe lépnek egymással és a merev kerettel (Cseh mészivum — Lengyel tábla), kitölthet ezt az egész szelvényt, ugyanazon általános mozgás hatására kelet felé, vagyis az óceáni vagy szuboceáni kérűgű medence megmaradt része felé kezdenek eltérődni.

A deformációs tér megváltozásának egyes részletei azon egyetlen körzet adataival világíthatók meg, ahol a Belsőkárpáti áreai közvetlen kontaktusba lép a Keletkárpáti vulkáni övvel; ezek: Szovjet Kárpátkörüljárás és Szlovákia, valamint Magyarország és Románia határos vidékei. A Vihorlát—Gutin hegyláncban az areál és az öv képződményei egymás fölött láthatók, jelentősebb időbeli megszakítások jele nélkül [MERLICH—SPITKOVSKAYA 1974]. Az Eperjes—Tokaji ív köztes csapása valószínűleg azt jelzi, hogy a deformációs tér átrendeződése térben is folyamatos volt, bár az ív helyzetét későbbi előtolódások is befolyásolták.

Továbblépve, a Keleti Kárpátok mentén három szegment különíthetünk el (8. ábra): a Vihorlát—Gutin vulkáni láncot, a Kelemen—Hargita vulkáni láncot és a Vrancea szeizmikus övet. Az első hegylánc kora, nagysármú abszolút kor-adat alapján [MERLICH—SPITKOVSKAYA 1974, MÍKHAYLOVA et al. 1974] a miocén végére — pliocén elejére tehető; a második lánc a pliocén végén — pleisztocén elején képződött [RĂDULESCU et al. 1973], a Vrancea-öv ma aktív [ROMAN 1970], vulkanizmus nélkül. Így tehát a szubdukció a különböző szegmensekben nem egyszerre játszódott le, hanem ugrás-szerűen fiatalodva északnyugatról délrelet felé haladt. A két északi szegmens határa közelítőleg egybeesik a Nagyalföld Flisövének keleti folytatásával, a két délie (20. ábra) pedig, esetleg, a Marosi öv ugyanilyen folytatásával. Láttuk, hogy mindenkorú miocénkorú mikrolemez-határt jelez. Az, hogy ezek a Keletkárpáti szubdukciós öv különböző korú szemenseit választják el egymástól, arra mutat, hogy ezek a mikrolemezek megtartották önállóságukat a pliocén folyamán is. Az aktív lemezhatárok általános fiatalodása északnyugatról délreletre összhangban van azzal a feltevéssel, hogy az óceáni vagy szuboceáni kérűgű medence bezáródása a délen levő Moesiai tábla árnyékoló hatása alatt játszódott le.

#### IV. Módszertani következmények

A Kárpáti régió neogén mészalkáli vulkanizmusának a lemeztektonikai elmélet alapján való megmagyarázási kísérletei során nehézségek léptek fel a térbeli lehetőségek terén: a klasszikus felfogásoknak (Tectonics..., 1974) megfelelően a Belsőkárpáti vidékek orogenезise az oligocén elejére már befejeződött (21. ábra), s a továbbiakban már nem maradt hely olyan medencék számára, amelyek kérge még szubdukcióról képes. Ez a vélemény, úgy tűnt, alátámasztást nyert az Eurázsiai és az Afrikai litoszféra-lemez relativ mozgásának rekonstrukciójával, mivel ennek alapján kiderült, hogy e lemezek egymáshoz közelítése az eocénban [PHILLIPS—FORSYTH 1972] vagy még a felsőkrétában [DEWEY et al. 1973] kezdődött meg.

Ilyen helyzetben elkerülhetetlenül *felmerült a dilemma*: ha nem akarjuk felrúgni a lemeztektonikai elmélet alapjait, mit kell előnyben részesítenünk:

a) az érvényben levő *felfogást* arról, hogy a Kárpáti régió kontinentális litoszféra-lemezrészekkel a miocén elejére már telítve volt, vagy

b) azt a hatalmas, az egész Földre vonatkozó *tényanyagot*, amely a mészalkáli magmatizmusnak egyenes és igen világos térr- és időbeli kapcsolatára mutat a szubdukciós folyamatokkal és övekkel.

Ismereteink szerint valamennyi eddigi kutató az első utat választotta, „ad hoc” hipotézist dolgozva ki (vagy támogatva) a mészalkáli magmatizmusnak olyan típusú köpeny-diapirral való közvetlen kapcsolatról, amely a szegélytengerek alatt feltételezettel [KARIG 1971] analóg. Mi viszont a második utat választottuk, mivel meggyőződtünk arról, hogy egyrészt a szegélytengerekre és kontinentális analógiákra nem mészalkáli, hanem specifikus alkáli-bazaltos — toleites magmatizmus jellemző [LORDKIPANIDZE et al. 1979], másrészt nincs egyetlen kivétel sem azon törvényesrűség alól, miszerint a mészalkáli magmatizmus világos tér—idő kapcsolatban áll szubdukciós övekkel és folyamatokkal. Ezért a rekonstrukció alapjául ezt az elképzelést fogadtuk el, hogy a *mészalkáli magmatizmus vele egykorú szubdukciós övek diagnosztizálására szolgálhat* [ZONENSHAIN et al. 1976].

Ezt az utat követtük, s szemeink előtt, bár egyelőre még homályosan, *új, teljesen váratlan kép tártult fel a miocén-kezdeti ósföldrajzról*. Ez a kép nincs ellentében azzal a felfogással, hogy az Eurázsiai és az Afrikai litoszféra-tervezések egymáshoz közelítése a felsőkrétaban vagy az eocénben kezdődött, mivel ezt a közelítést nem olyan folyamatoknak fogják fel, mint például az Indiai és az Eurázsiai lemez kollizióját a mai Himalájában: itt állandóan voltak és mind a mai napig léteznek óceáni vagy szub-óceáni kerégtájak (Mediterráneum). Az az elképzelés, hogy a Dinaridák — akár az Adriával és az Apenninekkel együtt — a miocén elején még távol lehettek a mai Alpi—Kárpáti rendszertől, nem találhat ellenvetésre, mivel tőlük délnyugatra és délkeletről ma is óceáni típusú medencék (Tírrén, Égei) vannak, amelyek csak a miocénben jöttek létre.

A régióra vonatkozó mai geodinamikai rekonstrukciók többsége következetesen az idősebbektől a fiatalabb képződmények felé halad, javarészti a mezozoikumra vonatkozó adatokra támaszkodva. Ennek során olyan mennyiségi feltevés válik szükségessé, hogy a részletek vonatkozásában az objektivitás gyakorlatilag eltűnik. Nem véletlen ezért, hogy a mezozoikumra vonatkozó különféle rekonstrukciók vázlatok egymástól igen jelentősen különböznek, s nehéz azt is megrérteni, hogy tényanyag-szinten mi az eltérések lényege.

A Kárpáti régió neogén vulkanizmusának szigorúan aktualisztikus alapon való elemzése megmutatta, hogy a régió kontinentális litoszféra-elemeinek mai kölcsönös elhelyezkedése nem az oligocén végére jött létre, hanem kialakása a szó szoros értelmében szemünk látára fejeződik be, s ezek az elemek a miocén, sőt a pliocén folyamán is még jelentős elmozdulásokat szennedtek mind egymáshoz, mind az Eurázsiai litoszféra-lemezhez viszonyítva. Azonban még a pliocén kor geodinamikai képe nagy vonalakban még úgyszólva azonnal rekonstruálható, addig a miocén koré egyelőre ködbe vész. Azt tartjuk, hogy csak megérte a miocén kori geodinamika valóságos képét ismerhetjük meg a miocén eleji ósföldrajzot. E nélkül pedig nem remélhetjük, hogy a korábbi korok geodinamikai és ósföldrajzi képével tisztába jövünk.

Kulcsot ehhez a miocén vulkanitok térr- és időbeli eloszlásának és összetétel-változásainak megismerése szolgáltathat. Ebben van tanulmányozásuk fő jelentősége, s ez ismételten arra kell, hogy készessen: igyekezzünk megoldani legalább a legfontosabb velük kapcsolatos problémákat.

### Köszönetnyilvánítás

Szerző öszinte köszönetét fejezi ki L. P. ZONENSHAINnak (P. Shirshov Oceanológiai Intézet, Moszkva) a geodinamikai rekonstrukciók iránti érdeklődés felkeltéséért és az értékes konzultációért a kutatások folyamán, amelyek eredménye a jelen tanulmány.

## ПРОБЛЕМАТИКА И ЗНАЧЕНИЕ НЕОГЕНОВЫХ ВУЛКАНИТОВ ДЛЯ ГЕОДИНАМИЧЕСКИХ РЕКОНСТРУКЦИЙ В КАРПАТСКОМ РЕГИОНЕ

На основании допущения о связи известково-щелочного вулканизма с зонами Беньофа сделана попытка реконструкции истории Карпатского региона в неогене. В плиоцене субдукция вдоль Восточных Карпат (с поглощением квази-океанической коры флишевого бассейна) шла в три этапа: сначала на отрезке цепи Вигорлат—Гутин (8—10 млн. лет), затем на отрезке Кэлимань—Харгита (2—4 млн. лет), наконец, заканчивается сейчас на отрезке сейсмофокальной зоны Вранча. Границами между отрезками служили границы между микроплитами: Средневенгерско—Закарпатской (на С), Южновенгерско—Транссильванской (на середине) и Южно-Карпатской (на Ю). В досубдукционном положении восточные окраины всех трех находились западнее западной оконечности Мизийской плиты.

В миоцене происходила субдукция квазиокеанической коры (Средневенгерского и Мурешского флишевых бассейнов), разделявшая указанные микроплиты, и приведшая к их коллизии и к возникновению офиолитово-флишевых поясов на их контактах и вулканических поясов севернее этих контактов. В досубдукционном положении Средневенгерско—Закарпатская и Южновенгерско—Транссильванская микроплиты находились где-то южнее или юго-западнее современной Задунайшины. Отсюда следует, что Динариды появились на их современном месте тоже с юго-запада только в миоцене, с чем согласуется наличие вдоль их СВ фронта неогенного вулканического пояса.

Заполнение Паннонского бассейна континентальной корой произошло в ходе движения квази-океанической плиты со впаянными в нее континентальными микроплитами с юга на север, со взламыванием квази-океанических участков и с субдуцированием их под следующие к северу континентальные микроплиты. Вследствие экранирующего влияния выступавшей ужс тогда на З Мизийской плиты соединение микроплит произошло сначала в западной половине Паннонского бассейна, затем вследствие отклоняющего влияния ЮВ края Чешского массива и ранее приключившейся к нему Задунайско—Внутризападнокарпатской микроплиты вся мозаика двинулась на СВ. Промежуток между Чешским массивом и Мизийской плитой оказался узким, поэтому микроплиты при движении на СВ испытывали сжатие в СЗ—ЮВ направления. Вследствие того, что отклоняющее действие шло с СЗ, а экранирующее влияние — с ЮВ, заполнение свободного (с квази-океанической корой) пространства на востоке про-исходило с СЗ на ЮВ и завершается сейчас в ЮВ оконечности Карпат.

Реальность нарисованной картины не доказана, но опровержений также не существует. Этой возможностью необходимо считаться при палеотектонических и палеогеографических реконструкциях, ибо если эта картина верна, придется заново пересмотреть все прежние построения относительно широкого региона.



If the propagation velocity in the (liquid or gas-filled) pores is  $v_1$  and in the solid matrix it is  $v_2$ , let us define the average velocity by the time average formula (WYLLIE et al. 1956)

$$\frac{1}{v_0} = \frac{p}{v_1} + \frac{1-p}{v_2}. \quad (10)$$

Further, define the deviations from  $v_0$  of the velocities of the two phases by

$$\left. \begin{aligned} \frac{1}{v_1} &= \frac{1}{v_0} (1 + \varepsilon_1) \\ \frac{1}{v_2} &= \frac{1}{v_0} (1 + \varepsilon_2). \end{aligned} \right\} \quad (11)$$

Thus, from the wave propagation point of view the porous material can be considered as a medium with a random velocity distribution

$$\frac{1}{v(x)} = \frac{1}{v_0} [1 + \varepsilon(x)], \quad (12)$$

where  $\varepsilon(x)$  is a random function of the coordinate  $x$ . At any given spatial point

$$\varepsilon(x) = \begin{cases} \varepsilon_1 & \text{with probability } p \\ \varepsilon_2 & \text{with probability } 1-p. \end{cases} \quad (13)$$

We will also need  $\langle \varepsilon \rangle$  and  $\langle \varepsilon^2 \rangle$ . By Eqs. (10), (11) and (13) clearly

$$\langle \varepsilon \rangle = 0$$

and, since

$$\varepsilon_1 = \frac{v_0}{v_1} - 1, \quad \varepsilon_2 = \frac{v_0}{v_2} - 1$$

we have

$$\langle \varepsilon^2 \rangle = p\varepsilon_1^2 + (1-p)\varepsilon_2^2 = p(1-p)v_0^2 \left( \frac{1}{v_1} - \frac{1}{v_2} \right)^2. \quad (14)$$

Let us define a new, normalized, random function by

$$\mu(x) = \frac{\varepsilon(x)}{\langle \varepsilon^2(x) \rangle^{1/2}} \quad (15)$$

and its autocorrelation function as

$$N(x, x') = \langle \mu(x) \cdot \mu(x') \rangle. \quad (16)$$

If the random function  $\mu(x)$  (that is  $\varepsilon(x)$ ) is homogeneous and isotropic (cf.e.g. TATARSKI 1961),  $N(x, x')$  only depends on the magnitude of  $x - x'$  that is,

$$N(x, x') = N(|x - x'|) = N(r) (r = |x - x'|). \quad (17)$$

The solution of the random wave equation

$$\Delta u + \frac{\omega^2}{v^2} u = 0 \quad (18)$$

(where  $v=v(x)$  is the randomly distributed velocity, Eq. (12)), can be derived by KELLER's (1964) perturbation method, see Appendix. It turns out that, providing

$$\langle \varepsilon^2 \rangle \ll 1, \quad (19)$$

the effective attenuation coefficient of the porous medium is given by

$$\alpha = \langle \varepsilon^2 \rangle k_0^2 \int_0^\infty (1 - \cos 2k_0 r) N(r) dr, \quad (20)$$

where  $N(r)$  is the normalized autocorrelation function of  $\varepsilon(x)$ , and  $k_0$  the average wave number

$$k_0 = \frac{\omega}{v_0} = \frac{2\pi f}{v_0}. \quad (21)$$

According to Eq. (20) we have to compute  $N(r)$  to obtain an explicit expression for  $\alpha$ . Assume that an arbitrary line  $e$  be drawn through the porous medium. Points on the line are to be defined by giving their arc length  $x$  from an arbitrary origin. Then, for certain values of  $x$ , the line will pass through pore spaces, for other values of  $x$  the line will pass through the solid matrix. We introduce a function  $\mu(x)$  along this line defined as follows: the value of  $\mu$  is defined as  $\mu_1 = \varepsilon_1 / \langle \varepsilon^2 \rangle^{1/2}$  (cf. Eqs. 13 and 15) if the line at  $x$  passes through a pore space; it is defined as equal to  $\mu_2 = \varepsilon_2 / \langle \varepsilon^2 \rangle^{1/2}$  if the line passes through the solid matrix. (This is essentially similar to the way that FARA and SCHEIDEGGER 1961 characterized the statistical geometry of porous rocks.) On the basis of the ergodic hypothesis  $\langle \mu(x) \rangle = 0$ ,  $\langle \mu^2(x) \rangle = 1$  along the line  $e$  as well.

By the construction of the function  $\mu(x)$  it follows that it will consist of randomly occurring square wave impulses of random width.

First, we show that the number of these square waves within an arbitrary interval  $[x_1, x_2]$ ,  $|x_2 - x_1| = x$ , obeys a Poisson distribution. Indeed, if the function possesses  $n$  square waves between  $x_1$  and  $x_2$ , this means that the line  $e$  intersects exactly  $n$  pores within this interval. But this can occur if and only if there are exactly  $n$  pores inside the cylinder  $H$  of radius  $a$  around the axis  $\overline{x_1 x_2}$ .

Because of Eq. (7),

$$P_n = P(n \text{ pores in cylinder } H) = \exp(-\lambda_3 a^2 \pi x) \frac{(\lambda_3 a^2 \pi x)^n}{n!}, \quad (22)$$

that is, the number of square wave impulses in the random function  $\mu(x)$  also obeys a Poisson distribution of parameter

$$\lambda_1 = \lambda_3 a^2 \pi. \quad (23)$$

The mean width  $\bar{\vartheta}$  of these square wave impulses can also be easily determined.

Suppose the expected number of pores in the cylinder  $H$  is  $N$ , then the porosity  $\langle p \rangle$  is given by

$$\langle p \rangle = N \cdot \frac{4a^3 \pi}{3} \cdot \frac{1}{a^2 \pi x} = \frac{4Na}{3x}. \quad (24)$$

Because of ergodicity, the same porosity should arise when estimated along the axis  $\overline{x_1x_2}$  of  $H$ , that is,

$$\frac{N\bar{\vartheta}}{x} = \frac{4Na}{3x}$$

and

$$\bar{\vartheta} = \frac{4}{3}a. \quad (25)$$

The autocorrelation function

$$N(x) = \langle \mu(x_1) \cdot \mu(x_2) \rangle (|x_2 - x_1| = x)$$

of the Poisson-distributed square wave pulses of random width  $\bar{\vartheta}$  is, by the well known CAMPBELL formula of radio physics (see e.g. RYTOV 1966):

$$N(x) = \lambda_1 \bar{\vartheta} \exp(-x/\bar{\vartheta}),$$

that is, by Eqs. (23), (25) and (8)

$$N(x) = \lambda_3 a^2 \pi c \cdot \frac{4}{3} \exp\left(-x \sqrt{\frac{4}{3}a}\right) = \lambda_3 c \exp\left(-x \sqrt{\frac{4}{3}a}\right). \quad (26)$$

Inserting Eq. (26) into (20) and carrying out the integration we get

$$\alpha = \langle \varepsilon^2 \rangle k_0^2 \lambda_3 c \frac{4 \cdot \left(\frac{4}{3}a\right)^3 k_0^2}{1 + 4 \left(\frac{4}{3}a\right)^2 k_0^2}. \quad (27)$$

In the low frequency limit, providing that

$$4 \cdot \left(\frac{4}{3}a\right)^2 k_0^2 \ll 1 \quad (28)$$

we obtain

$$\alpha = \text{const } \langle \varepsilon^2 \rangle \lambda_3 c^2 k_0^4, \quad (29)$$

which is very similar to BELTZER's (1978) result

$$\beta = \text{const} \cdot \omega^4 \cdot \lambda \cdot \langle c^2 \rangle [v]^{-1}.$$

(The role of the  $\langle \varepsilon^2 \rangle$  factor in Eq. (29) will be discussed later.)

### 3. Generalizations for random pore-size distribution

Let us now consider the more general case\* when, instead of a single constant radius  $a$ , the pores may have different radii  $a_1, a_2, \dots, a_k$  with the respective probabilities

$$p_1, p_2, \dots, p_k; \quad p_i \geq 0, \quad \sum_{i=1}^k p_i = 1.$$

\* The transition to continuous pore-size distributions seems to be rather complicated and is postponed to a further study.

The previously discussed event that the interval  $[x_1, x_2]$  of the random line  $e$  intersects exactly  $N$  pores in such a way that it intersects

$$\left. \begin{array}{l} n_1 \text{ pores of radius } a_1 \\ n_2 \text{ pores of radius } a_2 \\ \dots \\ n_k \text{ pores of radius } a_k \end{array} \right\} \quad n_1 + n_2 + \dots + n_k = N$$

occurs if and only if:

there are  $n_1$  pores of radius  $a_1$  inside the cylinder  $H_1$  of radius  $a_1$ , around axis  $[x_1, x_2]$ ;  
 there are  $n_2$  pores of radius  $a_2$  inside the cylinder  $H_2$  of radius  $a_2$ , around axis  $[x_1, x_2]$ ;  
 .....  
 there are  $n_k$  pores of radius  $a_k$  inside the cylinder  $H_k$  of radius  $a_k$ , around axis  $[x_1, x_2]$ .

The probability of this event is

$$\begin{aligned} P(n_1, n_2, \dots, n_k) &= \exp(-p_1 \lambda_3 a_1^2 \pi x) \cdot \frac{(p_1 \lambda_3 a_1^2 \pi x)^{n_1}}{(n_1)!} \cdot \dots \exp(-p_k \lambda_3 a_k^2 \pi x) \cdot \frac{(p_k \lambda_3 a_k^2 \pi x)^{n_k}}{(n_k)!} = \\ &= \prod_{i=1}^k \exp(-p_i \lambda_3 a_i^2 \pi x) \prod_{i=1}^k \frac{(p_i \lambda_3 a_i^2 \pi x)^{n_i}}{(n_i)!}. \end{aligned} \quad (30)$$

To find the probability  $P(N)$  that there are exactly  $N$  intersections in the interval  $[x_1, x_2]$  (i.e. that  $\mu(x)$  contains  $N$  square wave impulses in this interval), we have to sum Eqs. (30) for all  $\{n_1, n_2, \dots, n_k\}$ -s, for which  $n_1 + \dots + n_k = N$ .

Observing that

$$\langle a^2 \rangle^N = (p_1 a_1^2 + \dots + p_k a_k^2)^N = \sum_{n_1+n_2+\dots+n_k=N} N! \prod_{i=1}^k \frac{(p_i a_i^2)^{n_i}}{(n_i)!},$$

we have

$$\sum_{n_1+n_2+\dots+n_k=N} \prod_{i=1}^k \frac{(p_i a_i^2)^{n_i}}{(n_i)!} = \frac{\langle a^2 \rangle^N}{N!} \quad (31)$$

and, by Eq. (30),

$$P(N) = \sum_{n_1+n_2+\dots+n_k=N} P(n_1, n_2, \dots, n_k) = \exp[-\lambda_3 \pi x \langle a^2 \rangle] \cdot \frac{(\pi x \lambda_3 \langle a^2 \rangle)^N}{N!}. \quad (32)$$

Thus, the square wave impulses of the function  $\mu(x)$  occur again according to a Poisson distribution of density  $\lambda_1$ ,

$$\lambda_1 = \lambda_3 \pi \langle a^2 \rangle, \quad (33)$$

(compare with Eq. 23). The average pulse width becomes, in this case,  $\bar{\vartheta} = \frac{4}{3} \langle a \rangle$ . Proceeding as in the previous section,

$$N(x) = \lambda_3 \pi \cdot \frac{4}{3} \langle a^2 \rangle \langle a \rangle \exp \left[ -x / \frac{4}{3} \langle a \rangle \right] \quad (34)$$

and, for low frequencies, we find that the attenuation coefficient becomes

$$\alpha = \text{const} \cdot \langle \varepsilon^2 \rangle \lambda_3 \langle a^2 \rangle \langle a \rangle^4 \cdot k_0^4, \quad (35)$$

an expression still analogous to BELTZER'S formula. Here, as in Eq. (29),

$$\langle \varepsilon^2 \rangle = p(1-p) \left( \frac{1}{v_1} - \frac{1}{v_2} \right)^2 \cdot v_0^2.$$

The main differences between BELTZER'S result and our expressions (29) and (35) are that according to our results the attenuation coefficient also depends on the velocity contrast  $(v_1 - v_2)^2$  and has a further porosity dependence of the form  $p(1-p)$ .

In 1953 AMENT proposed a theoretical expression for the attenuation of sound waves in a suspension:

$$\alpha(\omega) = \frac{\omega^2}{9\eta} \cdot \frac{p(1-p)}{c_0^2} \cdot \frac{(\varrho_1 - \varrho_2)^2}{\varrho_0^2} r^2 \quad (36)$$

where  $\eta$  is the viscosity of the fluid,  $p$  porosity,  $c_0$  average velocity,  $r$  radius of the solid particles,  $\varrho_2$  and  $\varrho_1$  densities of the fluid and of the solid particles, respectively.  $\varrho_0$  is the average density:

$$\varrho_0 = p\varrho_1 + (1-p)\varrho_2.$$

In the late fifties, this formula was widely used in geophysical practice (OFFICER 1955, BERZON et al. 1959). Because of the very well established over-all positive correlation between densities and velocities (NAFE and DRAKE 1957, HAMILTON 1970), AMENT'S Eq. (36) suggests a proportionality of the attenuation coefficient to the velocity contrast, in the same way as implied by Eqs. (29) and (35).

The proportionality of  $\alpha$  with  $p(1-p)$  in Eq. (36) and our (29), (35) has been experimentally confirmed over a wide range of porosities by SHUMWAY (1960) and HAMILTON (1972), for marine sediments. Few systematic studies have been made on the role of the velocity (or density) contrast (see, however, ZEMTSOV (1965) and the references cited in KORVIN 1977 p.29).

#### 4. Concluding remarks, connections with information theory

In the two previous sections it has been shown (Eqs. 29 and 35) that in a randomly porous medium, and for the low-frequency regime, the attenuation coefficient is proportional

- to the density  $\lambda_3$  of the Poisson distribution of the number of pores;
- to the expression  $p(1-p)$ ,  $p$  being average porosity;
- to the velocity contrast of the two phases;
- to higher momenta of the pore-size distribution.

From among these factors, we consider the first two as characteristic to the "randomness" of pore-geometry, at least in a qualitative sense. The  $p(1-p)$  factor plays an especially interesting role. Indeed, as we have recently reported (KORVIN 1978), if we consider multi-phase materials instead of 2-phase ones, the attenuation coefficient will be proportional to

$$H = \sum_{i=1}^n p_i(1-p_i) \quad (37)$$

where  $p_i$  is the relative volume ratio (i.e. probability of occurrence at any given point) of the

$i$ -th phase,  $p_i \geq 0$ ,  $\sum p_i = 1$ . The quantity  $H$  (termed *heterogeneity factor* in KORVIN 1978) has the properties:

$H=0$  if any of the  $p_i$ -s is 1, it attains its maximum for the distribution

$$p_1=p_2=\dots=p_n=\frac{1}{n},$$

the maximum being

$$H_{\max}=\frac{n-1}{n}. \quad (38)$$

It is worth-while to compare the heterogeneity factor with the entropy

$$E=-\sum_{i=1}^n p_i \log p_i \quad (39)$$

of the probability distribution which, of course, is a more appropriate measure of the randomness of a multiphase material (BYRYAKOVSKY 1968). It also holds that  $E=0$ , if any of the  $p_i$ -s is 1;  $E$  attains its maximum for the distribution

$$p_1=p_2=\dots=p_n=\frac{1}{n}, \\ E_{\max}=\log n. \quad (40)$$

Applying the series development

$$-x \log x \approx \frac{1}{n} \log n + \left( x - \frac{1}{n} \right) (\log n - 1) - \frac{\left( x - \frac{1}{n} \right)^2}{2} \cdot n \quad \text{if} \quad \left| x - \frac{1}{n} \right| \ll 1$$

and the identity

$$\sum_{i=1}^n \left( p_i - \frac{1}{n} \right)^2 = \frac{n-1}{n} - \sum_{i=1}^n p_i (1-p_i),$$

we obtain that, provided

$$\sum_{i=1}^n \left( p_i - \frac{1}{n} \right)^2 \ll 1$$

one has

$$E = -\sum_{i=1}^n p_i \log p_i \approx \log n - \frac{n}{2} \sum_{i=1}^n \left( p_i - \frac{1}{n} \right)^2 = \log n - \frac{1}{2} (n-1) + \frac{n}{2} \sum_{i=1}^n p_i (1-p_i),$$

that is, if all the  $p_i$ -s are close enough to  $\frac{1}{n}$ :

$$H = \sum_{i=1}^n p_i (1-p_i) = \frac{2}{n} E - \frac{2 \log n}{n} + \frac{n-1}{n}$$

or, by Eqs. (38), (40),

$$H_{\max} - H = \frac{2}{n} (E_{\max} - E). \quad (41)$$

Thus, around the maximum, the heterogeneity factor  $H$  behaves similarly to the entropy  $E$ .

Figure 1 shows the striking similarity of  $H/H_{\max}$  and  $E/E_{\max}$  for  $n=2$ ; for  $n=3$  see Fig. 1C of HARRIS and McCAMMON (1969).

Thus, it is reasonable to assume as a hypothesis that for multiphase materials the low-frequency attenuation coefficient—although not simply proportional—is certainly positively correlated with the entropy, i.e. the randomness, of the material distribution of the medium.

In this connection it should be noted that the proportionality factor

$$H = \sum_{i=1}^n p_i(1-p_i)$$

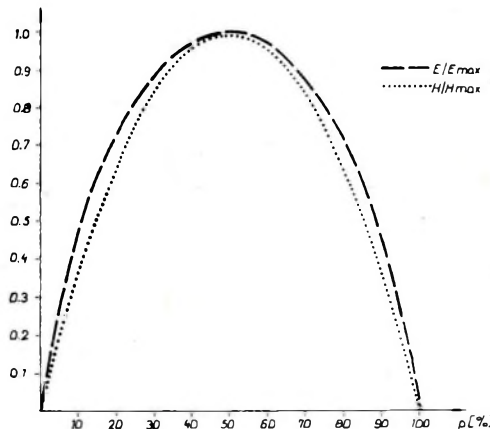


Fig. 1. Relative entropy and relative heterogeneity factor for  $n=2$

1. ábra. Relatív entropia és relatív heterogenitási faktor  $n=2$  esetén

Рис. 1. Относительная энтропия и коэффициент мутности для  $n=2$

figuring in the expression of the attenuation coefficient of multiphase materials can also be written as

$$H = 1 - \sum_{i=1}^n p_i^2. \quad (42)$$

The expression

$$\sum_{i=1}^n p_i^2$$

was introduced by ONINESCU (1966) as a measure of the *information energy* of the probability distribution  $p_1, p_2, \dots, p_n$ . The information energy ranges from  $1/n$  (in case of complete indeterminacy) to 1 (if any of the  $p_i$ -s is 1); and—as observed by MARCUS (1967, 1971) in his works on mathematical linguistics—it shows the same analogy to the kinetic energy of physical systems as that between the BOLTZMANN entropy and SHANNON's “ $-\sum p_i \log p_i$ ”. It can be shown that, as in thermodynamics, if the information energy of a system decreases its entropy should increase, and vice versa. This, in view of Eq. (42), further corroborates our hypothesis.

It is well-known that the frequency-dependent attenuation and velocity dispersion lead to a distortion of the propagating acoustic pulses. KUZNETSOV et al. (1973) and HOLLIN and

JONES (1977) recently proposed that the correlation between the propagating pulses for the determination of the attenuation characteristics be measured. Theoretically, the propagation of the two-point correlation function (as of any other quadratic quantities) can be described by the BETHE-SALPETER equation (BOURRET 1962) or, alternately, by appropriate transport equations (see e.g. BUGNOLO 1960). In connection with the latter approach FRISCH poses the following problem (1968, p. 145):

"... there are some physical difficulties in the interpretation of the solution, which have not been settled yet. It appears, for example, that in contradistinction to the homogeneous nonrandom case, there is an energy loss, even when the medium is not dissipative".

It seems to us that this problem, together with all the problems prosed in the present paper, will have been solved by following up the pioneering ideas of CASTI and TSE who, in 1972, showed that the KALMAN-BUCY optimal filtering theory and radiative transfer theory, "which from a physical point of view seem to have very little in common, may be brought together by careful examination of their respective initial value formulations" (*op. cit.* p. 42).

In their concluding remarks CASTI and TSE (1972, p. 53) state:

"In conjunction with the active filtering problem, let us mention a radiative transfer function ... this is the absorption function which is defined by means of a conservation law, i.e. it corresponds to the radiative energy which is input to the atmosphere, but which is neither transmitted through nor reflected back out.... In the active filtering case there is reason to suspect that this function may correspond to a loss of inherent information in the known control input due to interaction with the noisy system. If this correspondence can be made precise, it would seem to be possible to establish a conservation of information law for stochastic systems".

### Appendix: Perturbation solution to the random wave equation

The main ideas of KELLER's method of stochastic perturbation (KELLER 1964, KARAL and KELLER 1964) are as follows. Suppose the wave  $u_0$  propagating in a space free of inhomogeneities satisfies a linear equation

$$Lu_0 = 0. \quad (\text{A.1.})$$

Consider now a randomly inhomogeneous space characterized by the operator

$$L - \varepsilon L_1(\gamma) - \varepsilon^2 L_2(\gamma) + O(\varepsilon^3), \quad (\text{A.2.})$$

where  $\varepsilon$  is a measure of the inhomogeneities of the medium ( $|\varepsilon| \ll 1$ );  $L_1(\gamma)$  and  $L_2(\gamma)$  are random operators depending on a random parameter  $\gamma \in \Gamma$  of density function  $p(\gamma)$ . Expectancies with respect to  $p(\gamma)$  are denoted by

$$\langle f \rangle = \int_{\Gamma} f(\gamma) p(\gamma) d\gamma.$$

The solution  $u$  to the equation

$$[L - \varepsilon L_1(\gamma) - \varepsilon^2 L_2(\gamma) + O(\varepsilon^3)]u = 0 \quad (\text{A.3.})$$

is a random function of  $\gamma$ ; our aim is to find an equation for the expected wave  $\langle u \rangle$ . If  $L^{-1}$  exists and is bounded, then from Eqs. (A.1.) and (A.3.),

$$u = u_0 + \varepsilon L^{-1}(L_1 + \varepsilon L_2)u + O(\varepsilon^3). \quad (\text{A.4.})$$

Solving (A.4.) by the successive iteration method, we get

$$u = u_0 + \varepsilon L^{-1} L_1 u_0 + \varepsilon^2 (L^{-1} L_1 L^{-1} L_1 + L^{-1} L_2) u_0 + O(\varepsilon^3) \quad (\text{A.5.})$$

that is, taking expectancies,

$$\langle u \rangle = u_0 + \varepsilon L^{-1} \langle L_1 \rangle u_0 + \varepsilon^2 L^{-1} (\langle L_1 L^{-1} L_1 \rangle + \langle L_2 \rangle) u_0 + O(\varepsilon^3). \quad (\text{A.6.})$$

Hence:

$$u_0 = \langle u \rangle - \varepsilon L^{-1} \langle L_1 \rangle u_0 + O(\varepsilon^2) = \langle u \rangle - \varepsilon L^{-1} \langle L_1 \rangle u + O(\varepsilon^2), \quad (\text{A.7.})$$

which, on substitution into (A.6.), gives

$$\langle u \rangle = u_0 + \varepsilon L^{-1} \langle L_1 \rangle \langle u \rangle + \varepsilon^2 L^{-1} [\langle L_1 L^{-1} L_1 \rangle - \langle L_1 \rangle L^{-1} \langle L_1 \rangle + \langle L_2 \rangle] \langle u \rangle + O(\varepsilon^3). \quad (\text{A.8.})$$

Applying  $L$  to both sides, dropping the  $O(\varepsilon^3)$  term and assuming that  $\langle L_1 \rangle = 0$  we finally arrive at

$$(L - \varepsilon^2 \langle L_1 L^{-1} L_1 \rangle - \varepsilon^2 \langle L_2 \rangle) \langle u \rangle = 0 \quad (\text{A.9.})$$

which is an explicit equation for  $\langle u \rangle$ . Introducing the Green function  $G(x, x')$  defined as

$$LG(x, x') = I \cdot \delta(x - x') \quad (\text{A.10.})$$

(where  $I$  is the unit operator,  $\delta$  is Dirac's delta function), we have

$$L^{-1} f = \int G(x, x') f(x') dx'$$

and Eq. (A.9.) becomes

$$L(x) \langle u(x) \rangle - \varepsilon^2 \left\langle L_1(x) \int G(x, x') L_1(x') \langle u(x') \rangle dx' \right\rangle - \varepsilon^2 \langle L_2(x) \rangle \langle u(x) \rangle = 0. \quad (\text{A.11.})$$

Let us now apply the general expression (A.11.) to the random wave equation

$$\Delta u + \frac{\omega^2}{v^2} u = 0 \quad (\text{A.12.})$$

where, as in Eq. (12), the random velocity distribution is given by

$$v(x) = v_0(1 + \varepsilon(x))^{-1}.$$

If we introduce the average wave number  $k_0 = \omega/v_0$  the wave equation becomes

$$\Delta u(x) + k_0^2 [1 + 2\varepsilon\mu(x) + \varepsilon^2\mu^2(x)] u(x) = 0 \quad (\text{A.13.})$$

where  $\varepsilon = \langle \varepsilon^2(x) \rangle^{1/2}$ ; the normalized random variable  $\mu(x)$  is given by

$$\mu(x) = \frac{\varepsilon(x)}{\langle \varepsilon^2(x) \rangle^{1/2}} = \frac{\varepsilon(x)}{\varepsilon}. \quad$$

If Eq. (A.13.) is matched with Eq. (A.3.)

$$\left. \begin{aligned} L &= \Delta + k_0^2 \\ L_1 &= -2k_0^2 \mu(x) \\ L_2 &= -k_0^2 \mu^2(x). \end{aligned} \right\} \quad (\text{A.14.})$$

Clearly,  $\langle L_1 \rangle = 0$ ,  $\langle \mu^0(\mathbf{x}) \rangle = 1$ . On imposing the radiation condition, the Green function becomes

$$G(\mathbf{x}, \mathbf{x}') = -\frac{\exp[ik_0|\mathbf{x} - \mathbf{x}'|]}{|\mathbf{x} - \mathbf{x}'|} \quad (\text{A.15.})$$

and Eq. (A.11.) will change to

$$(\Delta + k_0^2) \langle u \rangle + \frac{4\epsilon^2 k_0^4}{4\pi} \left\langle \mu(\mathbf{x}) \int \frac{\exp[ik_0|\mathbf{x} - \mathbf{x}'|]}{|\mathbf{x} - \mathbf{x}'|} \cdot \mu(\mathbf{x}') \right\rangle \langle u(\mathbf{x}') \rangle d\mathbf{x}' + \epsilon^2 k_0^2 \langle u \rangle = 0. \quad (\text{A.16.})$$

In the case of homogeneous isotropic randomness (TATARSKI 1961) Eq. (A.16.) simplifies to

$$(\Delta + k_0^2 + \epsilon^2 k_0^2) \langle u(\mathbf{x}) \rangle + \frac{4\epsilon^2 k_0^4}{4\pi} \int \frac{\exp(ik_0 r)}{r} N(r) \langle u(\mathbf{x} + \mathbf{r}) \rangle dr = 0, \quad (\text{A.17.})$$

where  $r = |\mathbf{r}|$ ;  $N(r)$  is the autocorrelation function defined by Eqs. (16), (17). Solutions to Eq. (A.17.) will be sought for in the plane-wave form

$$\langle u(\mathbf{x}) \rangle = A e^{i\mathbf{k}\mathbf{x}} = \varphi(\mathbf{x}). \quad (\text{A.18.})$$

To compute the volume integral in (A.17.) we first integrate over the spherical surface  $S$  of radius  $r$ , centred at  $\mathbf{x}$ . Making use of the mean-value theorem (KELLER 1964)

$$\frac{1}{4\pi r^2} \int_S \varphi(\mathbf{x} + \mathbf{r}) dS = \frac{\sin kr}{kr} \varphi(\mathbf{x}) \quad (\text{A.19.})$$

which holds for any solution of the wave equation, from Eq. (A.17.) we have

$$\left[ \Delta + k_0^2 + \epsilon^2 k_0^2 + 4\epsilon^2 \frac{k_0^4}{k} \int_0^\infty \exp(ik_0 r) \sin kr N(r) dr \right] \varphi(\mathbf{x}) = 0. \quad (\text{A.20.})$$

Since the plane wave  $\varphi(\mathbf{x})$  as defined in Eq. (A.18.) evidently satisfies a wave equation

$$(\Delta + k^2) \varphi(\mathbf{x}) = 0, \quad (\text{A.21.})$$

we obtain, by equating Eqs. (A.20.) and (A.21.), the *dispersion relation*

$$k^2 = k_0^2 + \epsilon^2 k_0^2 + 4\epsilon^2 \frac{k_0^4}{k} \int_0^\infty \exp(ik_0 r) \sin kr N(r) dr \quad (\text{A.22.})$$

whose solution  $k$  is the *effective wave number* expressing the *global effect* of the velocity inhomogeneities. If (A.22.) is solved in powers of  $\epsilon$  and the  $O(|\epsilon|^3)$  terms are dropped (for details, see KORVIN 1977), the imaginary part of  $k$ , i.e. the attenuation coefficient  $\alpha$ , becomes

$$\alpha = \epsilon^2 k_0^2 \int_0^\infty (1 - \cos 2k_0 r) N(r) dr \quad (\text{A.23.})$$

which is the same expression as Eq. (20) of the main part of this paper.

## REFERENCES

- AMENT, W. S., 1953: Sound propagation in gross mixtures. *Journal Ac. Soc. Am.* 25 No. 4, pp. 638-641.
- BELTZER, A., 1978: The influence of random porosity on elastic wave propagation. *J. Sound Vibr.* 58 No. 2, pp. 251-256.
- BERZON, I. S.-VASILYEV, YU. I.-STARODUBROVSKAYA, S. P., 1959: On refracted waves corresponding to aquiferous sands. II. *Izv. ANSSSR Ser. Geof.* No. 2, pp. 177-182 (In Russian).
- BOURRET, R. C., 1962: Stochastically perturbed fields, with applications to wave propagation in random media. *Nuovo Cimento*, 26 No. 1, pp. 1-31.
- BRADLEY, J. J.-FORT, A. N. Jr., 1966: Internal Friction in Rocks. In: *Handbook of Physical Constants* (Ed. CLARK, S. P. Jr.) *Geol. Soc. Am. Memoir*, No. 97, pp. 175-193.
- BUGNOLO, D. S., 1960: Transport equation for the spectral density of a multiple scattered electromagnetic field. *J. Appl. Phys.* 31, pp. 1176-1182.
- BYRYAKOVSKIY, L. A., 1968: Entropy as criterion of heterogeneity of rocks. *Internat. Geol. Rev.* 10, No. 7.
- CASTI, J.-TSE, E., 1972: Optimal linear filtering theory and radiative transfer: comparisons and interconnections. *J. Math. Anal. Appl.* 40, pp. 45-54.
- FARA, H. D.-SCHEIDEGGER, A. E., 1961: Statistical geometry of porous media. *Journal Geoph. Res.* 66 No. 10, pp. 3279-3284.
- FRISCH, U., 1968: Wave Propagation in Random Media. In: *Probabilistic Methods in Applied Mathematics*. I. (Ed. BHARUCHA-REID, A. T.) Academic Press, New-York-London, pp. 75-198.
- HAMILTON, E. L., 1970: Sound velocity and related properties of marine sediments, North Pacific. *J. Geoph. Res.* 75, pp. 4423-4446.
- HAMILTON, E. L., 1972: Compressional wave attenuation in marine sediments. *Geophysics*, 37 No. 4, pp. 620-646.
- HARRIS, M. H.-MC CAMMON, R. B., 1969: A computer oriented generalized porosity-lithology interpretation of neutron, density and sonic logs. *SPE Paper*, No. 2523.
- HASHIN, Z., 1962: The elastic moduli of heterogeneous materials. *J. Appl. Mechanics*, 29, pp. 143-150.
- HOLLIN, K. A.-JONES, M. H., 1977: The measurement of sound absorption coefficient in situ by a correlation technique. *Acustica*, 27 No. 2, pp. 103-110.
- KARAL, F. C. Jr.-KELLER, J. B., 1964: Elastic, electromagnetic and other waves in a random medium. *J. Math. Phys.* 5 No. 4, pp. 537-549.
- KELLER, J. B., 1964: Stochastic equations and wave propagation in random media. *Proc. Symp. Appl. Math.* 16, pp. 145-170.
- KORVIN, G., 1976: Seismic wave propagation in media of randomly inhomogeneous velocity distribution. 21. *Geoph. Symp.*, Leipzig.
- KORVIN, G., 1977: Certain problems of seismic and ultrasonic wave propagation in a medium with inhomogeneities of random distribution. II. Wave attenuation and scattering on random inhomogeneities. *Geof. Közl.* 24. Suppl. 2, pp. 3-38.
- KORVIN, G., 1978: Wave attenuation in multicomponent rocks, a relation between the attenuation coefficient and the heterogeneity (entropy) of the rocks. *Magyar Geofizika*, 18 No. 3, pp. 106-116. (In Hungarian)
- KUZNETSOV, O. L.-KAYDANOV, E. P.-RUKAVITSYN, V. N., Some possibilities of the application of correlation analysis in sonic logging. *Trudy VNIYAG*, 15, pp. 56-59. (In Russian)
- MACKENZIE, J. K., 1950: The elastic constants of a solid containing spherical holes. *Proc. Phys. Soc. B63*, pp. 2-11.
- MARCUS, S., 1967: Entropie et énergie poétique. *Cahiers de linguistique théorique et appliquée*, IV. Bucureşti, pp. 171-180.
- MARCUS, S., 1971: On types of meters of a poem and their informational energy. *Semiotica* IV. 1, Mouton, The Hague, pp. 31-36.
- NAFE, J. E.-DRAKE, C. L., 1957: Variation with depth in shallow and deep water marine sediments of porosity, density and the velocities of compressional and shear waves. *Geophysics*, 22. No. 3, pp. 523-552.
- OFFICER, C. B., 1955: A deep-sea seismic reflection profile. *Geophysics*, 20 No. 2, pp. 270-282.
- ONINESCU, O., 1966: Energie informationnelle. *C. R. Acad. Sci. (Paris)* 263 No. 22, pp. 841-842.
- RYTOV, S. M., 1966: Introduction to Statistical Radiophysics. Nauka, Moscow (In Russian).
- SHUMWAY, G., 1960: Sound speed and absorption studies of marine sediments by a resonance method. II. *Geophysics*, 25 No. 3, pp. 659-682.
- TATARSKI, V. I., 1961: Wave Propagation in a Turbulent Medium. McGraw-Hill, New-York.

- WYLLIE, M. R. J.-GREGORY, A. R.-GARDNER, L. W., 1956: Elastic wave velocities in heterogeneous and porous media. Geophysics, 21 No. 1, pp. 41-70.
- YING, C. F.-TRUELL, R., 1956: Scattering of plane longitudinal wave by a spherical obstacle in an isotropically elastic solid. J. Appl. Phys. 27, pp. 1086-1097.
- ZEMTSOV, E. E., 1965: Effect of oil and gas deposits on dynamic characteristics of reflected waves. Internat. Geol. Rev. 11, No. 4, pp. 504-509.

KORVIN GÁBOR

### A VÉLETLEN POROZITÁS HATÁSA A RUGALMAS HULLÁMOK ELNYELŐDÉSÉRE

A dolgozat a porózus közegben terjedő rugalmas hullámok elnyelődését vizsgálja a véletlen pórus-elhelyezkedés, pórusszám és pórusszám függvényében. A véletlen hullám-egyenlet perturbációs megoldásával új levezetést nyerünk BELTZER nemrég közölt eredményére. Információeleméleti megfontolások azt a hipotézist sugallják, hogy többkomponensű közegek *alacsony-frekvenciás elnyelődési együtthatója pozitív korrelációt mutat a közeg anyageloszlásának entropiájával, vagyis véletlensével*.

Г. КОРВИН

### ВЛИЯНИЕ СЛУЧАЙНОЙ ПОРИСТОСТИ НА ПОГЛАЩЕНИЕ УПРУГИХ ВОЛН

Статья исследует поглощение упругих волн распространяющихся в пористой среде, в зависимости от случайного расположения, распределения и количества пор. Методом возмущения случайного волнового уравнения получим новый вывод на недавно сообщенный результат Бельцера. Рассуждения по теории информации подсказывают гипотезу, что коэффициент низкочастотного поглощения многокомпонентных сред положительно коррелирует с энтропией, т. е. случайностью материального распределения среды.

## A BÖRZSÖNY- ÉS A DUNAZUG-HEGYSÉG MAGNETOSZTRATIGRÁFIÁJA

BALLA ZOLTÁN — MÁRTONNÉ SZALAY EMŐ\*

### 1. Bevezetés

Vulkáni hegységeink szerkezetének tisztázásához megbízható rétegtani felosztásra és korrelációra van szükség. Vulkáni összletek esetében az öslénytani módszerek kevessé perspektivikusak egyrészt az ósmaradványok ritkasága miatt, másrészt azért, mert a képződési időtartam gyakran nagyon szűk: a Börzsöny esetében pl. a bádeni emeletnek csak kis része.

Olyan módszerre van szükség, amely a rendkívül változatos vastagságú és kifejlődésű, de összetételükben kevessé különböző börzsönyi–dunazugi vulkanitok feloszlását és korrelációját megbízhatóvá teszi. Ennek olyan jelenségre kell támaszkodnia, amely a vulkáni működés lefolyásától gyakorlatilag független, s ugyanakkor a vizsgálandó, szűk intervallumot részekre képes bontani.

Az utóbbi évtizedekben egyre gyakrabban alkalmazott paleomágneses módszer mindenkor előtt feltélt kielégíti: a felosztás és a korreláció alapjául szolgáló jelenség — a földmágneses tér polaritásváltozása — globális méretekben szigorúan egyidejű és konkréten vulkánok működésétől független, emellett a térfordulások gyakorisága miatt a módszer felbontóképessége nagyobb, mint más rétegtani módszereké.

Az Eötvös Loránd Tudományegyetem és az Eötvös Loránd Geofizikai Intézet kutatói által az elmúlt évtizedben végzett paleomágneses vizsgálatok adatait (87 csoportban 646 minta; ebből használható eredménnyel 61 csoportban 421 minta, ld. az I. táblázatban) felhasználva és a Börzsöny új vulkángeometrikai képére [BALLA 1977, BALLA 1978] támaszkodva paleomágneses rétegtani vázlatot dolgoztunk ki [BALLA—MÁRTONNÉ 1978]. Ebben négy mágneses szintet jelöltünk ki, alulról felfelé  $N_1 R_1 N_2 R_2$  sorrendben.

Az  $R_1$  negatív („reverz”) mágnesezettségű szint látszott leginkább megalapozottnak: 18 pontról származó 20 mintacsoporthoz (I. táblázat és 1. ábra) jellemzete; a minták többségét szubvulkáni képződményből vettük. Ennél biztosan fiatalabb az  $N_2$  pozitív („normál”) mágnesezettségű szint, amelynek kijelölési alapja a magasbörzsönyi rétegvulkán 8 mintacsoporthoz: 6 db lávapadóból, 1 db (69.) a kürtökítöttséből és 1 db (70.) a kürtöt átszelő telérből (I. táblázat és 1. ábra). Az  $N_1$  és az  $R_2$  szint kijelölésének alapja egy-egy biztos helyzetű mintacsoporthoz volt: a vulkáni összlet feküdjének közelében levő lávapadóból vett 19. és az  $N_2$  szint közeiteit áttörő telérből vett 9. számú. A többi mintacsoporthoz földtani helyzetének bizonytalansága miatt besorolásuk (II. táblázat) különböző munkahipotézisek alapján történt.

A korábbi földtani–geofizikai adatok feldolgozásának és értelmezésének előrehaladtával, az ezzel kapcsolatban végzett terepi ellenőrzéseinkkel és a feketepataki kaldera ( $Fpk^{**}$ )

\* Magyar Állami Eötvös Loránd Geofizikai Intézet, Budapest.

\*\* Itt és a továbbiakban a rövidítések az 1. és 2. ábrán szereplőkkel azonosak.

A kézirat érkezett: 1979. IV. 13.

Az 1971—76. évi bőrzsönyi paleomágneses minták főbb adatai

sorszám	A mintavételei pont		A mintázott közöttest		Paleomágneses adatok							
	helyénélk		anyaga	telepítés	Közelmágnességi jellemzők		szélesség	hosszúság				
	megnevezése	feltártsgá			Mintaszám	szuszcep-tibili-tás	Koe-nigs-berger vi-szonyosz.	átlagos	szórás	inkli-náció	deklí-náció	
1.	Tomácshegy	túbev.	andezittufa	tufafréchez	6	3,0	13,0	27,5	+42,5	8,0	+58,2	146,1
2.	Tomácshegy	túbev.	(Aug) Hip-andezit	telér?	6	12,3	16,0	27,9	+53,2	6,2	+64,8	132,8
7.	Farkas-völgy	túbev.	Amf-andezit	telér?	4	34,4	6,1	354,9	+75,5	10,7	+75,0	9,8
9.	Rózsaszíkla	szikla	BiAmf-dáicit	telér?	6	26,2	0,13	171,8	-67,2	17,6	-84,2	132,8
10.	Bőrzsöny-patak	kőfejő	Amf-andezit	telér?	9	47,0	0,23	199,2	-48,7	8,4	-66,5	333,0
11.	Kisirtáspuszta	kőfejő	AmfBi-andezit	?	6	4,8	3,1	47,9	+42,8	4,0	+46,0	123,0
13.	Só-hegy	kőfejő	(Pir) BiAmf-andezit	kürtőkit.	6	8,7	0,7	162,9	-47,8	12,3	-66,8	59,8
16.	Négyhányás	útbev.	AmfBi-andezit	teleptel.	6	184,9	-68,1	7,0	-85,4	241,0		
17.	Nőgrádi Várhegy	Bidáicit	BiAmf-dáicit	kürtőkit.	6	2,9	1,6	359,0	+84,0	11,8	+59,8	
18.	Somlyó-hegy	kőfejő	(Pir) AmfBi-andezit	kürtőkit.	10	5,3	0,5	255,2	+67,0	7,6	+27,0	334,3
19.	Kőember-hegy	kőfejő	dáicit	lávapad	12	16,2	1,9	8,6	+71,0	5,2	+80,8	50,8
20.	Mádha-patak	kőfejő	AmfBi-andezit	lakkolit	14	7,6	3,9	237,9	+12,5	3,9	-15,8	317,8
21.	Róka-hegy	kőfejő	Bidáicit	lakkolit	8	2,6	2,5	11,1	+52,4	4,9	+72,9	165,6
22.	Bagdázó-hegy	kőfejő	PirAmf-andezit	lávapad	8	1,0	9,8	357,2	+60,0	4,7	+82,7	215,8
23.	Inoc.	kőfejő	andezit	?	7	20,1	1,6	25,5	+63,6	3,9	+72,3	108,2
24.	Kereki-hegy	kőfejő	(Hip) AmfBi-andezit	szubvulk.	6	16,0	3,1	142,5	-50,1	3,9	-56,9	91,8
26.	Malom-völgy	kőfejő	Amf-dáicit	lakkolit	7	9,0	2,6	164,8	-70,8	13,3	-78,1	152,1
27.	Csákhegy, Fehérkő	kőfejő	(Hip) AmfBi-andezit	lakkolit	8	5,7	6,0	134,2	-69,7	5,3	-61,0	137,4
28.	Cerina	kőfejő	BiAmf-andezit	szubvulk.	9	12,3	1,2	153,2	-84,0	8,1	+53,3	215,2
29.	Pop-hegy	kőfejő	AmfBi-andezit	szubvulk.	8	61,6	1,0	120,6	-69,2	10,5	-52,9	139,3
31.	Peres-hegy-alja	kőfejő	Amf Bi-dáicit	teleptel.	7	174,4	-40,9	5,7	-65,1	31,2		
32.	Aranysos-kút	kőfejő	AmfBi-andezit	telér?	3	335,5	+67,0	12,5	+73,8	304,3		
33.	Pokol-völgy	kőfejő	(BiAmf) Pir-andezit	?	6	2,0	170,3	-71,1	7,2	-80,3	164,7	
34.	Kospallagi út	kőfejő	Pir-andezit	lávapad	8	23,6	2,2	350,1	+23,3	6,8	+29,5	99,6
35.	Závaz	kőfejő	BiAmf-andezit	szubvulk.	6	36,0	1,0	75,3	+46,0	18,1	-72,9	332,1
36.	Nagy-Koppány	kőfejő	BiAmf-andezit	útbev.	6	195,2	-54,5	9,4	-29,5	11,0	-76,5	333,6
37.	Szárvaskői út				4			192,1	-57,1			

38.	Szavaskő	útbev.	andezit	13	186,5	-42,5	5,2	-66,2	4,2
39.	Szavaskő	útbev.	andezittaifa		162,6	-31,2	10,0	-55,8	49,5
40.	Szavaskői út	útbev.	andezittaifa		219,0	-64,6	7,7	-63,7	277,3
41.	Szavaskői út	útbev.	andezit		174,1	-57,7	2,7	-79,5	45,2
42.	Ábrahám-kert	kőfejtő	AmfBi-andezit		9	36,4	+71,2	5,0	+66,5
43.	Pokol-völgy	kőfejtő	Bi-dáicit		7	179,0	-68,8	7,6	-83,6
44.	Hársas-alja	kőfejtő	BiAmf-andezit		?	11	172,7	-22,7	14,6
45.	Briezka	útbev.	(Hip)BiAmf-andezit		11	162,2	-66,7	8,5	-78,2
46.	Márianosztra	útbev.	(Hip)BiAmf-andezit		5	217,9	-61,9	13,2	-63,3
47.	Bőszöb	útbev.	AmfBi-andezit		?	8	206,3	-79,7	6,1
48.	Bőrzsóny-liget	kőfejtő	andezittaifa		10	354,3	+57,8	4,7	-64,5
49.	Bőrzsóny-liget	útbev.	Amf-andezit		?	5	349,5	+59,2	5,2
50.	Hártó-kut	kőfejtő	andezittaifa		10	1,9	+61,1	9,2	+79,1
51.	Pusztorony	meder	BiAmf-andezit		?	6	8,8	+31,6	14,2
54.	Négyhányas	útbev.	AmfBi-andezit		10	184,7	-72,3	12,7	+79,7
55.	Királyréti	útbev.	BiAmf-dáicit		7	318,5	+51,5	11,6	-224,6
56.	Korompa-patak	szikla	andezittaifa		4	15,3	+38,6	8,5	246,4
57.	Pusztorony	útbev.	Amf-andezit		4	30,8	-13,0	13,7	185,0
58.	Nagy-Sas-hegy	szikla	Pir-andezit		8	169,2	-36,2	7,4	+58,4
60.	Lajos-forrás	szikla	BiAmf-andezit		?	8	314,3	--	12,7
61.	Szénás-hegy	szikla	PirAmf-andezit		7	344,1	+69,7	11,6	-80,0
62.	Korom-bérce	szikla	(Amf)Pir-andezit		6	334,3	+66,4	6,2	+53,1
63.	Nagy-Inoc	szikla	(Amf)Pir-andezit		6	13,3	+71,7	14,5	+277,4
64.	Ökresz-kert	meder	(Pir)Amf-andezit		6	333,8	+15,3	13,1	+73,0
69.	Csarna-patak	útbev.	Amf-andezit		5	335,8	+80,3	12,3	+61,1
70.	Német-út	meder	(Amf)Bi-dáicit		3	18,5	+78,0	12,6	+68,7
74.	Kuruc-patak	szikla	andezit		7	175,3	-85,0	10,5	-57,8
76.	Kurta-bérce	szikla	Amf-andezit		5	216,4	-65,9	8,2	-57,8
80.	Hegyes-hegy	szikla	(Hip)Amf-andezit		6	171,6	-57,5	13,8	-197,2
81.	Perőcsény	szikla	(Pir)Amf-andezit		?	5	-69,1	4,8	-78,1
83.	Beszina	szikla	(Hip)AmfBi-andezit		6	188,5	-50,1	6,4	-71,8
86.	Nagy-Hideg-hegy	szikla	AmfPir-andezit		8	358,9	+23,8	5,2	-355,0
87.	Tolvajkút-árka	szikla	AmfBi-andezit		4	31,4	-29,9	9,1	200,8

**Megjegyzés:** az 52. sz. mintacsoporthoz azonos a 31. számúval, ezért a táblázatban külön nem szerepel. Az 54. sz. mintacsoporthoz ugyanontan lett megjelölve, mint a 16. sz., de nem azonos vele, ezért a táblázatban önállóan szerepel.

## II. táblázat

Az 1971—76. évi bőrzsönyi paleomágneses minták régi ① és új ② besorolásának összevetése.

①				②			
N <sub>1</sub>	R <sub>1</sub>	N <sub>2</sub>	R <sub>2</sub>	N <sub>2</sub>	R <sub>1</sub>	N <sub>2</sub>	
(17)				(1) (2) (7)		9 (10)	
19	(18)	13 16		(11)		17 19 21 (22)	9 10 13 16
(21)	(20)			(22) 23		18 20	
		(24) 26 27 28 (29) 31					(11)
		33	(32) (34)		(32)	33	
	(35)	36 37 38 39 40 41			34	35	36 37 38 39 40 41
		43 (44) 45 46 (47)	(42)		(42)		43 (44) 45 46 (47)
				(48) (49) (50) (51)		48 49 50 51	
		54		(55) (56)		(55) 56	54
		58	(58)	61 62 63 64 69 70		(57)	58
				(60)			(60)
		83	(87)	86	(74) (76) (80) (81)	74 76 80 (81) 83	61 62 63 64 69 70
					(87)		86

A zárójelbe tett számok bizonytalan besorolást jelentenek

III. táblázat

Az 1977. évi börzsönyi paleomágneses minták főbb adatai

sorszám	A mintavételi pont		A mintázott köztestet		Köztermágnességi jellemzők				Paleomágneses adatok			
	megnevezése	helyének felártásága	anyaga	település	Miniataszam	szusz-cep-tibili-tás × 10 <sup>-4</sup> CGS	Koe-nig-ber-ger-ví-szonyz.	átlagos dekli-náció	szórás inkli-náció	virtuális póluskoordiná-ták		
										széles-ség	hosszú-ság	
88.	Pintér-bérc E	szikla	AmfPir-andezit	telér	8	0,44	9,1	343,2	+77,8	12,0	+69,4	0,0
90.	Csarna-patak Ny	szikla	PirAmf-andezit	lávapad	8	0,23	0,64	339,3	+61,4	14,2	+74,5	276,2
92.	Miklós-teiő	szikla	andezit	lávapad	3	7,5	7,7	26,7	+ 6,9	8,7	+40,0	163,2
94.	Várkuti forrás	szikla	andezit	lávapad	4	22	1,4	28,4	+46,6	11,0	+60,2	141,1
96.	Magyar-hegy	szikla	andezit	lávapad	6	17	2,8	343,2	+54,2	12,3	+71,9	248,1
97.	Bószob	szikla	BiAmf-andezit	szubvulk.	6	3,1	5,8	175,7	-60,9	4,7	-83,3	47,3
98.	Hegyeshegy-orom	szikla	andezit	lávapad	5	15	0,82	1,4	+62,1	11,8	+85,3	186,4
99.	Deszkás-patak	szikla	andezit	lávapad	10	13	2,3	333,3	+49,2	5,1	+62,9	257,5
101.	Magas-Tax	szikla	andezit	lávapad	6	8,1	19	297,0	+43,1	14,9	+36,1	287,4
102.	Tó-lak	szikla	andezit	lávapad	6	7,9	1,3	337,7	+58,8	15,0	+71,9	269,5
103.	Templom-völgy	szikla	andezit	lávapad	7	27	1,1	23,2	+49,4	5,6	+65,0	145,5
104.	Lofarú hegy	szikla	andezit	lávapad	6	18	1,2	342,8	+61,2	8,3	+76,6	270,2
105.	NagyIndó Ny	szikla	andezit	lávapad	8	6,9	2,8	24,0	+32,5	5,8	+53,9	157,7
132.	Halyagos-oldal	szikla	andezit	telér	9	14	1,8	313,7	+70,8	5,9	+60,9	320,8

## IV. Táblázat

Az 1977—78. évi dunazugi paleomágneses minták főbb adatai

Sorszám	A mintatávítési pont		anyaga	telepítése	A mintázott közötttest		Közvetmágnesességi jellemzők	Paleomágneses adatok							
	megnevezése	helynének			Miniatűrzsáma	$\times 10^{-4}$		szusz-cep-cep-tilis-tás	Koe-nig-berger-ví-szonyz.	szorás	inkli-náció	virtuális pólusköordiná-ták			
106.	Hidgellő-körzet	kőfejtő	PirAmf-andezit	telér	6	26	0,49	105,2	+15,0	8,7	-4,3	92,5			
107.	Prépost-hegy K	kőfejtő	AmfPir-andezit	szubvulk.	8	13	2,2	180,3	-55,5	8,0	-78,0	17,8			
108.	Dömösi út, 44 Km	kőfejtő	PorAmf-andezit	szubvulk.	7	18	0,66	199,8	-73,9	8,8	-73,4	235,0			
109.	Ördög-bánya	kőfejtő	BiAmf-andezit	szubvulk.	7	2,7	17	206,5	-53,7	3,1	-66,0	314,0			
110.	Mátyás-hegy	kőfejtő	Amf-andezit	szubvulk.	7	19	0,39	171,6	-74,8	8,6	-75,7	182,5			
111.	Szamar-hegy	kőfejtő	Amf-andezit	telér	4	12	13	125,7	+32,9	4,7	-8,2	70,3			
112.	Ördög kúllója	kőfejtő	BiAmf-andezit	szubvulk.	6	14	3,3	162,8	-48,9	5,5	-67,6	61,2			
113.	Diszsnós-hegy	útbev.	Amf-andezit	szubvulk.	8	8,7	36	196,2	-69,4	5,5	-78,5	256,4			
114.	Apátkútúti völgy	útbev.	BiAmf-andezit	szubvulk.	7	22	3,5	167,6	-54,1	4,9	-73,8	58,2			
115.	Apátkútúti völgy	kőfejtő	AmfPir-andezit	szubvulk.	8	4,0	43	193,2	-48,1	10,2	-68,6	307,9			
116.	Csödi-hegy	kőfejtő	BiAmf-andezit	szubvulk.	7	7,6	0,30	192,8	-51,8	5,2	-71,7	342,4			
117.	Csödi-hegy	kőfejtő	BiAmf-andezit	szubvulk.	7	9,0	0,46	192,6	+ 3,3	7,1	-39,2	2,6			
119.	Pilisszentélek	útbev.	Bi-andezit	szubvulk.	8	5,0	1,1	19,9	+44,0	13,2	+62,9	156,7			
121.	Öregviz-patak	szikla	andezitufa	tufaréteg	5	5,9	0,13	132,2	-63,1	16,6	-57,3	121,3			
122.	Pilisszentélek	szikla	Bi-andezit	telér	8	3,2	1,0	150,4	-36,1	8,8	-53,3	69,9			
123.	Csikóváralja	szikla	andezit	szubvulk.	9	0,87	18,3	140,7	-60,0	6,0	-61,4	109,4			
124.	Cser-forrás	útbev.	Bi-andezit	szubvulk.	6	2,3	1,2	172,4	-36,9	7,0	-62,0	34,2			
126.	Bükkiös-patak	szikla	horzsás tufit	tufaréteg	7	4,8	0,19	174,4	-63,11	14,9	-84,9	70,4			
129.	Öregviz-patak	szikla	horzsás tufit	tufaréteg	8	0,43	0,65	354,5	+46,8	14,2	+69,6	213,0			
130.	Bükkiös-patak	szikla	andezit	szubvulk.	8	1,8	1,3	222,3	-47,2	4,9	-52,1	304,5			
135.	Kekkuti bánya	kőfejtő	horzsás tufit	szubvulk.	5	3,8	3,4	74,9	-49,9	5,5	-13,2	140,4			
136.	Hanvaskő	szikla	útbev.	tufaréteg	8			186,1	-55,4	13,4	-77,2	356,0			
137.	Miklós-forrás	útbev.	horzsás tufa	tufaréteg	5			178,4	-45,4	13,3	-69,0	22,9			
138.	Kanyargós-patak	útbev.	horzsás tufa	tufaréteg	7			200,3	-47,4	8,5	-65,1	332,6			

nagy részének CSONGRÁDI J. és NAGY B. (Magyar Állami Földtani Intézet) által végzett részletes földtani felvételével a munkahipotézisek egy része helytelennek bizonyult, így egyes mintacsoportok átsorolása vált szükségessé.

A magnetosztratigráfiai vázlat ellenőrzésére CSONGRÁDI J. és KORPÁS L. (Magyar Állami Földtani Intézet), valamint HAVAS L. (Eötvös Loránd Geofizikai Intézet) 1977 folyamán 173 mintát gyűjtött 23 csoportban (használható eredmény: 14 csoport 92 mintából, ld. a III. táblázatban), ezen belül 20 mintacsoportot a magasbörzsönyi vulkanitokból és hármat a Börzsöny egyéb képződményeiből. Az új gyűjtés megerősítette az  $N_2$  szint kijelölését és lehetővé tette a hegyháti szomma besorolását.

Mindezzel párhuzamosan a Dunazug-hegységben 1977–78 folyamán BERECZIK P. és NÁNDORI GY. (Magyar Állami Földtani Intézet), valamint HAVAS L. (Eötvös Loránd Geofizikai Intézet) 212 mintát vett 29 csoportban (használható eredmény: 24 csoport 166 mintából, ld. a IV. táblázatban), ami megeremtette a dunazugi magnetosztratigráfiai vázlat kidolgozásának alapjait és a börzsönyi skálával való párhuzamosítás lehetőségét.

Az említett mintacsoport-átsorolások és az új gyűjtések szükségessé teszik az eredmények összefoglalását.

## 2. A börzsönyi vulkanitok magnetosztratigráfiaja

Az egységesen középső miocén (bádeni) korú börzsönyi vulkáni összletet három rétegtani egységre tagoljuk [BALLA 1977]:

1. Alsó alösszlet, közvetlenül a feküyüdékekre települve: hegységperemi, *külső vulkányűrű* [perőcsényi (P), kámori (KÁ), nógrádi (V), magyarkúti (Mk), Börzsönyligeti (Bl), pusztatoronyi (Pt) vulkán]. A hegység belsejében nagy vastagságú (max. 500 m) átmeneti vulkáni – üledékes szakaszként fejlődött ki [BALLA – KORPÁS 1979].

2. Középső alösszlet, a hegység belsejében a nagy vastagságú átmeneti vulkán – üledékes szakaszra települve: a központi boltozattal kapcsolatos *belső vulkányűrű* [sóhegyi (S), nagykoppányi (N), hegyeshegyi (H), gallai (G) és kopaszhegyi (V) vulkán]. Szubvulkáni fáciesbe tartozik az irtáspusztai kiemelkedés (Ipk) üledékeit áttörő valamennyi intrúzió és a feketepataki kaldera (Fpk) fenekén előjövő intrúziók többsége.

3. Felső alösszlet, a hegység belsejében a középső, az É-i és K-i hegységperemen pedig az alsó alösszletre települve: hegyháti – magasbörzsönyi (Hh – Mb) *kettős szomma-vulkán*.

A fenti rétegtani vázlat egyes elemei a korábbi összefoglalásunk alapját képező felfogáshoz viszonyítva módosultak vagy teljes egészükben újak, ami az 1977. előtt nyert paleomágneses irányok zónabesorolásának megváltoztatását igényli. Az 1977-től vett mintákat már e vázlat alapján minősítjük.

### *Az 1977 előtti minták újraértékelése*

A Börzsöny DK-i részén vett pozitív mágnesezettségű mintacsoportokat most az alsó alösszletből származtatjuk (1. ábra), ezen belül a 34., 51. és 56. számú a pusztatoronyi (Pt) és a 48–50. számú a börzsönyligeti (Bl) vulkán anyagából. Rétegtani helyzetük alapján az  $N_1$  szintbe sorolandók, ugyanoda, ahova a K-i hegységperem mintacsoportjai (2. táblázat).

A magasbörzsönyi rétegvulkántól (Mb) DK-re gyűjtött pozitív mintacsoportok helyzete változatlanul kérdéses. Figyelembe véve, hogy ez a terület a vulkáni összlet alsó, átmeneti vulkáni – üledékes szakaszának vastagságcsökkenési (Ny-ról K-re) övébe esik, valószínűbbnek látjuk, hogy az  $N_1$  szintbe tartoznak, a nógrádi Vár-hegy (17.) analógjaként. A velük egy területen előforduló képződményekből vett negatív mágnesezetességű 29. és 44. mintacso-

portot már az R<sub>1</sub> szintbe soroljuk, az irtáspuszta kiemelkedés (Ipk) egységes negatív foltjának leszakadó K-i nyúlványaként.

*Az irtáspuszta kiemelkedéstől (Ipk) ÉNy-ra vett 1–2. és 7. pozitív mintacsoportot a magasbörzsönyi rétegvulkánnak (Mb) a börzsönpataki kaldera (Bpk) által behorpasztott DNy-i szektorából származtatjuk s változatlanul az N<sub>2</sub> szintbe soroljuk.*

A 10. és 80. mintacsoportot a *hegyeshegyi kürtőkitöltés* (H) valószínűsítésével és helyzetének a börzsönpataki kaldera (Bpk) É-i peremén való rögzítésével [BALLA—KORPÁS 1979] a középső alösszletnek megfelelő R<sub>1</sub> szintbe soroljuk át, s feltételezzük, hogy a magasbörzsönyi rétegvulkán (Mb) Ny-i lábazata mentén keskeny sávban vagy apró foltokban e képződmények ÉÉK felé is nyomozhatók lennének. Ebből kiindulva az R<sub>1</sub> szintbe soroljuk át a 81. mintacsoportot is.

*A feketepataki eróziós kaldera* (Fpk) rétegsorának megismérésével [BALLA—KORPÁS 1979] kiderült, hogy a 9., 74. és 76. mintacsoport a középső alösszlet szubvulkáni fáciesébe tartozó képződményekből származik, vagyis az R<sub>1</sub> szintbe sorolható. Így megszűnt az R<sub>2</sub> szint kijelölésének alapja, s a magnetosztratigráfiai vázlat N<sub>1</sub>R<sub>1</sub>N<sub>2</sub> alakra redukálódott.

### *Az 1977 évi minták értékelése*

A magasbörzsönyi vulkanitok (Mb) továbbmintázása előtt kettős feladat állt: kiterjeszteni a korábban csak a D—DK-i lejtőre koncentrált mintázást a szembenlevő É—ÉNy-ira s ezzel meggöződni arról, hogy a csapás mentén követett rétegescsoportban a mágneszettség állandó marad. A feladatot mindenkor vonatkozásban megoldottuk, s jelenleg a *magasbörzsönyi rétegvulkán* (Mb) felső, mintegy 150–200 m vastag rétegcsoportjának egységes pozitív mágneszettségét egyértelműen bizonyítottuk (90., 92., 94., 96., 101–105.). A *kurucbéri kürtőkitöltésből* (K) és a sugárírányú telérekből csak egy-egy mintacsoport (132. és 88.) adott használható eredményt; megerősítették a korábbi képet, mely szerint a kürtőkitöltés és a radiális telérek anyaga ugyanolyan mágneszettségű, mint a rétegvulkáni felépítmény, tehát a vulkánszerkezeti helyzet mellett szintén alátámasztja genetikai összetartozásukat.

A *hegyháti szomma* (Hh) anyagát a pozitív 99. mintacsoport képviseli, összhangban azzal a feltételezésekkel, hogy a hegyháti és magasbörzsönyi egység kettős szomma-vulkánt képez, ezért ezt a mintacsoportot az N<sub>2</sub> szintbe soroljuk.

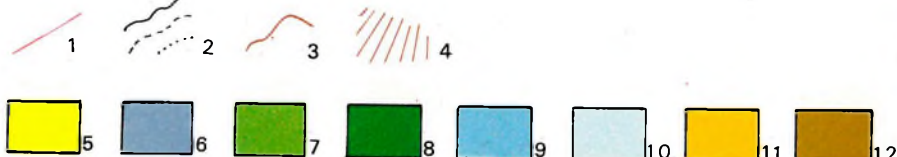
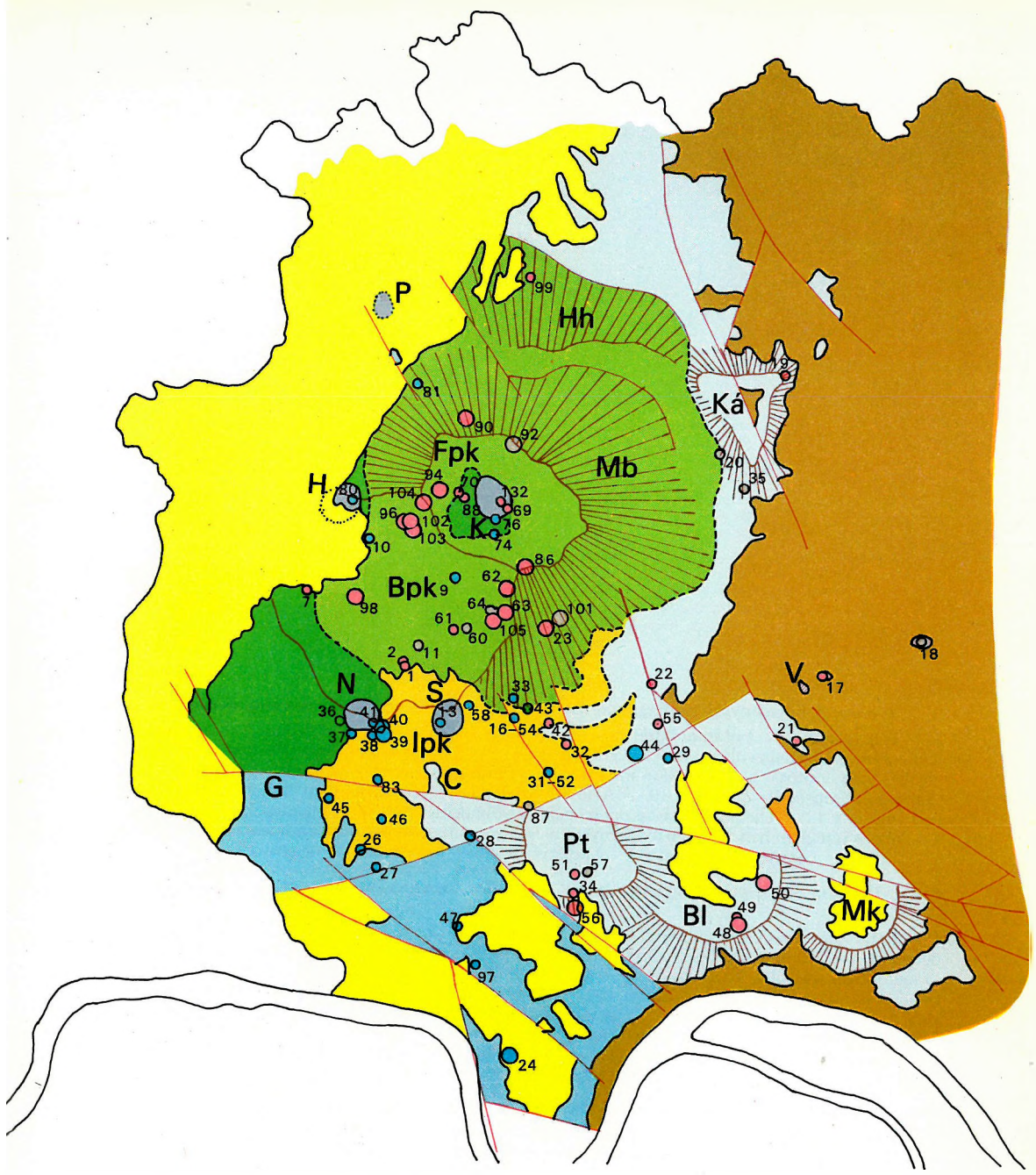
A *börzsönpataki kalderából* (Bpk) vett újabb mintacsoport (98.) is pozitív, a szomszédos 1–2. és 7. számúakkal egyezően. Így helyzetét is azonosnak tekintjük azokéval s az N<sub>2</sub> szintbe soroljuk.

*Az irtáspuszta kiemelkedéstől (Ipk) D-re negatív mintacsoportok* (47. és 24.) jelentek meg az egységesen pozitív pusztatoronyi—börzsönyligeti (Pt—Bl) vulkánoktól Ny-ra. Ellenőrzésképpen vettük a két régebbi között a 97. mintacsoportot, amely szintén negatív mágneszettségűnek bizonyult, igazolva, hogy az R<sub>1</sub> szint közelei D felé folyamatosan követhetők.

Az újabb adatok tehát teljes mértékben beilleszthetők a korábbi vizsgálatok nyomán kialakult képhez, sőt azt pontosabbá teszik, előrevetítve egy mágneses szinttérféle elkészítésének lehetőségét.

### **3. A dunazugi vulkanitok magnetosztratigráfiaja**

A Dunazug-hegység 1977. évi újratérképezése (Magyar Állami Földtani Intézet—Eötvös Loránd Geofizikai Intézet) nyomán nagy vonalakban tisztázódott a vulkánszerkezeti kép [BALLA—CSONGRÁDI—KORPÁS 1977]. Két fő, közöttanilag és vulkanológiaileg jól elkülönülő



13a ○ 14a ○ 14b ○ 14c ○ 0 5 10 km  
13b ○

*1. ábra.* A börzsönyi paleomágneses mintacsoportok helyzete a vulkántektonikai képben

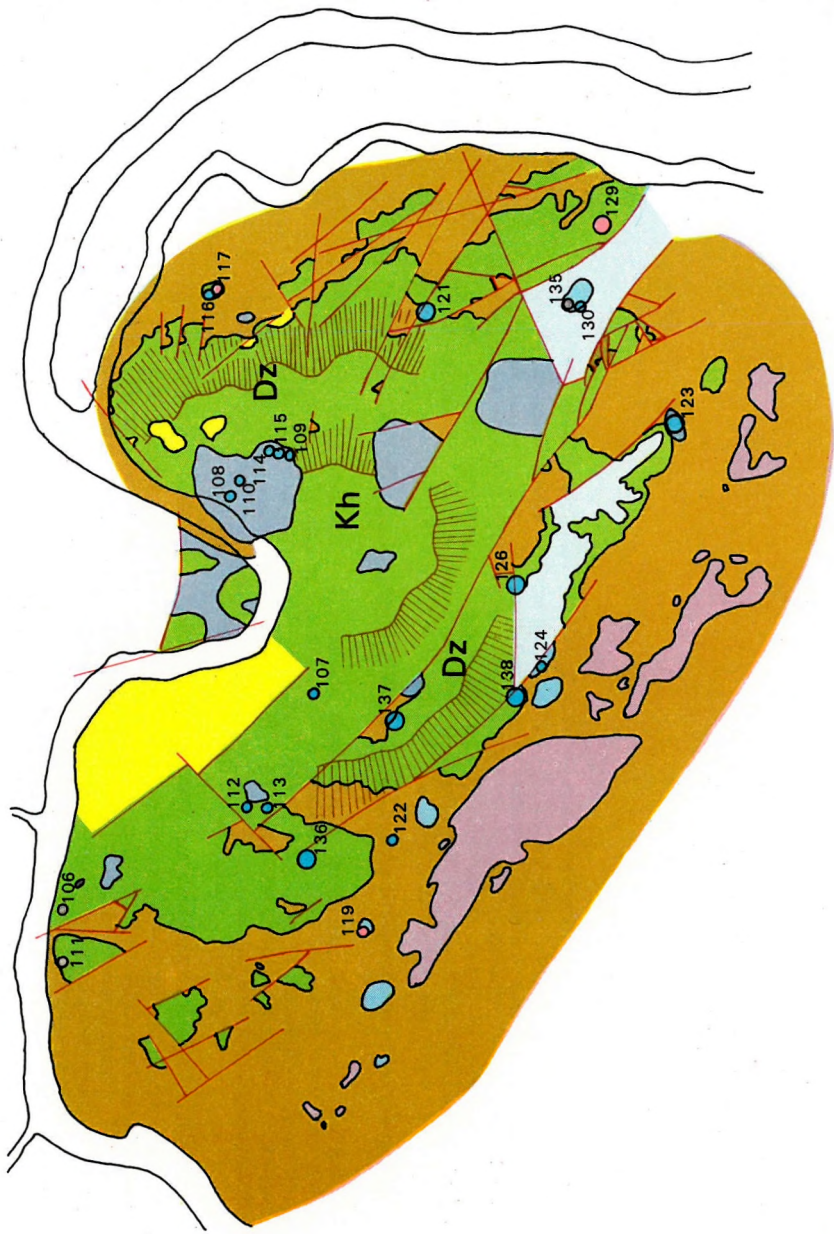
1 — Törésvonal; 2 — Földtani határ: a — követett, b — feltételezett, c — fedett; 3 — Eróziós kalderaperem; 4 — Rétegvulkáni kúp lejtőmaradványa; 5 — Üledékes fedőösszlet (bádeni); 6 — Kúrtókitöltés vagy fontosabb szubvulkáni intrúzió; 7 — Felső alösszlet; 8 — Középső alösszlet; 9 — Felosztatlan középső-alsó alösszlet; 10 — Alsó alösszlet; 11 — Nagyvastagságú vulkáni-üledékes átmeneti tagozat; 12 — Üledékes feküösszlet (rupéli—alsóbádeni); 13 — Paleomágneses mintavételi pont: a — biztos rétegtani helyzetű képződményen, b — bizonytalan helyzetű képződményen; 14 — Remanens mágnesezettség: a — pozitív (N), b — átmeneti, c — negatív (R)

*Fig. 1. Position of the paleomagnetic sample groups for the Börzsöny Mts. in the volcano-tectonic picture*

1 — Fault line; 2 — Geologic boundary: a — traced, b — assumed, c — covered; 3 — Erosion caldera rim; 4 — Remnant slope of a stratovolcanic cone; 5 — Sedimentary cover (Badenian); 6 — Plugs or significant subvolcanic intrusion; 7 — Upper subformation; 8 — Middle subformation; 9 — Undivided middle—lower subformation; 10 — Lower subformation; 11 — Thick volcanic—sedimentary transitory formation; 12 — Sedimentary formation underlying the volcanoes (Rupelian—Lower Badenian); 13 — Paleomagnetic sampling localities; a — from a stratigraphically identifiable formation, b — from an uncertain formation; 14 — Remanent magnetization: a — normal (N), b — intermediate, c — reserve (R)

*Фиг. 1. Пункты отбора палеомагнитных проб на фоне вулкано-тектоники Бёржёньских гор*  
1 — Разрывное нарушение; 2 — Геологическая граница. а — прослеженная, б — предполагаемая, в — закрытая; 3 — Эрозионный край кальдеры; 4 — Остатки склонов вулканического конуса; 5 — Толща перекрывающих отложений (баденский ярус); 6 — Некк или важная для структуры субвулканическая интрузия; 7 — Верхняя подсвита; 8 — Средняя подсвита; 9 — Нерасчлененные средняя—нижняя подсвиты; 10 — Нижняя подсвита; 11 — Вулканогенно-осадочная толща переходной значительной мощности; 12 — Толща подстилающих отложений (рупельский—баденский ярусы); 13 — Точка отбора палеомагнитных проб: а — из вулканитов надежного стратиграфического положения, б — из вулканитов неясного стратиграфического положения; 14 — Остаточная намагниченность: а — положительная (N), б — переходная, в — отрицательная (R)

10 km  
5  
0



- 1
- 2
- 3
- 4
- 5
- 6
- 7
- 8
- 9
- 10
- 12a ○
- 12b ○
- 13a ○
- 13b ○
- 13c ○

*2. ábra.* A dunazugi paleomágneses mintacsoportok helyzete a vulkántektónikai képben  
 1 — Törésvonal; 2 — Eroziós kálderaperem; 3 — Földtani hajár; 4 — Rétegvulkáni kúp lejtőjére maradványai; 5 — Üledékes fedőösszet (bádeni); 6 — Subvulkáni andezit; 7 — Andezites rétegvulkáni összet; 8 — Szubvulkáni dácit; 9 — Dácticos rétegcsoport; 10 — Üledékes fektüösszet (rupeli-alsóbádeni); 11 — Triász mészkő-dolomit; 12 — Paleomágneses mintavételei pont; a — biztos rétegtani helyzetű képződményen, b — bizonytalan helyzetű képződményen; 13 — Remanens mágnesezetsége: a — pozitív (N), b — átmenneti, c — negatív (R)

*Fig. 2.* Position of the paleomagnetic sample groups for the Dunazug Mts. in the volcano-tectonic picture

1 — Fault line; 2 — Erosion caldera rim; 3 — Geologic boundary; 4 — Remnant slope of a stratovolcanic cone; 5 — Sedimentary cover (Badenian); 6 — Subvolcanic andesite; 7 — Andesitic stratovolcanic beds; 8 — Subvolcanic dacite; 9 — Dacitic beds; 10 — Underlying sediments (Rupelian—Badenian); 11 — Triassic limestone—dolomite; 12 — Paleomagnetic sampling locality: a — from a stratigraphically identifiable formation, b — from an uncertain formation; 13 — Remanent magnetization: a — normal (N), b — intermediate, c — reverse (R)

*Фиг. 2.* Пункты отбора палеомагнитных проб на фоне вулкано-тектоники Дуназутских гор  
 1 — Разрывное нарушение; 2 — Эрозионный край кальдеры; 3 — Геологическая граница; 4 — Остатки склонов вулканического купола; 5 — Толща перекрывающих отложений (баденский ярус); 6 — Субвулканические андезиты; 7 — Стратовулканическая толщина андезитового состава; 8 — Субвулканические дакиты; 9 — Дацитовая толщая; 10 — Толща подстилающих отложений (рупельский—баденский ярусы); 11 — Триасовые известняки—доломиты; 12 — Точка отбора палеомагнитных проб: а — из вулканитов надежного стратиграфического положения; 13 — Остаточная намагниченность: а — положительная (N), б — переходная, в — отрицательная (R)

egység jelölhető ki: a DNy-i peremen húzódó „dácitos” extrúzió-sor és a hegység főtömegét elfoglaló andezites kettős szomma-vulkán: a külső, idősebb dunazugi (Dz) és a belső, fiatalabb keserűshegyi (Kh) vulkán együttese (2. ábra). A „dácitos” közletek a rétegsor alsó részén, de nem legalján fordulnak elő s ÉK felé gyorsan kiékelődnek.

A dunazugi mintacsoportok döntő többsége negatív mágnesezettségűnek bizonyult; a közletek zöme a szubvulkáni fáciesbe tartozik s a feküvonaltól efelett 300—500 m-ig fordul elő, az idősebb, dunazugi rétegvulkán (Dz) maradványait képező szomma-gyűrű anyagát áttörve. Ugyanilyen negatív mágnesezettségűek a vulkáni összlet feküvonálának közelében tufából vagy tufitból vett mintacsoportok (136—138.) is Mindeme képződményeket egy és ugyanazon dunazugi R<sub>1</sub> szintbe soroljuk, amelybe az itteni vulkáni összletnek legalábbis az alsó része tartozik.

Pozitív mágnesezettségű a DNy-i peremi „dácitos” sáv ÉNy-i részén vett 119. és a szentendrei süllyedékben tufitból vett 129. mintacsoport. Mindkettő helyzete bizonytalan; valószínűnek látjuk, hogy az R<sub>1</sub> alatti bázisszintbe tartoznak.

Nyitott kérdés maradt a központi helyzetű, tehát legfiatalabb, keserűshegyi andezites rétegvulkán (Kh) közleteinek mágnesezettsége, mivel ezekből nem vettünk mintákat. Lávapadok feltűnő hiánya miatt a dunazugi paleomágneses rétegsor tisztázása csak a piroklasz-tikumok mintázásával lesz elérhető.

#### 4. Az átmeneti mágnesezettség problematikája

A mágneses szintbeosztás kidolgozásához és a szinttérkép szerkesztéséhez felhasznált pozitív és negatív mágnesezettségű mintacsoportok mellett a Börzsönyben és Dunazugban szép számban fordulnak elő átmeneti mágnesezettségűek is. Átmenetinek általában azokat az irányokat tekintik, amelyeknek a +60° és –60° szélességek közé eső virtuális pólusok felelnek meg. Ez a meghatározás elméletileg nincs megalapozva, és a paleomágneses megfigyelések ből nem lehet általánosan érvényes határt húzni az évszázados változás és a térfordulás okozta irányeltérések közé.

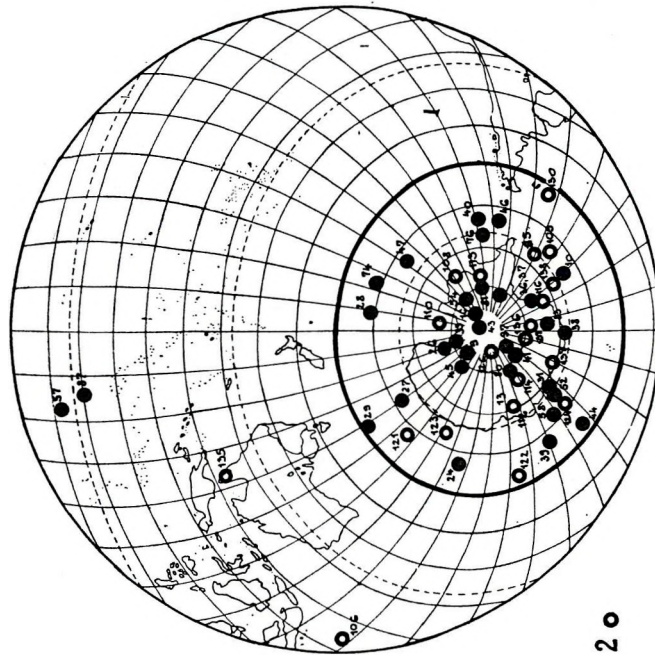
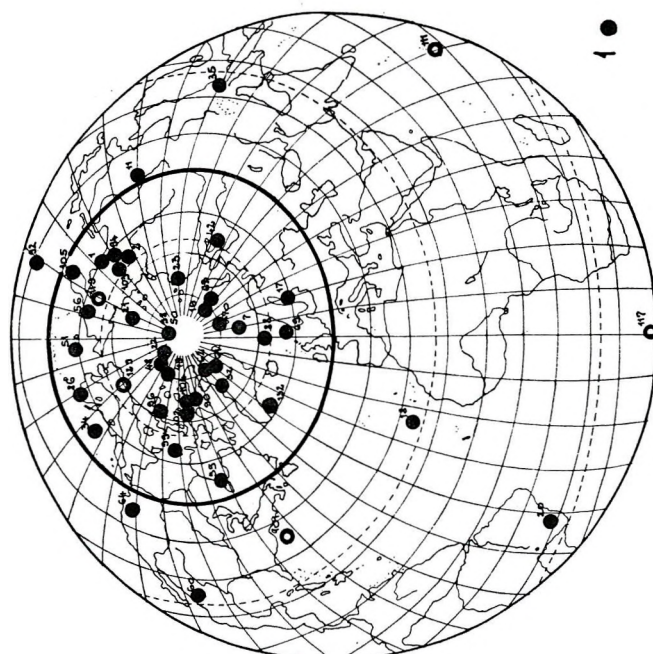
A Börzsöny és a Dunazug vulkanitja közül átmeneti mágnesezettségűnek tekintjük azokat, amelyekből a meghatározott virtuális pólusok (3. ábra) a +50° és a –50° szélességek közé esnek. Ezt a meggondolást az alábbi okok miatt tettük:

a) A börzsönyi—dunazugi közettípustból meghatározott virtuális pólusok gyakorisága ± 50°-nál kisebb szélességeken ugrásszerűen csökken.

b) Egyedi mintavételi helyekre vonatkozó irányokat utólagos 20—30°-os kibillenések is módosították. A mozgások mértékét pontosan nem ismerjük, ezért iránykorrekciót nem végezhetünk. A kibillenések hatására azonban a különben csak az évszázados változásból származó irányszórás megnövekszik.

A térfordulások jelentős irányváltozással járó időtartama kb. 2000 év; ez igen rövid a stabil mágneses időszakokéhoz képest, amelyek a neogénben átlagosan kb. 200 000 évig tartottak [MC ELHINNY 1973]. Az átmeneti irányok részaránya ezért — egy időszakot egyenletesen kitöltő vulkáni működés és reprezentatív mintavétel esetén — legfeljebb néhány százalék. A Börzsöny- és a Dunazug-hegységben az átmeneti irányok részaránya 14,4%. Mivel majdnem száz eredményes meghatározásunk van, a sok átmeneti irányra külön magyarázat szükséges, amire az alábbi lehetőségeket látjuk:

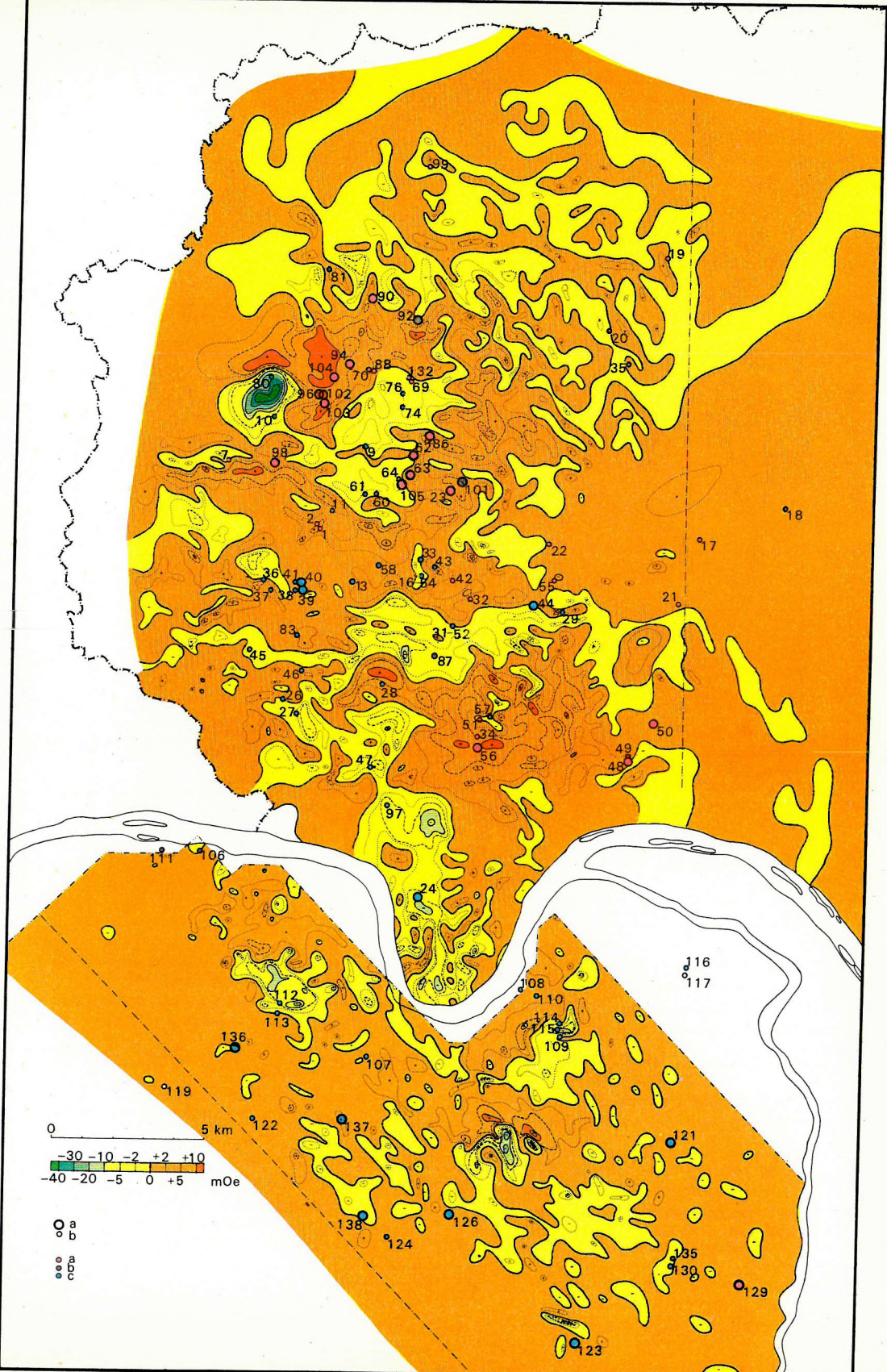
1. Az utólagos kibillenések helyenként a feltételezettnél nagyobb mérvűek.
2. A jelentős irányváltozásnak kb. 2000 évre becsült időtartama nem általános érvényű, ennek többszöröse is lehetséges.
3. A börzsönyi—dunazugi vulkáni működés intenzívebb volt az átmeneti időszakokban.



3. ábra. Virtuális pólusok; Börzsöny–Dunazug-hegység  
1—Börzsönyi mintacsoport; 2—dunazugi mintacsoport

Fig. 3. Virtual poles; Börzsöny–Dunazug Mts.  
1—Samples from the Börzsöny Mts; 2—Samples from the Dunazug Mts.

Фиг. 3. Виртуальные полюсы; Бёржёнские и Дуназутские горы.  
1—Группы проб из Бёржёнских гор; 2—Группы проб из Дуназутских гор



4. ábra. A Börzsöny- és a Dunazug-hegység légimágneses  $\Delta T$ -térképe paleomágneses mintavételi pontokkal. Repülési magasság 50 m (KOMÁROMY I.-HOFFER E. térképe alapján)

1 — Paleomágneses mintavételi pont: a — biztos rétegtani helyzetű képződményen, b — bizonytalan helyzetű képződményen; 2 — Remanens mágnesezettség: a — pozitív (N), b — átmeneti, c — negatív (R)

Fig. 4. Aeromagnetic  $\Delta T$  map of the Börzsöny and Dunazug Mts. with paleomagnetic sampling localities. Flight height 50 m (after KOMÁROMY and HOFFER)

1 — Paleomagnetic sampling localities: a — from a stratigraphically identifiable formation, b — from an uncertain formation; 2 — Remanent magnetization: a — normal (N), b — intermediate, c — reverse (R)

Фиг. 4. Аэромагнитная карта  $\Delta T$  Бёржёньского и Дуназугского горных массивов. Высота полета 50 м. Составлена на основе карты И. Комароми и Э. Хоффера

1 — Точка отбора палеомагнитных проб: а — из вулканитов надежного стратиграфического положения, б — из вулканитов неясного стратиграфического положения; 2 — Остаточная намагниченность: а — положительная (N), б — переходная, с — отрицательная (R)

A börzsönyi – dunazugi átmeneti irányokat adó képződmények egymásutánját nem ismerjük. Ugyancsak kevés az ismeretünk az egyes térfordulások menetéről, ezért az átmeneti irányokban rejlő finom korrelációs lehetőséget ma még nem tudjuk kihasználni.

A Dunazug-hegységen két helyen észleltük, hogy egyazon szubvulkáni test két pontján a mágnesezettség iránya különböző, ezek a következők:

1. Csódi-hegy: a 116. csoport negatív, a 117. pedig átmeneti mágnesezettségű.

2. Bükkös-patak, Kékkút bánya: a 130. csoport negatív, a 135. pedig átmeneti mágnesezettségű.

Ebből arra következtetünk, hogy a szubvulkáni testek teljes kihülésének időtartama összemérhető egy-egy térfordulási időszak időtartamával.

### 5. A dunazugi és a börzsönyi mágneses szintek párhuzamosítása

A dunazugi és a börzsönyi mágneses szintek azonosítását a paleomágneses eredmények és légiomágneses térkép (4. ábra) összevetésével kíséreljük meg, mivel a két paleovulkánt elválasztó délbörzsönyi területen az erős fedettség miatt a földtani szintkövetés igen bizonytalan. Az irtáspuszta kiemelkedéstől (Ipk) délre a Börzsönyben és az egész Dunazug-hegységben a kontrasztos anomáliák javarésze negatív, némelyek közülük É–D irányítottsággal. Ez önmagában véve is arra mutat, hogy a területen negatív mágnesezettségű közettestek vannak. A börzsönyi paleovulkán centrumának részét képező irtáspuszta kiemelkedéstől (Ipk) összefüggő, közel É–D-i negatív anomáliasáv húzódik a Dunáig, ahol már a balparton is a dunazugi paleovulkán maradványai vannak [BALLA–CSONGRÁDI–KORPÁS 1977]. E negatív anomáliasáv területén és környékén vett paleomágneses mintacsoportok mágnesezettsége kivétel nélkül negatív. Kézenfekvő tehát az irtáspuszta kiemelkedéseken (Ipk) biztosan jelenlevő börzsönyi  $R_1$  szintet a már a Duna-balparton megjelenő (24) dunazugi  $R_1$  szinttel párhuzamosítunk. Ebből az is következik, hogy a börzsönyi  $N_1$  és a dunazugi  $N_1$  is azonos (5. ábra), bár az utóbbi kijelölése kevésbé biztos. Kérdéses a börzsönyi  $N_2$  szint dunazugi jelenléte, esetleg a kescrűshegyi rétegvulkán anyagában, amelyből eddig nem vettünk mintát.

A légiomágneses térképen (4. ábra) zárt gyűrűszerű pozitív anomáliacsoportokkal jelentkeznek a magasbörzsönyi (Mb) és a pusztatoronyi (Pt) vulkán maradványai (1. ábra). A paleomágneses vizsgálatok szerint mindenkor pozitív remanens mágnesezettségű közetekből áll. Az eddig említett területek; ahol a mágneses anomáliák, továbbá a paleomágneses és a földtani adatok egybeesése megfelelő volt, a börzsönyi és a dunazugi vulkáni hegyládéknek legalább a felét teszik ki. Ennek alapján e három adatcsoport segítségével kísérletet tesszünk mágneses szinttérkép (6. ábra) szerkesztésére.

E szinttérkép csak a vulkáni összletre vonatkozik; kisvastagságú üledékekkel fedett vulkanitokat még minősítettünk (Dél-Börzsöny, Ny-i hegységperem). A szerkesztés során földtani adatokat az  $N_2/N_1$  határ, továbbá a feküvonál kijelölésénél és a Börzsöny északi harmadát felépítő vulkanitok minősítésénél vettünk figyelembe.

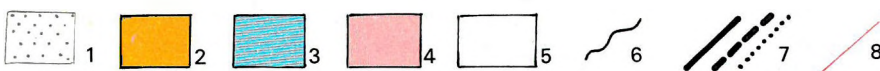
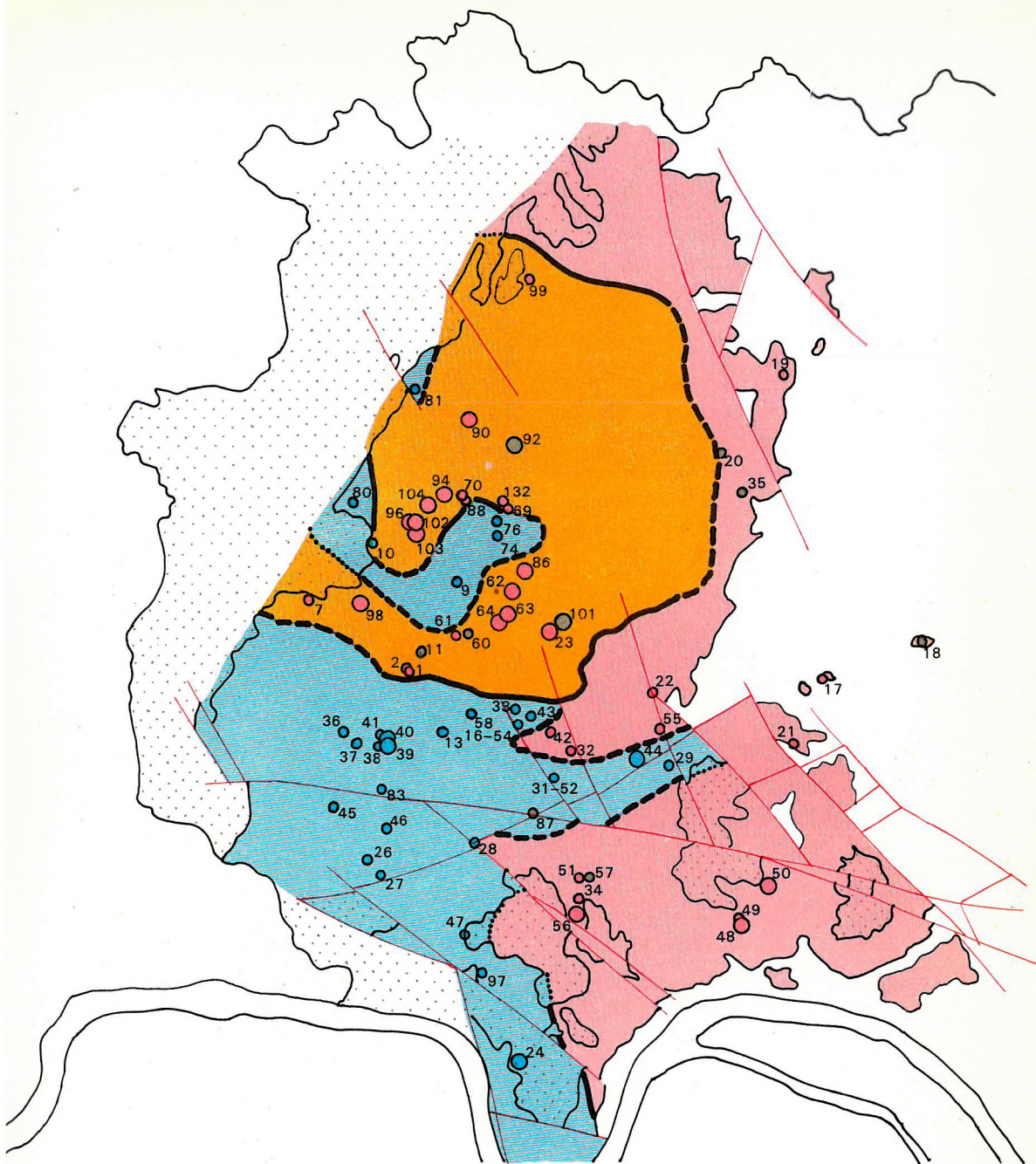
A mágneses anomáliákép kialakításában igen nagy szerepe van a szubvulkáni intrúzióknak, ezért a szinthatárok, legalábbis részben, nem rétegtani kontaktusokkal, hanem szubvulkáni intrúziók elterjedési területének körvonalaival esnek egybe. A vázlatos földtani térkép (1. ábra) viszont éppen a szubvulkáni intrúziók elhagyásával készült, s a követett vagy feltételezett rétegtani határokat ábrázolja. Ezért a földtani térkép és a mágneses szinttérkép egyelőre jelentős eltéréseket mutat.

Az eltérések kiküszöböléséhez elsősorban arra volna szükség, hogy a földtani térképen elkülönítsük a szubvulkáni intrúziókat. Emellett azonban a paleomágneses mintavételi háló sűrítése is célszerű lenne, elsősorban azokon a területrészeken, ahol a szinthatárok bizonytalanok: az  $R_1$  szint D-i, K-i és É-i nyúlványain.

Dunazug				Börzsöny			
Összevonva	Rétagtani egységek		mágneses szintek	Rétegtani egységek		Összevonva	
	DNy-i dácitos sor	andezit-vulkán		mágneses szintek	központi részeken		
dunazugi rétegvulkáni összlet			R <sub>1</sub>	N <sub>2</sub>	felső alösszlet		
	lomhegyi dácitos rétegszoport	dobogóköi andezites rétegszoport	N <sub>1</sub>	R <sub>1</sub>	középső alösszlet		
üledékes feküösszlet				N <sub>1</sub>	átmeneti vulkáni-üledékes tagozat	alsó alösszlet	
					üledékes feküösszlet	börzsönyi rétegvulkáni összlet	

5. ábra. A Börzsöny- és a Dunazug-hegység mágneses szintbeosztása

Megjegyzés: a dunazugi rétegvulkáni összlet bázisszintjei valószínűleg börzsönyi eredetű anyagból állnak, azonban egyelőre nem különíthetők el



9a○ 10a○  
9b○ 10b○ 0 5 10 km  
10c○

*6. ábra. A Börzsöny-hegység mágneses szinttérképe  
(előzetes vázlat)*

1 — Üledékes fedőösszet; 2 — Felső pozitív szint ( $N_2$ ); 3 — Középső negatív szint ( $R_1$ ); 4 — Alsó pozitív szint ( $N_1$ ); 5 — Üledékes feküösszlet; 6 — Földtani határ; 7 — Mágneses szinthatárok: a — biztos, b — feltételezett, c — fedett; 8 — Törésvonal; 9 — Palomágneses mintavételi pont: a — biztos rétegtani helyzetű képződményen, b — bizonytalan helyzetű képződményen; 10 — Remanens mágnesezettség: a — pozitív (N), b — átmeneti, c — negatív (R)

*Fig. 6. Map of the magnetic zones of the Börzsöny Mts. (preliminary sketch)*

1 — Sedimentary cover; 2 — Upper normal zone ( $N_2$ ); 3 — Middle reverse zone ( $R_1$ ); 4 — Lower normal zone ( $N_1$ ); 5 — Underlying sediments; 6 — Geologic boundary; 7 — Boundaries between magnetic zones: a — certain, b — assumed, c — covered; 8 — Fault line; Paleomagnetic sampling locality: a — form a statigraphically certain formation, b — from an uncertain formation; 10 — Remanent magnetization: a — normal (N), b — intermediate, c — reverse (R)

*Фиг. 6. Карта магнитных горизонтов Бёржёньских гор (предварительная схема)*

1 — Толща перекрывающих отложений; 2 — Верхний положительный горизонт ( $N_2$ ); 3 — Средний отрицательный горизонт ( $R_1$ ); 4 — Нижний положительный горизонт ( $N_1$ ); 5 — Толща подстилающих отложений; 6 — Геологическая граница; 7 — Границы магнитных горизонтов: а — надежные, б — предполагаемые, с — закрытие; 8 — Разрывное нарушение; 9 — Точка отбора палеомагнитных проб: а — из вулканитов надежного стратиграфического положения, б — из вулканитов неясного стратиграфического положения; 10 — Остаточная намагниченность: а — положительная (N), б — переходная, с — отрицательная (R)

## IRODALOM

- BALLA Z. 1977: Helyzetkép a Börzsöny-hegység földtani felépítésére és ércsedésére vonatkozó adatok egységes értelmezéséről. Magyar Állami Fötvös Loránd Geofizikai Intézet 1976. évi jelentése, 20—37.
- BALLA Z. 1978: A Magas-börzsönyi paleovulkán rekonstrukciója. Földtani Közlöny 108. 2, 119—136.
- BALLA Z.—CSONGRÁDI J.—KÖRPÁS L. 1977: Isztorija formirovaniya i vozraszt Berzenyevskogo i Dunazugskogo paleovulkanov. Acta geologica, 21, 4, 379—407.
- BALLA Z.—KÖRPÁS L. 1979: A Börzsöny-hegység vulkáni szerkezete és fejlődéstörténete. Magyar Állami Földtani Intézet Évi jelentése 1978-ról. In press.
- BALLA Z.—MÁRTONNÉ SZALAY E. 1978: A börzsönyi vulkáni összlet paleomágneses rétegsora. Magyar Geofizika XIX, 2, 51—59; 3, 114—120.
- MCÉLHINNY, M. W. 1973: Paleomagnetism and plate tectonics. Cambridge University Press.

Z. BALLA\*—E. MÁRTON\*

### MAGNETOSTRATIGRAPHY OF THE BÖRZSÖNY AND DUNAZUG MOUNTAINS

The Börzsöny and Dunazug Mts. in the Danube Bend above Budapest consist of M. Miocene (Badenian) andesitic volcanoes whose volcano-tectonic picture is still problematic. In their stratigraphic study paleomagnetic investigations have an ever increasing role.

The uniformly M. Miocene (Badenian) volcanic formation of the *Börzsöny Mts.* is divided into three stratigraphic units (Fig. 1).

1. Lower subformation, immediately overlying the sedimentary cover: in the mountain rim *outer volcanic ring* [Perőcsény (P), Kámor (Ká), Nógrád (V), Magyarkút (Mk), Börzsönyliget (Bl), Pusztaföldvár (Pt) volcanoes]. Inside the mountains the formation evolved as a thick (max. 500 m) transitory volcanic—sedimentary section.

2. Middle subformation, overlying—inside the mountains—the thick transitory volcanic—sedimentary section: *inner volcanic ring* connected to the central dome [Sóhegy (S), Nagykoppány (N), Hegyeshegy (H), Galla (G) and Kopaszhegy (C) volcanoes]. All the intrusions breaking through the Irtáspuszta elevation (Ipk) and the majority of those at the bottom of the Feketepatak (Fpk) caldera belong to the subvolcanic facies.

3. Upper subformation, overlying—inside the mountains—the middle one, in the mountain rim the lower one: Hegyhát—Magasbörzsöny (Hh—Mb) *double somma-volcano*.

The magnetostratigraphy was previously based on 61 groups of samples collected before 1977 from the Börzsöny Mts. [Z. BALLA and E. MÁRTON 1978], when four magnetic zones had been pointed out, from below upwards, as  $N_1R_1N_2R_2$ . According to the above-described stratigraphic picture magnetostratigraphy should be reduced to  $N_1R_1R_2$  where the magnetic zones correspond to the substrata identified on a volcano-tectonic basis.

In the Dunazug Mts. two main, lithologically and volcanologically well-distinguishable, units can be found: the „dacitic” extrusion-chain at the SW rim and the andesitic double somma-volcano constituting the main massive, i.e. the ensemble of the outer, older Dunazug (Dz) and the inner, younger Keserűshegy (Kh) volcanoes (Fig. 2). “Dacitic” rocks lie at the lower, but not lowest, part of the section and rapidly pinch out north-eastwards.

The majority of “dacitic” extrusions, all subvolcanic intrusions penetrating the older Dunazug (Dz) stratovolcano not higher than 300—500 m above the underlying sediments and the tuffs and tuffites near the bottom of the stratovolcano (136—138) are of reverse magnetization. We classify all these formations within the same Dunazug zone R<sub>1</sub> containing at least the lower part of the local volcanic formations.

Sample group No. 119 from the NW part of the „dacitic” SW rim and No. 129 from the tuffite of the Szentendre basin are normally magnetized. The classification of both of them is uncertain, they probably belong to the basis level below R<sub>1</sub>.

The magnetization of the rocks of the Keserűshegy andesitic stratovolcano (Kh) has remained an open question because of lack of samples.

\* Hungarian Geophysical Institute “Loránd Eötvös”, Budapest.

Manuscript received: 13. 4. 1979.

Table I

Tab. I

Main data of paleomagnetic samples collected in the years 1971—1976. Büszsány Mts.

## Важнейшие параметры палеомагнитных проб, отобранных в Бёржёнский горах в 1971—76 гг.

No.	Sampling point		Sampled rock		Paleomagnetic data					
	name	location	material	deposition	magnetic parameters		mean		virtual pole coordinates	
					$\chi$	$10^{-4}$ cgs	$Q$	D	I	$\alpha$
1.	Tolmács hegység	road cut	andesite tuff	tuff bed	6	3.0	13.0	27.5	+42.5	8.0
2.	Tolmács hegység	road cut	(Aug)Hip-andesite	vein?	6	12.3	16.0	27.9	+53.2	6.2
7.	Farkas-völgy	road cut	Amf-andesite	vein?	4	34.4	6.1	354.9	+75.5	10.7
9.	Rózsaszíkla	cliff	BiAmf-dacite	vein?	6	26.2	0.13	171.8	-67.2	17.6
10.	Börzsöny-patak	quarry	Amf-andesite	vein?	9	47.0	0.23	199.2	-48.7	8.4
11.	Kisritáspuszta	quarry	AmfBi-andesite	?	6	4.8	3.1	47.9	+42.8	4.0
13.	Só-hegy	quarry	(Pir)Amf-andesite	plug	6	8.7	0.7	162.9	-47.8	12.3
16.	Négyhánya	road cut	AmfBi-andesite	bed-vein	6			184.9	-68.1	7.0
17.	Nógrádi Várhely	Bi dacite	plug	6	2.9	1.6	359.0	+84.0	11.8	+59.8
18.	Somlyó-hegy	quarry	BiAmf-dacite	plug	10	5.3	0.5	255.2	+67.0	7.6
19.	Kőember-hegy	quarry	(Pir)AmfBi-andesite	lava	12	16.2	1.9	8.6	+71.0	5.2
20.	Mána-patak	dacite	laccolith	laccolith	14	7.6	3.9	237.9	+12.5	3.9
21.	Róka-hegy	quarry	AmfBi-andesite	?	8	2.6	2.5	11.1	+52.4	4.9
22.	Bajdázo-hegy	quarry	Bi-dacite	laccolith	8	1.0	9.8	357.2	+60.0	4.7
23.	Inóc	quarry	PirAmf-andesite	lava	7	20.1	1.6	25.5	+63.6	3.9
24.	Kerek-hegy	andesite	?	?	6	16.0	3.1	142.5	-50.1	3.9
26.	Malom-völgy	quarry	(Hip)AmfBi-andesite	subvolcano	7	9.0	2.6	164.8	-70.8	13.3
27.	Csákhegy, Fehérkő	quarry	Amf-dacite	laccolith	8	5.7	6.0	134.2	-69.7	5.3
28.	Cerina	quarry	(Hip)AmfBi-andesite	laccolith	9	12.3	1.2	153.2	-84.0	8.1
29.	Pap-hegy	quarry	BiAmf-andesite	subvolcano	8	61.6	1.0	120.6	-69.2	10.5
31.	Peres-hegy-alja	quarry	AmfBi-andesite	subvolcano	7			174.4	-40.9	5.7
32.	Aranysokút	quarry	AmfBi-dacite	bed-vein	3			335.5	+67.0	12.5
33.	Pokol-völgy	quarry	AmfBi-andesite	vein?	6	2.9	2.0	170.3	-71.1	7.2
34.	Kospalagi út	quarry	(BiAmf)Pir-andesite	lava	8	23.6	2.2	350.1	+23.3	6.8
35.	Závoz	quarry	Pirandesite	subvolcano	6	36.0	1.0	75.3	+46.0	18.1
36.	Nagy-Koppány	subvolcano	BiAmf-andesite	subvolcano	6	195.2	-54.5	9.4	-72.9	322.1
37.	Szavarskói út	road cut	BiAmf-andesite	subvolcano	4			192.1	-57.1	11.0

38.	Szárvaskő	road cut	andesite	andesite	subvolcano	13	4.2
39.	Szárvaskő	road cut	andesite tuff	tuff bed	tuff bed	8	-66.2
40.	Szárvaskő út	road cut	andesite tuff	tuff bed	subvolcano	6	49.5
41.	Szárvaskő út	road cut	andesite	subvolcano	10	277.3	
42.	Ábrahám-kert	quarry	AmfBi-andesite	vein	9	45.2	
43.	Pokol-völgy	quarry	Bi-dacite	vein	7	75.8	
44.	Hársas-alja	quarry	BiAmf-andesite	?	6	190.8	
45.	Brietzka	quarry	(Hip)BiAmf-andesite	subvolcano	11	30.9	
46.	Márianosztra	road cut	(Hip)BiAmf-andesite	subvolcano	5	122.1	
47.	Bőszöb	road cut	AmfBi-andesite	?	8	285.0	
48.	Börzsöny-liget	quarry	andesite tuff	tuff bed	10	219.5	
49.	Börzsöny-liget	road cut	Amf-andesite	?	5	219.5	
50.	Hártó-kút	quarry	andesite tuff	tuff bed	10	224.6	
51.	Puszta-torony	river bed	BiAmf-andesite	?	6	246.4	
54.	Négyhányas	road cut	AmfBi-andesite	bed vein	10	185.0	
55.	Királyrét	road cut	BiAmf-dacite	vein	7	182.7	
56.	Körrompa-patak	cliff	andesite tuff	tuff bed	4	213.7	
57.	Puszta-torony	road cut	Amf-andesite	vein	4	213.7	
58.	Nagy-Sas-hegy	cliff	Pir-andesite	vein	8	277.4	
60.	Lajos-forrás	road cut	BiAmf-andesite	?	8	163.3	
61.	Széna-hegy	cliff	PirAmf-andesite	lava	7	40.1	
62.	Koron-bérce	cliff	(Amf)Pir-andesite	andesite tuff	4	251.9	
63.	Nagy-Inoc	cliff	(Amf)Pir-andesite	lava	6	168.4	
64.	Ókész-kert	river bed	(pir)Amf-andesite	lava	6	168.4	
69.	Csarna-patak	road cut	Amf-andesite	plugs	5	168.4	
70.	Német-kút	river bed	(amf)Bi-dacite	vein	3	324.0	
74.	Kuruc-patak	cliff	Amf-andesite	subvolcano	7	301.7	
76.	Kurta-bérce	cliff	(Hip)Amf-andesite	subvolcano	5	57.2	
80.	Hegyes-hegy	quarry	(Pir)Amf-andesite	plug	6	236.5	
81.	Pércsény	quarry	(Hip)AmfBi-andesite	?	5	1.2	
83.	Bezina	quarry	AmfPir-andesite	subvolcano	6	38.9	
86.	Nagy-Hidde-hegy	cliff	AmfBi-andesite	lava	8	197.4	
87.	Tolvajkút-árka	quarry	AmfBi-andesite	subvolcano	4	274.5	

 $Q = \text{Koenigsberger ratio}$  $\alpha = \text{radius of confidence circle at } 95\% \text{ level}$ 

Note: sample group No 52 is equal to No 31, therefore is not listed separately. Location of sample group No 54 is equal to location of No 16, but the samples are different, therefore listed separately.

Причение: проба № 52 тождественна пробе № 31, поэтому в таблице отсутствует, проба № 54 взята с того же пункта, что и проба № 16, но не тождественна ей, поэтому в таблице приводится самостоятельно.

*Table II*

## Comparision of former ① and present ② magnetostратigraphy for the Börzsöny Mts.

Табл. II

## **Сопоставление прежних ① и новых ② датировок палеомагнитных проб, отобранных в Бёргёйских горах в 1971—76 гг.**

①				②			
N <sub>1</sub>	R <sub>1</sub>	N <sub>2</sub>	R <sub>2</sub>	N <sub>1</sub>			N <sub>2</sub>
		(1) (2) (7)		9 (10)		9 10 13 16	(1) (2) (7)
(17)	(18)	13 16	(11)		17	18	
19	(20)		(22) 23		19	20	
(21)		(24) 26 27 28 (29) 31			21 (22)		23
	(35)	33	(32) (34)		(32)		(24) 26 27 28 (29) 31
		36 37 38 39 40 41			34	35	33
		43 (44) 45 46 (47)	(42)		(42)		36 37 38 39 40 41
		54	(48) (49) (50) (51)		48 49 50 51		43 (44) 45 46 (47)
		58	(55) (56)		(55) 56		54
			(58)	(60)		(57)	58
							(60)
			61 62 63 64 69 70			74 76 80 (81) 83	61 62 63 64 69 70
		83		(74) (76) (80) (81)		(87)	86
			(87)	86			

Numbers in brackets mean uncertain classification

Числа в скобках означают неопределённые датировки

Table III

Табл. III.

Main data of paleomagnetic samples collected in 1977, Börzsöny Mts.

## Важнейшие параметры палеомагнитных проб, отобранных в Бергёньских горах в 1977 г.

№	Sampling point		Sampled rock		magnetic parameters		Paleomagnetic data			
	name	location	material	deposition	$\chi$	$Q$	mean		$\alpha$	$\varphi$
							D	I		
88.	Pinter-bérc É.	cliff	AmfPir-andesite	vein	8	0.44	9.1	343.2	+77.8	12.0
90.	Csarna-patak Ny	cliff	PirAmf-andesite	lava	8	23.0	0.64	339.3	+61.4	14.2
92.	Miklós-teő	cliff	andesite	lava	3	7.5	7.7	26.7	+6.9	8.7
94.	Várkúti forrás	cliff	andesite	lava	4	22.0	1.4	28.4	+46.6	11.0
96.	Magyar-hegy	cliff	andesite	lava	6	17.0	2.8	343.2	+54.2	12.3
97.	Bőszob	quarry	BiAmf-andesite	subvolcano	6	3.1	5.8	175.7	-60.9	4.7
98.	Hegyeshegy-orom	cliff	andesite	lava	5	15.0	0.82	1.4	+62.1	11.8
99.	Deszkás-patak	cliff	andesite	lava	10	13.0	2.3	333.3	+49.2	5.1
101.	Magas-Tax	cliff	andesite	lava	6	8.1	19.0	297.0	+43.1	14.9
102.	Tó-lak	cliff	andesite	lava	6	7.9	1.3	337.7	+58.8	15.0
103.	Templom-völgy	cliff	andesite	lava	7	27.0	1.1	23.2	+49.4	5.6
104.	Lófarú negy	cliff	andesite	lava	6	18.0	1.2	342.8	+61.2	8.3
105.	Nagy-Inóc Ny	cliff	andesite	lava	8	6.9	2.8	24.0	+32.5	5.8
132.	Falyagos-oldal	cliff	andesite	vein	9	14.0	1.8	313.7	+70.8	5.9

Table IV

Main data of paleomagnetic samples collected in 1977–78, Dunazug Mts.

Tabl. IV.

## Важнейшие параметры палеомагнитных проб, отобранных в Дунаzugских горах в 1977–78 гг.

№	Sampling point		Sampled rock		Paleomagnetic data					
	name	location	material	deposition	magnetic parameters		mean		virtual pole coordinates	
					$\chi$	$10^{-4}$ cgs	Q	D	I	$\alpha$
106.	Hüdékkelő-kereszt	quarry	PirAmf-andesite	vein	6	26.0	0.49	105.2	+15.0	8.7
107.	Prépost-hegy K	quarry	AmfPir-andesite	subvolcano	8	13.0	2.2	180.3	-55.5	8.0
108.	Dömbösi út, 44 km	quarry	PirAmf-andesite	subvolcano	7	18.0	0.66	199.8	-73.9	8.8
109.	Ördög-banya	quarry	BiAmf-andesite	subvolcano	7	2.7	17.0	206.5	-53.7	3.1
110.	Mátyás-hegy	quarry	Amf-andesite	subvolcano	7	19.0	0.38	171.6	-74.8	8.6
111.	Szamári-hegy	quarry	Amf-andesite	vein	4	12.0	13.0	125.7	+32.9	4.7
112.	Ördög kúlöje	quarry	BiAmf-andesite	subvolcano	6	14.0	3.3	162.8	-48.9	5.5
113.	Disznós-hegy	road cut	Amf-andesite	subvolcano	8	8.7	26.0	196.2	-69.4	5.5
114.	Apatkuti völgy	road cut	BiAmf-andesite	subvolcano	7	22.0	3.5	167.6	-54.1	4.9
115.	Apatkuti völgy	quarry	AmfPir-andesite	subvolcano	8	4.0	43.0	193.2	-48.1	10.2
116.	Csödi-hegy	quarry	BiAmf-andesite	subvolcano	7	7.6	0.30	192.8	-51.8	5.2
117.	Csödi-hegy	quarry	BiAmf-andesite	subvolcano	7	9.0	0.46	192.6	+3.3	7.1
119.	Pliszsantílek	Bi-andesite	Bi-andesite	subvolcano	8	5.0	1.1	19.9	+44.0	13.2
121.	Öregvíz-patak	cliff	andesite tuff	tuff bed	5	5.9	0.13	132.2	-63.1	16.6
122.	Pliszsantílek	cliff	Bi-andesite	vein	8	3.2	1.0	150.4	-36.1	8.8
123.	Csikováralja	andesite	andesite	subvolcano	9	0.87	18.3	140.7	-60.0	6.0
124.	Cser-forrás	road cut	Bi-andesite	subvolcano	6	2.3	1.2	172.4	-36.9	7.0
126.	Bükökös-patak	cliff	pumiceous tuff	tuff bed	7	4.8	0.19	174.4	-63.1	14.9
129.	Öregvíz-patak	cliff	pumiceous tuff	tuff bed	8	0.43	0.65	354.5	+46.8	14.2
130.	Bükökös-patak	cliff	andesite	subvolcano	8	13.0	222.3	-47.2	4.9	-52.1
135.	Kékktűi bánya	quarry	andesite	subvolcano	5	3.8	3.4	74.9	-49.9	5.5
136.	Hamvaskő	cliff	pumiceous tuff	tuff bed	8	186.1			-55.4	13.4
137.	Miklós-forrás	road cut	pumiceous tuff	tuff bed	5	178.4	-45.4	13.3	-77.2	356.0
138.	Kanyargós-patak	road cut	pumiceous tuff	tuff bed	7	200.3	-47.4	8.5	-65.1	332.6

In the Börzsöny and Dunazug Mts. one frequently encounters *groups with intermediate polarity*. For such samples the virtual poles lie between latitudes +50° and -50° (Fig. 3). In connection with these samples it should be noted that:

a) the relative frequency of magnetic poles determined from the Börzsöny–Dunazug rock samples shows a sudden decrease for latitudes less than ±50°;

b) the directions determined from individual samples could have been affected by tilts of some 20–30°. Since the magnitude of these movements is unknown, their effect cannot be compensated for. Due to these tilts the scatter due to secular variations further increases.

The duration of polarity transitions causing significant changes in orientation is about 2,000 years, this is very short compared with the stable magnetic epochs lasting, on an average, 200,000 years in the Neogene. Consequently, no intermediate directions could be present on more than a few per cent of all samples, assuming uniform volcanic activity through stable epochs and a representative sampling. For the Börzsöny and Dunazug Mts. the relative fraction of samples with intermediate polarity is 14.4%, out of almost one hundred successful determinations.

The following possible explanations for the great number of intermediate directions are given:

1. at certain places the subsequent tilts were greater than assumed;
2. polarity transitions were several times longer than the generally accepted 2,000 years;
3. the Börzsöny–Dunazug volcanic activity was more active during polarity transitions.

At two places in the Dunazug Mts. different magnetizations were found at two points of one and the same subvolcanic body:

1. Csódi Mt.: Group No. 116. reverse, No. 117. intermediate;
2. Bükkös creek, Kékkút mine: Group No. 130 reverse, No. 135 intermediate.

This implies that the time of total cooling down of subvolcanic bodies is comparable with that of the duration of polarity transition.

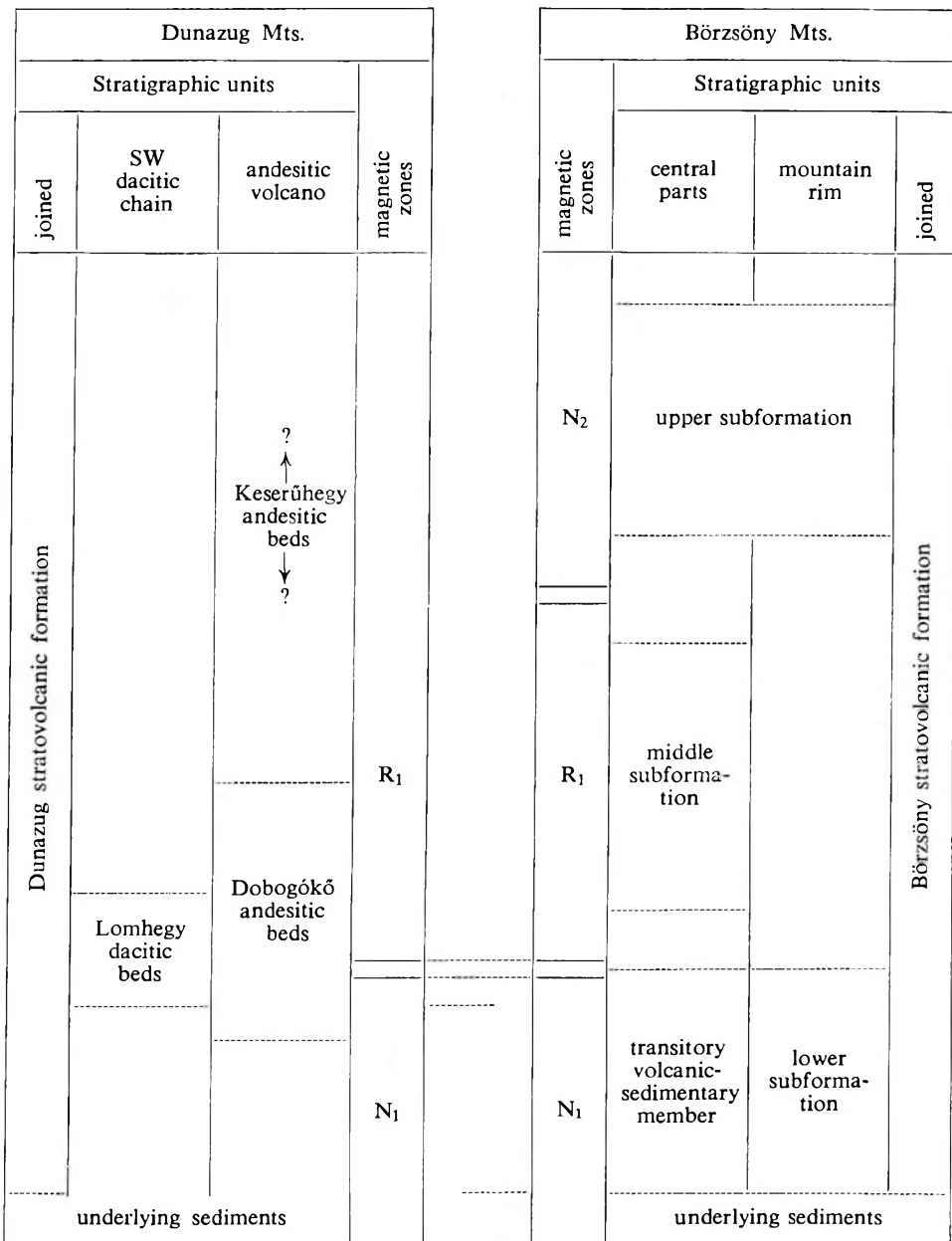
The correlation of the Dunazug and Börzsöny magnetic zones had to be based on a comparison of the paleomagnetic results with the aeromagnetic map (Fig. 4) because the South Börzsöny region separating the two paleovolcanoes is strongly covered thereby making geological correlation uncertain. South of the Irtáspuszta elevation (Ipk) and in the entire Dunazug Mts. most of the outstanding anomalies are negative, some of them N–S oriented. This, in itself, implies that there are rock bodies of negative magnetization in the territory. Starting from the Irtáspuszta elevation (Ipk), forming a part of the centre of the Börzsöny paleovolcano, there is a continuous nearly N–S oriented negative anomaly zone extending as far as the remnants of the Dunazug paleovolcanoes at the left bank of the Danube. Along this anomaly zone, and in its neighbourhood as well, all paleomagnetic sample groups are negatively magnetized. Thus, the R<sub>1</sub> zone of the Börzsöny Mts., being also present at the Irtáspuszta elevation (Ipk), would correspond to the R<sub>1</sub> of Dunazug appearing already at the left bank of the Danube (No. 24). Consequently, the N<sub>1</sub> levels of the Börzsöny Mts. and of the Dunazug could also be identical (Fig. 5), although the latter is somewhat less certain. The N<sub>2</sub> zone of the Börzsöny Mts. has not yet been confirmed in the Dunazug; probably it exists in the Keserűshegy stratovolcano but this has still to be analysed.

On the aeromagnetic map remnants of the Magasbörzsöny (Mb) and Pusztatorony (Pt) volcanoes appear with groups of closed ring-like anomalies (Fig. 1.). According to paleomagnetic studies both consist of normally magnetized rocks. Those areas with fairly good correlation between magnetic anomalies and the paleomagnetic and geologic data amount to at least half of the Börzsöny–Dunazug volcanic mountain range. So, a preliminary magnetic zone map for the territory seems to be justified (Fig. 6).

The map shows the volcanic formations only, including volcanoes with thin sedimentary cover (S. Börzsöny, western rim). In the construction of the map geological information was used to define the N<sub>2</sub>/N<sub>1</sub> boundary, the position of the overburden and to qualify the volcanites forming the northern part of the Börzsöny Mts.

Since the magnetic anomaly picture is strongly influenced by the subvolcanic intrusions, the boundaries between magnetic zones do not always coincide with stratigraphic contacts but rather with the extension of the subvolcanic intrusions. The geologic map of Fig. 1, however, was constructed without taking into account subvolcanic intrusions, it only shows stratigraphic boundaries – either followed or assumed. This explains the significant differences between the geologic map and the map of magnetic zones.

To eliminate these differences we should first of all delimit the subvolcanic intrusions on the geologic map. Of course, it would be even more important to have a more dense paleomagnetic sampling grid, primarily at those places where the magnetic boundaries are uncertain, i.e. at the southern, eastern and northern extensions of the R<sub>1</sub> level.



*Fig. 5. Magnetic zones of the Börzsöny and Dunazug Mts.*

Note: basic zones of the Dunazug stratovolcanic formation probably consist of material originating from the Börzsöny Mts. At present they cannot be separated

*Фиг. 5. Магнитные горизонты Бёржёньских и Дуназугских гор*

Примечание: Базальные горизонты дуназугской стратовулканической толщи, вероятно, состоят из материала бёржёньского происхождения, но пока не могут быть выделены.

З. БАЛЛА — Э. МАРТОН

## МАГНИТОСТРАТИГРАФИЯ БЁРЖЁНЬСКИХ И ДУНАЗУГСКИХ ГОР

Бёржёньские и Дуназугские горы, расположенные в колене Дуная севернее г. Будапешт, сложены вулканитами андезитового состава среднемиоценового (баденского) возраста; их вулканотектоника выясняется лишь в последнее время [BALLA—CSONGRÁDI—KORPÁS 1977]. Изучение стратиграфии проводится в настоящее время, главным методом становится палеомагнитный.

На основании данных по 61 группе проб, отобранных из Бёржёньских гор до 1977 года, нами разработана схема магнитостратиграфии [BALLA—MÁRTONNÉ 1978]. В течение 1977—1978 гг. нами увеличено количество проб из Бёржёни и впервые отобраны пробы из дуназугских вулканитов. На основании 75-и групп проб из Бёржёни (табл. 1, 3, фиг. 1) и 24-х из Дуназуга (табл. 4, фиг. 2) нами уточнена магнитостратиграфическая схема для Бёржёньских гор; с использованием аэромагнитной карты (фиг. 3) составлена карта магнитных горизонтов Бёржёни (фиг. 5) и скоррелированы магнитные горизонты Дуназуга с Бёржёньскими (фиг. 4).

Из прежней магнитостратиграфической схемы вида  $N_1R_1N_2R_2$  для Бёржёни на базе новых геологических данных [BALLA—KORPÁS 1979] исключен самый верхний горизонт  $R_2$  и схема сокращена до вида  $N_1R_1N_2$ . Большая часть вулканитов Дуназуга отнесена к горизонтам  $N_1R_1$  (фиг. 4). Горизонт  $R_1$  непрерывно прослежен из одного массива другой (фиг. 5), так что он может рассматриваться в качестве местного маркирующего горизонта.



## APPROXIMATE GRAPHICAL AND NUMERICAL DETERMINATION OF DENSITIES CORRECTED FOR BOREHOLE DIAMETER

L. ANDRÁSSY\*

Borehole diameters in exploratory drillings vary over a wide range. It should always be kept in mind that the gamma-gamma (density) logs recorded in such holes are seriously affected by the diameter; in view of this, the determination of densities is subject to great errors.

This paper presents approximate graphical and numerical solutions for borehole diameter correction and for determining the corrected densities. The mathematics will be sufficiently simple to allow for interpretation by desk-top computers and, also, to serve as a methodological basis for the development of a  $\varrho$ -processor yielding borehole compensated values *in situ*.

ELGI's up-to-date Modelling Laboratory (with its comprehensive stock of models of natural rock constituents) enabled us to study experimentally the effect of borehole diameter on different kinds of sondes. The graphical and numerical relationships to be presented in the following have been derived on the basis of such measurements.

Performed on standard reference series of layers and in holes of different diameters, measurements have shown that the master curves of the sondes

$$N=f(\varrho, d)$$

exhibit behaviour which differs depending on borehole diameter.

The connection between the slope  $m$  characterizing the master curve and diameter  $d$  is shown in Fig. 1. The connection is linear for both short and long probes.

Having determined the slopes  $m_{sh}$  and  $m_l$  for the short and long probes respectively, we studied the connection between the basis equation (ANDRÁSSY 1978) and borehole diameter. The basis equation can be written as

$$Y_{sh} - Y_l = (m_{sh} - m_l)\varrho + (b_{sh} - b_l)$$

where  $Y_{sh}$ ,  $Y_l$  are logarithms of the counts, normalized to water, measured by the short and long probes respectively;

$M = m_{sh} - m_l$  slope computed from the short and long probes;

$B = b_{sh} - b_l$  represents a constant computed from the ordinate-crossings of the short and long probes.

\* Hungarian Geophysical Institute "Lorand Eötvös" (ELGI) Budapest.  
Manuscript received: 10. 10. 1979.

As an example, Table I shows the  $m_{sh}$ ,  $m_l$  and  $B = b_{sh} - b_l$  values computed from the master curves of the KRGG-2-120-60sY type two-detector sonde:

Table I.

$d$	$m_{sh}$	$m_l$	$M = m_{sh} - m_l$	$B = b_{sh} - b_l$
86	-0.2872	-1.9621	1.6749	-1.7094
150	-0.2837	-1.8515	1.5678	-1.5596
214	-0.2781	-1.7315	1.4338	-1.4219

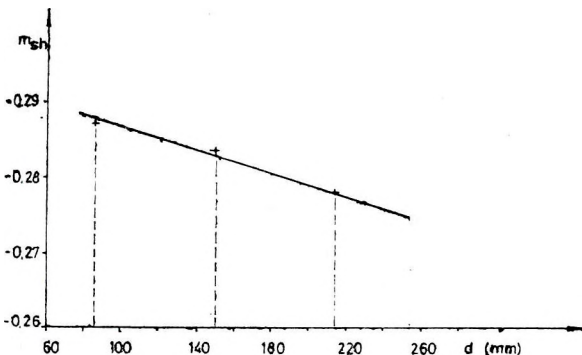
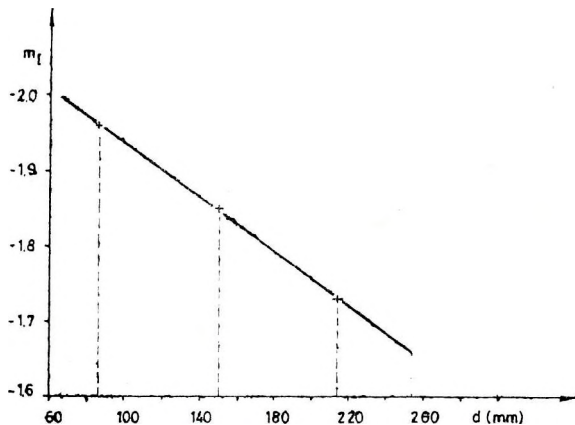


Fig. 1. Connection between borehole diameter ( $d$ ) and slopes ( $m$ ) of the master curves for the short and long sondes, respectively

1. ábra. Összefüggés a fúrólyukátmérő ( $d$ ) és a hosszú, ill. a rövid szonda iránytangens értékei között ( $m_l$ , ill.  $m_{sh}$ )

Рис. 1. Зависимость между диаметром скважины и значениями углового коэффициента длинных ( $m_l$ ) и коротких зондов ( $m_{sh}$ )

The dependence of the  $M$  factor on borehole diameter  $d$  is shown by Fig. 2. The broken line denotes the values of  $B$ .

The linear relations shown in Figs. 1 and 2 can be used for hole-diameter correction. For the computations we first have to adopt some standardizing conditions. Most sondes are generally applied in holes whose diameters range from  $d=86$  mm to  $d=214$  mm. We consider  $d=150$  mm as the *basis diameter* and derive the corresponding basis equation. Next, we

determine the borehole diameter corrections  $\Delta\varrho$ , for diameters smaller and greater, respectively, than  $d=150$  mm.

Expressing the density from the basis equation for the  $d=150$  mm case, we have

$$\varrho = \frac{Y_{sh} - Y_t}{M} + 1 \quad (1.1)$$

where, by Table I,  $M=1.5678$ . The master curve of the sonde for  $d=150$  mm is shown in Fig. 3.

The borehole diameter correction will be determined on the basis of the linear connection between slope  $M$  and diameter  $d$ .

Using the data obtained for borehole diameters greater or less than the basis diameter (test and routine measurements) in the above formula yields apparent density values  $\varrho_{app}$ . It is obvious that the deviations between densities are due to the difference of borehole diameters—these are the borehole diameter corrections  $\Delta\varrho$  sought. For  $d > 150$  mm,  $\Delta\varrho$  is positive, for  $d < 150$  mm it is of negative sign.

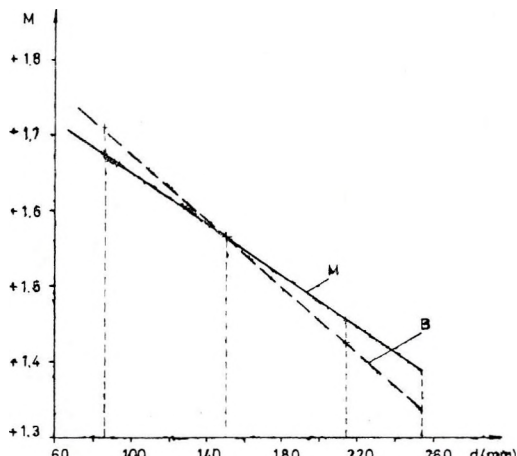


Fig. 2. Connection between borehole diameter and the constants  $M$  and  $B$  figuring in the basis equation

2. ábra. Összefüggés a fúrólyukátmérő és a bázisegyenletben szereplő  $M$  és  $B$  értéke között

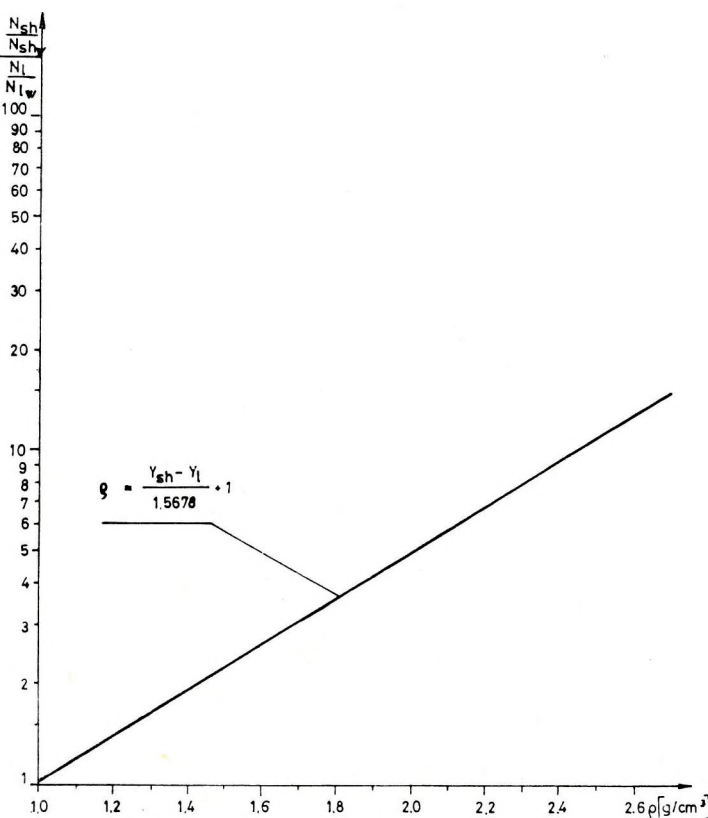
Рис. 2. Зависимость между диаметром скважины и значениями  $M$  и  $B$  в базисном уравнении

Figure 4. shows the relationship between density  $\varrho$ , borehole diameter  $d$  and the correction  $\Delta\varrho$ . Apparent densities are displayed on the horizontal axis, corrections on the vertical one. The parameter of the pencil of straight lines is the borehole diameter  $d$ . The limits corresponding to the density error  $\Delta\varrho = \pm 0.05 \text{ g/cm}^3$  are denoted by the dotted lines. Note that for the basis diameter  $d=150$  mm the apparent density is equal to its diameter corrected value since the  $\Delta\varrho$  correction is evidently zero.

Let us now describe the above diagram mathematically. Generally, we proceed as follows. We determine the equations of any two different lines, say the two denoted by heavy lines in Fig. 4. In the present case the corresponding diameters are  $d=86$  mm and  $D=214$  mm.

$$\Delta\varrho = -m_d\varrho + b_d \quad (d=86 \text{ mm}) \quad (1.2)$$

$$\Delta\varrho = +m_D\varrho - b_D \quad (D=214 \text{ mm}) \quad (1.3)$$



*Fig. 3. Master curve of the two-detector KRGG—2—120—60 sY type sonde for borehole diameter  $d=150$  mm*

*3. ábra. KRGG—2—120—60 sY típusú két-detektoros szonda hitelesítő görbéje  $d=150$  mm-es átmérőre*

*Рис. 3. Аттестационная кривая двухдетекторного зонда типа KRGG—2—120—60 sY при диаметре скважины  $d=150$  мм*

The straight lines (1.2) and (1.3) cross the horizontal axis  $\rho_{app}$  at the respective points  $b_d/m_d$  and  $b_D/m_D$ . Because of the inherent error of the determined parameters, these abscissae could be slightly different. In such a case, we take their mean. For the above-mentioned sonde the abscissa becomes 1.2996 g/cm<sup>3</sup>.

Knowing the slopes  $m_d$  and  $m_D$  in Eqs. (1.2) and (1.3), and assuming a linear variation, we compute the increase of the slope for a change of 1 mm in the diameter:

$$\eta = \frac{m_D - (-m_d)}{D - d} \quad (1.4)$$

If we apply the tangent theorem for the triangle of Fig. 4 the borehole diameter correction  $\Delta\varrho$  becomes

$$\Delta\varrho = (d - 150) \left[ \frac{m_d + m_D}{D - d} \right] (\varrho_{app} - \varrho_{abs. \text{ cross}}) \quad (1.5)$$

where

$$\varrho_{abs. \text{ cross}} = - \frac{m_D b_d + m_d b_D}{2m_d m_D}.$$

The sign of  $\Delta\varrho$  can be either positive or negative, depending on whether  $d$  is greater or less than 150 mm.

For the above-discussed KRGG-2-120-60sY type sonde the algorithm of density determination is given by the combined form of Eqs. (1.1) and (1.5). Substituting the empirical parameters, we obtain the formula

$$\varrho_{actual} = \left\{ \frac{Y_{sh} - Y_i}{1.5678} + 1 \right\} \pm (d - 150) \{ 0.001106(\varrho_{app} - 1.2996) \} \quad (1.6)$$

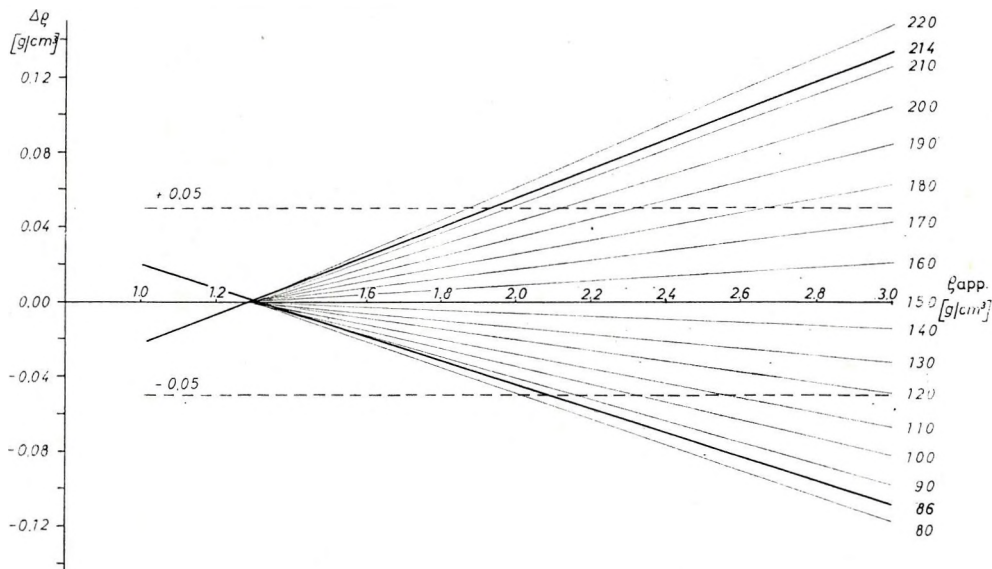


Fig. 4. Diagram for borehole diameter correction  $\Delta\varrho$

4. ábra. Diagram a  $\Delta\varrho$  átmérő korrekció meghatározására

Рис. 4. Диаграмма для определения коррекции на диаметр  $\Delta\varrho$

### Practical examples

The practical application of the diagrams (Figs. 3, 4) and the numerical formula (1.6) will be shown by two examples. It will be assumed that the borehole diameter is the single quantity affecting the measured values.

For the Nagyegyháza (Cs-260) drilling we applied the graphical and numerical procedures (by means of the SR-56 desk-top calculator) at 17 points. Gamma-gamma and caliper logs are shown in Fig. 5. In the investigated part of the section, the borehole diameter varies from 110 mm to 185 mm. Results of the graphical and numerical calculations are in fair agreement, see Table II. Diameter correction  $\Delta\varrho$  is always negative (except for layers No. 3, and No. 7) since the diameters are always less than 150 mm.

For the Mány-132/B drilling the computation was performed for 23 layers, by a desk-top calculator. The layers to be examined were selected on the basis of lithology, and the different well-logs, to have divers geological and petrophysical characteristics.

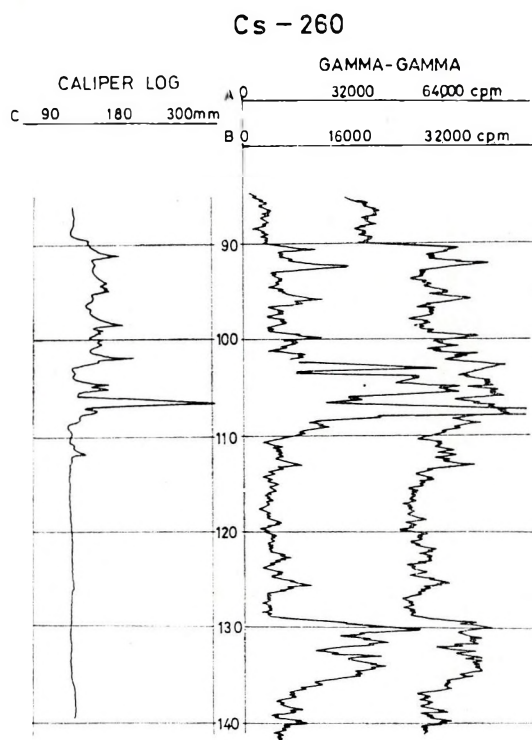


Fig. 5. Well-log material for a section of the Cs-260 hole

A — gamma-gamma log recorded with short sonde  
 B — gamma-gamma log recorded with long sonde  
 C — caliper log

5. ábra. Cs-260 fúrás egy szakaszának gamma-gamma és lyukbőség szelvénye

A — rövid szondával felvett gamma-gamma  
 B — hosszú szondával felvett gamma-gamma  
 C — lyukbőség szelvény

Рис. 5. Гамма-гамма профили и кавернограммы части скважины Cs-260

А — Гамма-гамма профиль снятый с коротким зондом;  
 В — Гамма-гамма профиль снятый с длинным зондом;  
 С — Кавернограмма

From the log an about 100 m long section (from 450 m to 560 m) has been selected. The complete logging material consists of resistivity, gamma-gamma, neutron-neutron, acoustic and caliper logs. Dolomite is overlain by marl, sandy marl, sandy shale, shaly sand, shale and sandy formations of varying thickness. The dolomite-marl boundary is at a depth of 534 m.

Corrected  $\varrho$  values and borehole corrections ( $\Delta\varrho$ ) are shown in Table III. From the computed 23 layers, presented in Table III, ten layers designated as 1–10 are shown in Fig. 6.

$\Delta\varrho$  is positive in all cases. The densities  $\varrho$  range between 2.69 and 2.74 g/cm<sup>3</sup> for the dolomite; between 2.14 and 2.33 g/cm<sup>3</sup> for the shaly-sand and marl formations. Borehole corrections do not exceed 0.05 g/cm<sup>3</sup>.

Table II

Layer No.	Caliper d [mm]	Graphically determined		Computed	
		$\rho$ [g/cm <sup>3</sup> ]	$\Delta\rho$ [g/cm <sup>3</sup> ]	$\rho$ [g/cm <sup>3</sup> ]	$\Delta\rho$ [g/cm <sup>3</sup> ]
1	138	2.18	-0.004	2.18	-0.0118
2	138	2.29	-0.008	2.29	-0.0133
3	185	1.93	+0.028	1.99	+0.0258
4	145	2.16	-0.004	2.17	-0.0048
5	145	1.76	-0.002	1.77	-0.0026
6	150	2.17	0.000	2.18	0.0000
7	155	1.89	0.004	1.90	0.0033
8	150	2.18	0.000	2.20	0.0000
9	115	2.06	-0.026	2.04	-0.0300
10	115	2.06	-0.026	2.04	-0.0299
11	130	2.04	-0.014	2.03	-0.0166
12	110	2.20	-0.034	2.18	-0.0406
13	110	2.26	-0.038	2.23	-0.0430
14	110	2.09	-0.030	2.07	-0.0357
15	110	1.95	-0.026	1.93	-0.0292
16	110	2.32	-0.080	2.28	-0.0455
17	110	2.31	-0.038	2.29	-0.0459

### Conclusions

It is possible to obtain a theoretically deduced method that can be checked in practice for the rapid and accurate determination of density values corrected for borehole diameter. The computation is easily carried out even under field conditions by a small desk-top calculator. Formula (1.6) is not restricted to KRGG-2-120-60sY type sondes; similar formulae can easily be derived for any other two-detector gamma-gamma sondes. If, say, a KRGG-2-120-43sY type sonde is considered, the standardization conditions should be changed and  $d=86$  mm should be taken as the basis diameter. Of course, for well-collimated systems with a sufficiently large diameter the borehole effect becomes negligible.

It is hoped that the procedure presented will be of value for the quantitative interpretation of gamma-gamma logs recorded in exploratory drillings.

Table III

Borehole: Mánya-132/B  
 Sonde: KRGG-2—120—60 sY, №7636  
 Isotope: Cs<sup>137</sup> 14.7 mCi

№	Layer	Depth [m]	Caliper d [mm]	a <sub>sh</sub> = 13 cm		a <sub>u</sub> = 38 cm		$\frac{\rho_b}{\rho_u}$ [g/cm <sup>3</sup> ]	$\frac{d\rho}{dN}$ [g/cm <sup>3</sup> ]
				N <sub>sh</sub> [cpm]	$\frac{N_{sh}}{N_{shw}}$	N <sub>t</sub> [cpm]	$\frac{\pm \sigma_1}{[cpm]}$		
1	dolomite	546.9—548.4	155	52 309	0.6204	2665	163	0.0425	2.72
2	dolomite	545.4—546.9	155	54 032	0.6408	2962	172	0.0472	2.67
3	dolomite	542.6—544.4	155	51 078	0.6038	2517	159	0.0401	2.74
4	dolomite	540.8—542.6	155	52 001	0.6167	2665	163	0.0425	2.71
5	dolomite	534.9—537.8	155	52 432	0.6218	2769	166	0.0442	2.69
6	shale-marl	525.4—527.4	165	66 463	0.7882	8145	285	0.1299	2.16
7	shale-marl	523.0—524.8	155	68 617	0.8138	8589	293	0.1370	2.14
8	shale-marl-sand	519.0—521.0	165	62 155	0.7371	6516	255	0.1039	2.26
9	shale-marl	501.6—506.0	198	62 463	0.7408	6694	259	0.1067	2.29
10	shale-marl	493.0—498.0	180	62 770	0.7444	7108	267	0.1133	2.23
11	shaly sand	431.2—433.8	150	60 616	0.7189	6220	249	0.0992	2.26
12	shaly sand	420.0—423.6	160	61 847	0.7335	6220	249	0.0992	2.29
13	sand, shaly sand	399.0—403.4	158	58 155	0.6897	5775	240	0.0921	2.29
14	shaly sand	373.0—380.0	162	60 616	0.7189	5924	243	0.0945	2.31
15	shaly sand, shale-marl	340.0—344.0	155	62 463	0.7408	6368	252	0.1015	2.27
16	shale	325.0—327.2	158	59 694	0.7079	5657	238	0.0902	2.32
17	shale-marl	318.4—320.0	180	57 847	0.6860	5479	234	0.0874	2.33
18	sandy shale, marl	314.6—316.6	165	60 924	0.7225	5998	245	0.0956	2.31
19	sand, shale-marl	242.6—252.2	155	60 924	0.7225	6220	249	0.0992	2.27
20	shale-marl	217.8—220.0	155	63 078	0.7481	6812	261	0.1086	2.25
21	sand	204.8—208.2	155	61 540	0.7298	6886	262	0.1098	2.21
22	sand	183.6—187.4	158	62 770	0.7444	6960	264	0.1110	2.22
23	marl	150.0—155.8	165	55 386	0.6569	4072	202	0.0649	2.50

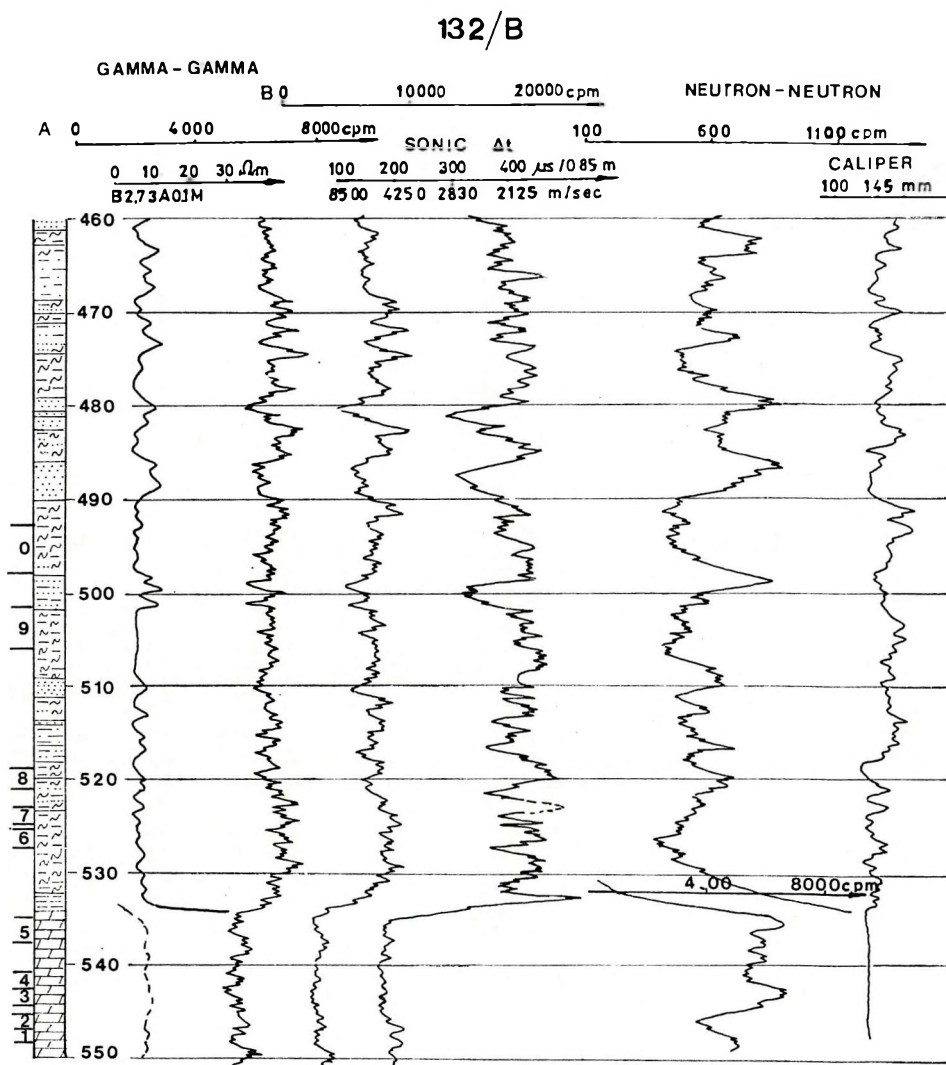


Fig. 6. Lithology and well-log section for part of the Mány—132/B borehole

A — gamma-gamma log recorded with short sonde  
 B — gamma-gamma log recorded with long sonde

6. ábra. Mány—132/B fúrás egy szakaszának földtani és komplex karotázs szelvényanya  
 A — rövid szondával felvett gamma-gamma  
 B — hosszú szondával felvett gamma-gamma

Рис. 6. Геологические и комплексные каротажные профили части скважины Мань-132/В  
 А — Гамма-гамма профили снятие коротким зондом;  
 Б — Гамма-гамма профили снятиедлинным зондом

---

ANDRÁSSY LÁSZLÓ

**KÖZELÍTŐ GRAFIKUS ÉS MATEMATIKAI MEGOLDÁS A TÉRFOGATSÚLYÉRTÉKEK  
FÚRÓLYUKBAN TÖRTÉNŐ KÖZVETLEN MEGHATÁROZÁSÁRA, A FÚRÓLYUKHATÁS  
FIGYELEMBEVÉTELÉVEL**

A tanulmányban bemutatott közelítő grafikus és matematikai eljárás lehetővé teszi, hogy a szilárd hasznos ásványok kutatására szolgáló fúrásokban felvett gamma-gamma szelvényekből meghatározhassuk a fúrólyuk átmérőjére korrigált térfogatsúlyértékeket.

A mérőszondák hitelesítő méréseiből meghatározott és egy kiválasztott átmérőre normált bázisegyenlet képezi az eljárás alapját. A bázisegyenlet iránytangensértéke ( $M$ ) és a fúrólyukátmérő között megtalálható lineáris kapcsolat lehetővé teszi, hogy a bázisátmérőnél nagyobb és kisebb átmérőjű etalon sorokban végzett hitelesítő mérések eredményei segítségével a fúrólyukátmérő-korrekció értékeit kiszámíthatssuk.

A KRGG-2-120-60 sY típusú szondára bemutatjuk azt az összefüggést, amely segítségével fúrólyukátmérőre korrigált térfogatsúlyértékek határozhatók meg. Az eljárás alkalmazhatóságát gyakorlati példák bemutatásával igazoljuk.

Л. АНДРАШИ

**ПРИБЛИЖЕННОЕ ГРАФИЧЕСКОЕ И МАТЕМАТИЧЕСКОЕ РЕШЕНИЕ  
ДЛЯ ОПРЕДЕЛЕНИЯ ЗНАЧЕНИЙ ОБЪЕМНОГО ВЕСА  
СУЧЕТОМ ВЛИЯНИЯ СКВАЖИНЫ**

Приближающее графическое и математическое решение, представленное в настоящей статье, обеспечивает определение значений объемного веса, скорректированных на диаметр скважины, которые значения получены по гамма-гамма профилям, снятым в скважинах, пробуренных на твердые полезные ископаемые.

Основу метода представляет базисное уравнение, определенное по калибровочным измерениям измерительных зондов, нормированное на выбранный диаметр. Линейная связь между величиной тангенса базисного уравнения ( $M$ ) и диаметром скважины делает возможным расчет значений коррекции диаметра скважины с помощью эталонных рядов, диаметр которых больше или меньше базисного диаметра.

По зонду KRGG-2-120-60 sY представим зависимость, с помощью которой возможно определение значений объемного веса, скорректированных на диаметр скважины. Возможность применения метода доказано практическими примерами.